

29/84

وزارة التعليم والبحث العلمي
MINISTERE DE L'ENSEIGNEMENT ET DE LA RECHERCHE SCIENTIFIQUE

Lex

ECOLE NATIONALE POLYTECHNIQUE

DEPARTEMENT : GENIE CIVIL

PROJET DE FIN D'ETUDES

SUJET

UNITE PRINCIPALE
DE PROTECTION CIVILE
A
JIJEL

Proposé par :

R. CHINI

Etudié par :

G.HAMMOUD
N.HOTEIT

Dirigé par :

Mme GUTGOVA



janvier 1984

L'étude de l'unité principale de protection civile de Jijel constituée de plusieurs blocs :

- 1- Garde mobile (1940 m^2), Structure en Béton Armé autoportante en portiques de 4m, hauteur 10m.
- 2- Centre sanitaire et Centre de formation, en Béton Armé autoportante (étude approfondie de la torsion).
- 3- Salle polyvalente : Mixte : Béton Armé portiques, contreventement voiles, Solution (Recherche originale de la toiture d'une forme architecturale complexe).
- 4- Tour d'entraînement de Surface ($6 \times 6 \text{ m}^2$), hauteur 27m élancé : structure 8. A autoportante : étude dynamique avec pâtiage au 3^e mode (Raileigh - Stodola) a été faite
- 5- Bloc Logements 430 m^2 , haut 14m, décrochement vertical et horizontaux: Etude dynamique est indispensable
- 6- Hall 1060 m^2 , haut variable, toiture en shed conçue en charpente métallique.
- 7- VRD : Etude de Voie traitée

This project surveys the Jijel's Headquarter of civil safety. It is composed of several unity:

- 1- "Motorized safety unit": 1940 m^2 : In concrete structure in frame of 4m, $h=10\text{m}$.
- 2- Health Center and educational center: In Concrete Structure : torsion studied
- 3- Hall of meeting: Concrete structure in frame and wall: original solution for the roof is of complex plate
- 4- Training building: $(6 \times 6) \text{ m}^2$, height 27m strong concrete structure, the dynamic analysis with the third mode is done (Raileigh - Stodola)
- 5- Habitation: 430 m^2 , height 14m, vertical and horizontal Composit section, therefore a dynamic analysis
- 6- Hall 1060 m^2 , Variable height, Roof with shed structure is steel structure
- 7- General traffic Road treated

المجموع حوراية وحدة الحماية المدنية الاساسية (ولاية جيجل) - وهي المجموع عدة مباني :

- 1- مبنى المركب القيادي : (1940 m^2) من المطالعات المتراسنة المتراسنة .
- 2- مبنى المركب القيادي و مركز التكوين المهني من المطالعات المتراسنة المتراسنة : دراسة في المبنى
- 3- قاعة الاحتفالات : ذات سقف ذو تحكم معماري معقد \rightarrow يتطلب دراسة - و بحث معمق
- 4- برج رياضي $(6 \times 6) \text{ m}^2$ بارتفاع 27 م دراسة معينة لنظام مقاومة الرسارات الارضية : مدرسة ستوديو لا - رايون مع اقصى الوصول الى نظام الرسارات الثالث
- 5- مبنى السكن 430 m^2 : دراسة مقاومة الرسارات نظر لعم انتقام ابعاد الارضي والارتفاع للبن
- 6- مبنى موقف سيارات الارتفاع متران 1060 m^2 من المدين المعدي : ذات عواء كثيف الارضيات
- 7- شبكة قنطرة عامة دراسة و دراسة .



R E M E R C I E M E N T S

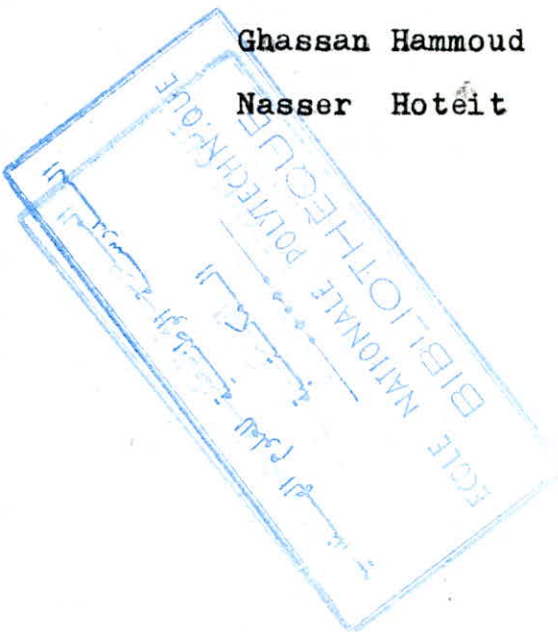
Par ce modeste travail, nous tenons à remercier vivement Mme Guigova , notre promotrice qui durant toute cette étude nous a aidés et conseillés .

Nous tenons à ce que Melle Djillali Berkane , Mr Bioud Mr Berrazoum, Mr Zeghlach, Mr Bonville, et tous les professeurs qui ont contribué à notre formation, trouvant ici nos remerciements les plus sincères .

Nous prions, Mr le président, Mrs et Mmes les membres du jury de trouver ici nos remerciements .

Ghassan Hammoud

Nasser Hoteit



A NOS PARENTS ,
A NOS AMIS ,

Ghassan & Masser .

***** / S O M M A I R E / *****

Chapitre I	Calcul des éléments	..	•	•	•	•	•	•
	Acrotère.	•	•	•	•	•	•	1
	Escaliers	•	•	•	•	•	•	3
	Dalles	•	•	•	•	•	•	7
Chapitre II	Blocs (T.G.M & C.S)							
	Etude sismique	•	•	•	•	•	•	11
	Etude de la torsion	•	•	•	•	•	•	13
	Portiques sous forces horizontales							17
	Portiques sous charges verticales							21
	Superposition des sollicitations							27
	Ferraillage des poutres	•	•	•	•	•	•	33
	Ferraillage des poteaux	•	•	•	•	•	•	42
Chapitre III	Salle polyvalente	•	•	•	•	•	•	49
Chapitre IV	Hall et Logement	•	•	•	•	•	•	68
Chapitre V	Tour							
	Etude dynamique	•	•	•	•	•	•	81
	Mode fondamentale	•	•	•	•	•	•	86
	Mode 2	•	•	•	•	•	•	89
	Mode 3	•	•	•	•	•	•	93
	Etude sismique	•	•	•	•	•	•	97
	Portiques sous forces horizontales							99
	Portiques sous charges verticales							103
	Ferraillage des poutres	•	•	•	•	•	•	110
	Ferraillage des poteaux	•	•	•	•	•	•	113
Chapitre VI	Fondations	•	•	•	•	•	•	116

P R E A M B U L E

Ce travail n'est qu'une synthèse de l'ensemble des connaissances que nous avons acquis durant la période de notre formation .

En effet, elle n'est qu'une expérience de passage du style académique au domaine pratique .

Malgré la non uniformité des éléments constituant la structure, nous avons tâché de respecter les plans d'architecture, tout en assurant les conditions de l'équilibre statique .

1)- Description sommaire du projet

Notre projet consiste à étudier l'unité de protection civile principale de la wilaya de Jijel (660 pompiers) qui se compose de plusieurs secteurs:

- Salle polyvalente (200 m^2), capacité 150 places; sa toiture est en forme W (B.A) .
- Chambres d'officiers ; bloc pour la garde mobile (1940 m^2)
- Logements : (430 m^2), des portiques à grandes portées .
- Hall : 1060 m^2
- Tour d'entraînement de hauteur 27 m et de section (6 . 6) m^2

Durant notre étude, nous avons accordé une grande attention à la salle polyvalente: conception, calcul ainsi que les procédés techniques de réalisation et de l'étanchéité, au hall dont la toiture inclinée a demandé réflexion et recherche (charpente métallique) et à la tour d'entraînement munie de grandes ouvertures : Les effets dynamiques ont demandé des calculs plus exactes la conception a nécessité une réflexion et recherche .

L'ossature est en B.A (portiques , voiles) .

Les planchers sont en dalles pleines .

L'évacuation pluviale a été étudiée convenablement .

Vu le volume du travail, une voirie préliminaire a été tracée

2) Données du site

- Le terrain d'assiette est JIJEL .
- La pente est 1,25 % .
- Surface 19800 m^2
- Le sol homogène et saturé, la nappe est profonde .
- La contrainte admissible du sol est 2 bars à 1,5 m du sol

3) Normes

- Ciment C.P.A 325/250 .
- Gravier dur, concassé, propre .
- Sable moyen, maigre en argile et en sels agressifs .
- Eau saine de sels agressifs .

Les règlements pris en compte :

- C.C.B.A 68 .
- C.M 66 .
- P.S 69 .
- N.V 65 .

4) Charges d'exploitation

- terrasse, toiture métallique (non accessible) 100 kg/m^2
- Plancher courant (blocs habitation) . 400 kg/m^2
- Escaliers: 400 kg/m^2 ou 500 kg/m^2 (selon le mode d'utilisation)
- Coefficient de majoration dynamique 1,25 .

5) Caractéristiques dynamiques des matériaux et contraintes admissibles

- Béton armé dosé 350 kg/m^3
 - La contrainte de compression sur éprouvettes cylindriques (16-32) = 275 kg/cm^2 .
 - La contrainte de traction de rupture = 23,7
- Acier - Haute adhérence .
 - $\varnothing \leq 20$; $\sigma_{en} = 4200 \text{ kg/cm}^2$
 - $\varnothing > 20$; $\sigma_{en} = 4000 \text{ kg/cm}^2$
- Les contraintes admissibles (CCBA 68 art 9)
 - Compression simple $68,5 \text{ kg/cm}^2$.
 - Traction de référence: $5,9 \text{ kg/cm}^2$.
 - Flexion simple ou composée avec compression pour une section rectangulaire : 137 kg/cm^2
 - Aciers : 2800 kg/cm^2

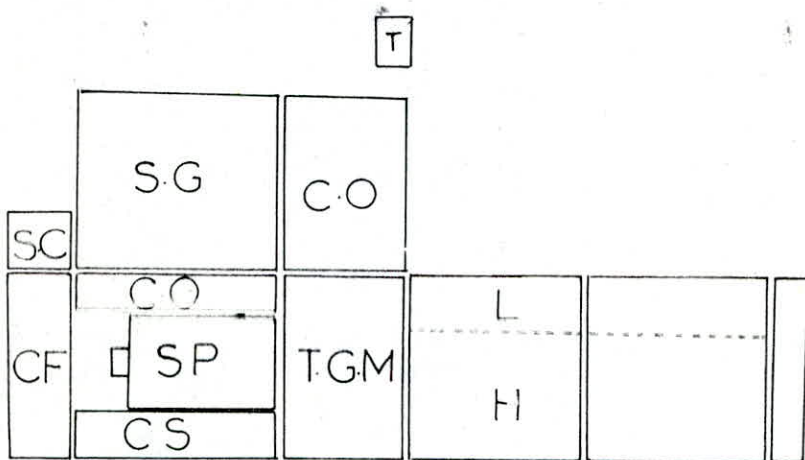
Remarque : Pour sollicitations 2^e genre, les contraintes admissibles seront frappées par un coef 1,5 .

6 - Joints de dilatation

- Les joints tracés par l'architecte ne respectant pas les règlements ont été changé.

- Dans l'implantation des joints, nous ^{avons} pris en considération les exigences réglementaires, réduire les décrochements verticaux et horizontaux, tenir compte des différences d'inertie, des longueurs admissibles imposées et des variations dimensionnelles

7 - Disposition des joints



CHARGES & SURCHARGES

BLOCS C.S & T.G.M

Plancher terrasse

a) Charges permanentes :

Gravillons (5 cm)	= 90 kg/m ²
Etancheité muticouche (2 cm)	= 10 kg/m ²
Isolation thermique (4 cm)	= 10 kg/m ²
Forme de pente	= 320 kg/m ²
Dalle pleine (20 cm)	= 500 kg/m ²
Enduit et platre (1 cm)	= 14 kg/m ²
G	= 944 kg/m ²

b) Surcharges d'exploitation

$$\text{Terrasse non accessible} \quad P = 100 \text{ kg/m}^2$$

Plancher courante

a)	
Carrelage (2 cm)	= 44 kg/m ²
Mortier de pose (2 cm)	= 44 kg/m ²
Sable (3 cm)	= 54 kg/m ²
Isolation phonique (4 cm)	= 16 kg/m ²
Dalle pleine (20 cm)	= 500 kg/m ²
Enduit et platre (1 cm)	= 14 kg/m ²
Cloison	= 75 kg/m ²
G	= 747 kg/m ²

$$b) \quad P = 500 \text{ kg/m}^2$$

Chapitre I

C A L C U L D E S E L E M E N T S

- A C R O T E R E S
- E S C A L I E R S
- D A L L E S

ACROTERE

- DIMENSIONNEMENT

Epaisseur $e = 10 \text{ cm}$.
 Hauteur $h = 50 \text{ cm} : (100\text{cm})$.
 Largeur $b = 100 \text{ cm}$.

- Le calcul se fait par mètre linéaire d'acrotère .
- L'acrotère est assimilé à une console encastrée dans le plancher .
- La section dangereuse est celle de l'enca斯特rement .

- CHARGES ET SURCHARGES

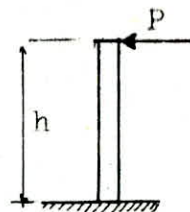
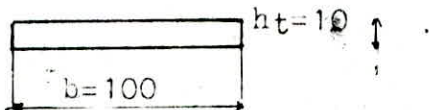
Poids propre : (1) $0,5 \cdot 1 \cdot 0,1 \cdot 2500 = 125 \text{ kg/ml}$.
 (2) $1 \cdot 1 \cdot 0,1 \cdot 2500 = 250 \text{ kg/ml}$.

Surcharge due à la main courante : $S = 100 \text{ kg/ml}$.

En tenant compte de la ponderation $P = 1,2 S = 120 \text{ kg/ml}$.

Le calcul se fait pour une section rectangulaire soumise à la flexion composée .

- SCHEMA STATIQUE



Le moment produit à l'enca斯特rement est : $M_1 = 120 \cdot 0,5 = 60 \text{ kg.m/ml}$
 $M_2 = 120 \cdot 1 = 120 \text{ kg.m/ml}$

L'effort normal dû au poids propre est $P_1 = 125 \text{ kg/ml}$.
 $P_2 = 250 \text{ kg/ml}$.

- CALCUL DE L'EXTRENCITE

$$e = \frac{M}{N} \quad e_1 = \frac{(60 \cdot 10^2) / 125}{120} = 48 \text{ cm} \quad h_t / 6 = 10 / 6 = 1,67 \text{ cm} .$$

$$e_2 = \frac{(120 \cdot 10^2) / 250}{250} = 48 \text{ cm}$$

La section est partiellement comprimée

Le calcul se fait en flexion simple sous l'effet du moment fictif
 M = moment de flexion par rapport au centre de gravité des armatures tendues .

$$M_1 = 125 \cdot (48 + (10/2 - 2)) = 63,75 \text{ kg.m/ml} .$$

$$M_2 = 250 \cdot (48 + (10/2 - 2)) = 127,5 \text{ kg.m/ml} .$$

$$(1) \quad \mu = 15 M / \sigma_a \cdot b \cdot h^2 = 15 \cdot 63,75 \cdot 10^2 / 2800 \cdot 100 \cdot 8^2 = 0,0053$$

$$K = 136 ; \quad \varepsilon = 0,9669$$

$$A_1 = M / \sigma_a \cdot h = 63,75 \cdot 10^2 / 2800 \cdot 8 \cdot 0,9669 = 0,294 \text{ cm}^2 .$$

$$A = A_1 - N / \sigma_a = 0,294 - 125 / 2800 = 0,25 \text{ cm}^2$$

$$(2) \quad \mu = 0,0106 ; \quad K = 93,5 ; \quad \varepsilon = 0,9539$$

$$A_1 = 0,597 \text{ cm}^2 ; \quad A = 0,507 \text{ cm}^2$$

On adopte une section minimale d'armatures imposée par la condition de non fragilité .

$$A \geq 0,69 \cdot b \cdot h \cdot \bar{\sigma}_b / \sigma_{cn}$$

$$(1) \quad A \geq 0,69 \cdot 100 \cdot 8 \cdot 5,9 / 4200 = 0,77 \text{ cm}^2$$

(2)

Soit 5T 6/ml ($1,41 \text{ cm}^2$) .

On prévoit 5 T 6/ml pour les armatures de répartition .

- VERIFICATION A LA FISSURATION (CCBA 68 . art 49)

$$\bar{\omega}_f = \frac{A}{2 \cdot 2 \cdot 100} = \frac{1,41}{2 \cdot 2 \cdot 100} = 3,53 \cdot 10^{-3}$$

$$K = 1,5 \cdot 10^6 \quad : \text{fissuration non nuisible.}$$

$$\gamma = 1,6 \quad : \text{armatures de H.A}$$

$$\emptyset = 6 \text{ mm}$$

$$\sigma_1 = K \frac{l}{\emptyset} \frac{\bar{\omega}_f}{1 + 10 \bar{\omega}_f} = 1363 \text{ kg/cm}^2$$

$$\sigma_2 = 2,4 \sqrt{\frac{K \cdot \gamma \cdot \bar{\sigma}_b}{\emptyset}} = 3687 \text{ kg/cm}^2$$

$$\sigma_a < \bar{\sigma}_a < \max(\sigma_1, \sigma_2) .$$

- VERIFICATION A L'EFFORT TRANCHANT (CCBA 68 . art 35.32)

$$A \cdot \sigma_a \geq T + M/z$$

$$(1) \quad T + M/z = 120 - (60/(7/8) \cdot 8) \cdot 10^2 < 0$$

$$(2) \quad T + M/z = 120 - (120/(7/8) \cdot 8) \cdot 10^2 < 0$$

Il n'est pas nécessaire d'utiliser des armatures inférieures pour reprendre les efforts tranchants .

ESCALIERS

- INTRODUCTION

- Nos escaliers sont à (paillasse à palier) .
- Les éléments résistants sont les portiques et la poutre palier .

- DIMENSIONNEMENT Relation de Blondel : $60 \leq g + 2h \leq 64$

g : largeur d'une marche .

h : hauteur d'une contre marche .

n : nombre de contre marche .

H : hauteur d'une volée .

e : épaisseur de la paillasse et du palier

$$1/30 \leq e \leq 1/20 .$$

- CHARGES ET SURCHARGES: par mètre de projection horizontale et par mètre d'emarchement , les marches sont considérées comme charges uniformément réparties sur la paillasse .

- MODE DE SOLICITATION : Flexion composée , pour faciliter le calcul : Flexion simple .

A) Escalier de la salle de projection :

$$g = 30 \text{ cm} , h = 17 \text{ cm} , n = 16 \text{ marches} , e = 20 \text{ cm} .$$

A-1) Paillasse

Charges permanentes:

Poids propre paillasse : 0,612 t/ml .

poids propre des marches : 0,187 t/ml .

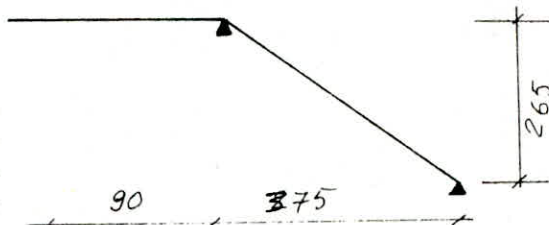
revêtement 0,10 t/ml .

garde corps 0,30 t/ml .

$$\underline{\underline{G = 1,2 \text{ t/ml}}}$$

$$\underline{\underline{P = 0,4 \text{ t/ml}}}$$

$$q_1 = G + 1,2 P = 1,68 \text{ t/ml}$$



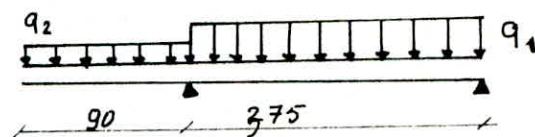
A-2) Palier $q_2 = 0,95 \text{ t/ml}$

a) Calcul des efforts

$$R_a = 2,14 \text{ t} \uparrow , R_b = 3,20 \text{ t} \uparrow$$

$$\bullet M_{\max}(1,788) = 1,92 \text{ t.m} , T = 0$$

$$\bullet M(3,75) = -0,39 \text{ t.m} , T_{\max}(3,75) = 0,85 \text{ t}$$



b) Ferraillage (on tient compte de semi-encastrement aux extrémités)

- En travée $M_t = 0,85 M_{\max} = 1,63 \text{ t.m} , b = 100 \text{ cm} , h = 17 \text{ cm}$

(Pierre Charron) : $M = 0,0302 , K = 51,5 , \varepsilon = 0,9248 , \sigma_b' = 54,4 \text{ kg/cm}^2$
 $A = 3,702 \text{ cm}^2$ soit $8 \text{ T} 10 (6,28 \text{ cm}^2)$.

- Aux appuis : $M_a = 0,4 M_{\max} = 0,767 \text{ t.m} , A = 6 \text{ T} 10 = (4,71 \text{ cm}^2)$.

- Armatures de répartition $A_r = A/4 = 1,6 \text{ cm}^2 = (4\pi 8 = 2,01 \text{ cm}^2)$

c) Vérifications

c-1 Contraintes en travée: (Pierre Charron) $\bar{\omega} = 100 \cdot A/b \cdot h = 0,3694$

$\epsilon = 0,9064$, $K = 38,4$, $\sigma_a = M/A \cdot \epsilon$. $h = 1648,5 \text{ kg/cm}^2$, $\sigma'_b = 44 \text{ kg/cm}^2$.

c-2 Contraintes aux appuis $\bar{\omega} = 0,277$; $\epsilon = 0,9167$; $K = 45$
 $\sigma_a = 1045 \text{ kg/cm}^2$; $\sigma'_b = 23,22 \text{ kg/cm}^2$.

Nota: nos contraintes sont inférieures à celles admissibles.

c-3 Non fragilité

$A \geq 0,69 b \cdot h \cdot \bar{\sigma}_b / \sigma_{en} = 1,65 \text{ cm}^2$ (vérifié).

c-4 Flèche: $A/b/h \leq 43/\sigma_{en}$ $6,28/1700 \leq 43/4200$ (vérifié)
• $h_t/l > M_t/20 M_o$ (vérifié)

c-5 Effort tranchant:

$$A \cdot \bar{\sigma}_a \geq T + M/z$$
$$A \cdot \bar{\sigma}_a > 2,355 \cdot 10^3 = 0,707 \cdot 10^6 / 14,88 < 0$$
(vérifié)

- Les armatures inférieures ne sont pas nécessaires.

c-6 Fissuration $\omega = A/2bd = 0,0157$; $K = 1,5 \cdot 10^6$; $\eta = 1,6$

$\sigma_1 = 3256,7 \text{ kg/cm}^2$; $\sigma_2 = 2237 \text{ kg/cm}^2$

Il n'y a pas de risque de fissuration.

c-7 Armatures transversales $Z_b = T_{max} / b \cdot z = 1,583 \text{ kg/cm}^2$
 $\bar{Z}_b = 1,15 \bar{\sigma}_b = 6,8 \text{ kg/cm}^2$

$Z_b < \bar{Z}_b$; Armatures transversales unitiles.

A-3) Poutre palière

a) Dimensionnement: $h_t = 40 \text{ cm}$; $b = 20 \text{ cm}$

b) Charges et surcharges: poids de la poutre $0,2 \text{ t/ml}$, Réaction due à la paillasse: $3,20 \text{ t/ml}$.

c) Efforts: $M_t = 0,85 M_o = 5,22 \text{ t.m}$; $M_a = 0,4 M_o = 2,46 \text{ t.m}$

d) Ferraillage: (même méthode que précédemment)

d-1) travée $4\pi 14 \approx (6,15 \text{ cm})$

d-2) appuis $4\pi 14 = (6,15 \text{ cm}^2)$

e) Vérifications (même marche que précédemment)

e-1 Contraintes en travée: $\sigma_a = 2716,3 \text{ kg/cm}^2$; $\sigma'_b = 118 \text{ kg/cm}^2$

e-2 Contraintes aux appuis $\sigma_a = 1280 \text{ kg/cm}^2$; $\sigma'_b = 56 \text{ kg/cm}^2$

Nota: Nos contraintes sont vérifiées

e-3 Effort tranchant: $A \cdot \bar{\sigma}_a \geq T + M/z$ (vérifiées), $T + M/z < 0$

- Les armatures inférieures ne sont pas nécessaires.

e-4 Flèche : e41) $h_t/l > 0,85 \cdot M_o/10 \cdot M_o$ vérifié

e42) $h_t/l \geq 1/16$ vérifié

e43) $A/b \cdot h \leq 43/\sigma_{en}$ vérifié

- Le calcul de flèche est unitile .

e-5 Fissuration: pas de risques de fissuration .

e-6 Armatures transversales: $Z_b = 10,27 \text{ kg/cm}^2$
 $\bar{\sigma}_b < \bar{\sigma}_{b_0}$, $Z_b = 3,5 \bar{\sigma}_b = 20,65 \text{ kg/cm}^2$

SOIT UN CADRE $\varnothing 10 = 1,57 \text{ cm}^2$

$\sigma_a = f_{at}$; $\sigma_{en} = 1 - 10,27/9,5,9 = 0,8066$, $\sigma_{at} = 3387,7 \text{ kg/cm}^2$

CCBA, 68 | $t_{\max} = \max(0,2 h = 7 \text{ cm}, 1 - 0,3 Z_b / \bar{\sigma}_b) \cdot h = 17,2 \text{ cm}$
| $t = A_t \cdot z \cdot \sigma_{at} / T = 40,8 \text{ cm}$

R.P.A zone nodale $t = 8 \text{ cm}$
zone courante $t = 18 \text{ cm}$

Nous admettons
t = 8 cm zone nodale
t = 15 cm zone courante .

B) Escalier du bloc (GARDE MOBILE)

$g = 26 \text{ cm}$, $h = 17 \text{ cm}$, $n = 9$ marches, $e = 20 \text{ cm}$.

B-1) Paillasse $q_1 = G + 1,2 P = 1,65 \text{ t/ml}$

B-2) Palier : $q_2 = 1,35 \text{ t/ml}$

a) Effort : $R_a = 2,85 \text{ t}$; $R_b = 3,15 \text{ t}$

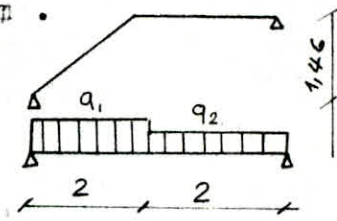
$M_t = 0,85 M_o = 12,56 \text{ t.m}$

$M_a = 10,91 \text{ t.m}$

b) Ferraillage : (même marche que précédemment)

travée: $A = 6,712 = 6,78 \text{ cm}^2$

Appuis: $A = 6,710 = 4,71 \text{ cm}^2$



c) Cotraintes:

1) En travée: $\sigma_a = 2313 \text{ kg/cm}^2$; $\sigma'_b = 74 \text{ kg/cm}^2$.

2) Aux appuis: $\sigma_a = 2200 \text{ kg/cm}^2$; $\sigma'_b = 41 \text{ kg/cm}^2$.

($\bar{\sigma}_a$, σ_b) < ($\bar{\sigma}_a = 2800 \text{ kg/cm}^2$; $\bar{\sigma}_b = 137 \text{ kg/cm}^2$)

c3) Non fragilité: les conditions sont vérifiées ; $A > 1,65 \text{ cm}^2$

c4) Flèche : inutile de calculer la flèche (voir escalier S.P)

c5) Effort tranchant :

$T + M/z = - 2577 < A \cdot \bar{\sigma}_a$ armatures inférieures au niveau des appuis ne sont pas nécessaires .

c6) Fissuration: pas de risque de fissuration (voir escalier S.P)

c7) Armatures transversales: $Z_b < \bar{Z}_b$ Armatures transversales inutiles

B-3) Poutre palière

- a) Dimensionnement: $h_t = 40 \text{ cm}$, $b = 30 \text{ cm}$
- b) Charges et surcharges: poids de la poutre $0,3 \text{ t/ml}$
Réaction due à la paillasse et palier $2,45 \text{ t/ml}$
- c) Efforts: $M_t = 0,85 M_o = 7,2 \text{ t.m}$; $M_a = 2,55 \text{ t.m}$
- d) Ferraillages: (même méthode que précédemment)
 - d-1) travée: $6 \text{ } \pi 14$ ($9,23 \text{ cm}^2$)
 - d-2) appuis: $3 \text{ } \pi 14$ ($4,62 \text{ cm}^2$)
- e) Verifications: (même marche que précédemment)
 - e-1) contraintes en travée: $\sigma_a = 2792 \text{ kg/cm}^2$; $\sigma_b' = 118 \text{ kg/cm}^2$
 - e-2) Contraintes aux appuis: $\sigma_a = 1918 \text{ kg/cm}^2$; $\sigma_b = 78 \text{ kg/cm}^2$
nos contraintes sont vérifiées
- e-3) Effort tranchants:
LES armatures inférieures ne sont pas nécessaires (voir S.P)
- e-4) Flèche: inutiles de calculer la flèche (voir précédemment)
- e-5) Fissuration: pas de risques de fissuration
- e-6) Armatures transversales $Z_b = 8,75 \text{ kg/cm}^2$.
 $\sigma_b < \sigma_b'$, $Z_b = 3,5 Z_b = 20,65 \text{ kg/cm}^2$
soit un cadre, 1etrier $\text{W } 10 = 3,14 \text{ cm}^2$

zone nodale $t = 10 \text{ cm}$.

zone courante $t = 20 \text{ cm}$.

B-4) Palier: Le palier sera calculé comme une dalle semi-encastrée sur son pourtour

a) $q = G + 1,2 P = 1,4 \text{ t/ml}$

b) Efforts: $\rho = l_x/l_y = 0,5 > 0,4$ la dalle porte dans les deux sens

$$\begin{aligned} \rho_x = l_x/l_y &= 0,5 & \text{Pigeaud} & \left| \begin{array}{l} M_1 = 0,047 \text{ t.m/ml} \\ M_2 = 0,009 \text{ t.m/ml} \end{array} \right| & P = q \cdot \Omega = 1,4 \cdot 2 \cdot 4 = 11,2 \text{ t} \\ \rho_y = l_y/l_x &= 2 \end{aligned}$$

dans le sens l_x $M_{tx} = 0,85(M_1 + 0,15M_2) = 0,46 \text{ t.m/ml}$
 $M_{ax} = 0,30(M_1 + 0,15M_2) = 0,162 \text{ t.m/ml}$

dans le sens l_y $M_{ty} = 0,85(M_2 + 0,15M_1) = 0,153 \text{ t.m/ml}$
 $M_{ay} = 0,30(M_2 + 0,15M_1) = 0,054 \text{ t.m/ml}$

$$T = q \cdot l_x \cdot l_y / (2l_x + l_y) = 1,4 \text{ t}$$

c) Ferraillage: (méthode de charron) $A = 0,95 \text{ cm}^2$
 suivant l_x $A = 5T8 = 2,51 \text{ cm}^2$
 suivant l_y $A = 4T8 = 2,01 \text{ cm}^2$

notre ferraillage résulte de la condition de non fragilité.

$$A_{x,y} \geq b \cdot h_{(x,y)} \cdot \frac{\Psi/2}{\sigma_a} \cdot \left[\frac{(2-\delta)_x}{(1+\delta)_y} \right] \frac{\sigma_b}{\sigma_a} \cdot \left(\frac{h_t}{h} \right)^2$$

d) Verifications - contraintes vérifiées

- effort tranchant : les lits inférieurs aux niveau de l'appui
ne sont pas nécessaires

B-5) Poteaux portant la poutre palière

Dimensions 25-25 cm, ferraillé avec pourcentage minimale .
Soit $A = 4T16 = 8,04 \text{ cm}^2$

Armatures transversales seront constitués des T8 seront espacées de 10 cm dans zone nodale et 15 cm dans zone courante .

66

--- DALLE ---

Généralités

Une dalle est une plaque pouvant repose sur 2, 3 ou 4 appuis avec ou sans continuité .

Son épaisseur est une fonction des condition d'utilisation et de vérifications à la résistance .

En effet , la déformation due aux revêtements fragiles ou de cloisons non démontables conduit au rapports

<u>h totale</u>	=	1/30 à 1/35 dalle sur 2 appuis
portée entre d'appui	=	1/40 à 1/50 dalle sur 4 appuis

Méthodes de calcul

- Méthode élastique et méthodes des lignes de ruptures de Johansen

1) Méthodes élastiques: (charges reparties , dalle et coques TIMOSHENKO) , (charges localisées - PIGEAUD)

On procède en deux étapes : On étudie la dalle supposée sur ses côtés simplement et on estime la part du moment à placer sur les appuis continus en travée .

- SI $l_x/l_y < 0,4$; $l_x/l_y > 2,5$: (ch.u.reparties) la dalle fonctionne sur deux côtés, alors les moments dans le sens secondaire tendent vers 0

- Les dalles de grande longueur seront étudiée dans un seul sens (méthodes des poutres) et dans l'autre sens on dispose un ferraillage parfait .

- Les résultats des calculs élastiques des dalles appuyées sur 4 côtés sont données par les formules approchées suivantes :

- Moment de flexion

$$\begin{aligned} M_x &= (p l_x^2 / 8) \cdot (1/K) \\ M_y &= (p l_y^2 / 8) \cdot (1/K) \end{aligned} \quad \left| \quad K = 1 + (l_x/l_y)^2 + (l_y/l_x)^2 \right.$$

- Effort tranchant :

$$T_x = (p l_x l_y^4 / 2(l_y^4 + l_x^4)) , T_y = (p l_y l_x^4 / 2(l_x^4 + l_y^4))$$

2) Méthodes des lignes de rupture:

Avant la rupture , la dalle se trouve séparée en zones limitées par des fissures ouvertes vers le haut ou vers le bas .

L'équilibre de chaque zone reste alors assuré par les aciers traversants les fissures .

On étudie toutes les fissurations possibles à fin de retenir le cas de chargement le plus défavorable .

Cette méthode est conseillée surtout pour les dalles perturbées par des trémies importantes dont le contour et les dispositions d'appuis particuliers .

- Calcul des dalles

Dalle "T.G.M" 3,7 - 3,7 ; "C.S" 3,6 - 5,7

Plancher terrasse

- Dalle pleine 20 cm (P.P) 500 kg/m^2
- étanchéité 450 kg/m
- $G = 950 \text{ kg/m}^2$
- Surcharges d'exploitation $S = 100 \text{ kg/m}^2$
- $P = G + 1,2 S = 1070 \text{ kg/m}^2$

Plancher courante

- Dalle pleine 20 cm (P.P) 500 kg/m^2
- Revêtement + carlage 250 kg/m^2
- $G = 750 \text{ kg/m}^2$
- Surcharges d'exploitation $S = 500 \text{ kg/m}^2$
- $P = G + 1,2 S = 1350 \text{ kg/m}^2$

Dalle "TOUR" 2,6 - 2,6

Plancher terrasse

$$\begin{aligned}G &= 820 \text{ kg/m}^2 \\S &= 500 \text{ kg/m}^2 \\P &= G + 1,5 S = 1570 \text{ kg/m}^2\end{aligned}$$

Plancher courante

$$\begin{aligned}G &= 500 \text{ kg/m}^2 \\S &= 500 \text{ kg/m}^2 \\P &= G + 1,5 S = 1250 \text{ kg/m}^2\end{aligned}$$

Dalle "T.G.M"

- $K = 3$
- Moment au centre de la dalle

$$M_x = M_y = P \cdot l^2 / 8K =$$

Plancher terrasse $M_x = M_y = 0,61 \text{ t.m}$

$$M_t = 0,85 M_o = 0,52 \text{ t.m} \quad M_a = 0,5 M_o = 0,31 \text{ t.m}$$

$$h_x = 17,5 \text{ cm} ; h_y = 16,5 \text{ cm}$$

a) Sens X-X $M = 0,0092 ; \varepsilon = 0,9569 ; K = 101$

$$A_{tx} = 1,12 \text{ cm}^2 ; \text{ Soit } 3T10 (2,35 \text{ cm}^2)$$

Appuis

$$M = 0,0054 ; \varepsilon = 0,9604 ; K = 134$$

$$A_{ax} = 3T10 (2,35 \text{ cm}^2)$$

b) Sens Y-Y

Travée $M = 0,0104 ; \varepsilon = 0,9543 ; K = 94,5 ; A = 1,2 \text{ cm}^2 \quad 3T10 (2,35 \text{ cm}^2)$

Plancher courante $M_x = M_y = 0,77 \text{ t.m}$

$M_t = 0,85 M_o = 0,66 \text{ t.m}$; $M_a = 0,5 M_o = 0,39 \text{ t.m}$

$h_x = 17,5 \text{ cm}$; $h_y = 16,5 \text{ cm}$

a) Travée

Sens X-X : $\mu = 0,0116$; $\varepsilon = 0,9519$; $K = 82$; $A = 1,42 \text{ cm}^2$

Sens Y-Y : $\mu = 0,0130$; $\varepsilon = 0,9492$; $K = 83,5$; $A = 1,52 \text{ cm}^2$

b) Appuis : $\mu = 0,0068$; $\varepsilon = 0,9627$; $K = 119$; $A = 0,83 \text{ cm}^2$

Soit 3T10 ($2,35 \text{ cm}^2$)

Dalle " C.S "

$K = 3,9$

Plancher terrasse: $M_y = 0,444 \text{ t.m}$; $M_x = 1,11 \text{ T.M}$

Travée X-X $M_t = 0,95$ $A = 2,07 \text{ cm}^2$ 3 T 10 ($2,35 \text{ cm}^2$)

Y-Y $M_t = 0,38$ $A = 0,83 \text{ cm}^2$ 3 T 10 ($2,35 \text{ cm}^2$)

Appuis $M_a = 0,555 \text{ t.m}$ $A = 1,20 \text{ cm}^2$ 3 T 10 ($2,35 \text{ cm}^2$)

Plancher courante $M_x = 1,4 \text{ t.m}$ $M_y = 0,56 \text{ t.m}$

a) Travée X-X $M_t = 1,2 \text{ t.m}$ $A = 2,63 \text{ cm}^2$ 4 T 10 ($3,14 \text{ cm}^2$)

Y-Y $M_t = 0,47 \text{ t.m}$ $A = 1,02 \text{ cm}^2$ 3 T 10 ($2,35 \text{ cm}^2$)

b) Appuis $M_a = 0,7 \text{ t.m}$ $A = 1,52 \text{ cm}^2$ 3 T 10 ($2,35 \text{ cm}^2$)

Dalle " TOUR "

$K = 3$

Plancher terrasse : $M_x = M_y = 0,44 \text{ t.m}$

a) Travée $M_t = 0,38 \text{ t.m}$

X-X $A = 0,80 \text{ cm}^2$

Y-Y $A = 0,86 \text{ cm}^2$

b) Appuis $M_a = 0,22 \text{ t.m}$ $A = 0,48 \text{ cm}^2$
soit 3 T 10 ($2,35 \text{ cm}^2$)

Plancher courante $M_o = 0,36 \text{ t.m}$ $A = 3T10$ ($2,35 \text{ cm}^2$)

Verifications

1) Non fragilité

$A \geq 0,69 \cdot b \cdot h \cdot \bar{\sigma}_b / \sqrt{e_n}$

suivant X-X $A \geq 1,69 \text{ cm}^2$

suivant Y-Y $A \geq 1,6 \text{ cm}^2$

2) Contraintes

Vérifiées

	dalle	K/tour	K/T.G	K/C.S	b/tour	b/T.G	b/C.S
X-X	terrasse	120	101	72,5	23,3	27,7	38,6
	courante	137	89	63,5	20,4	31,5	44,1
Y-Y	terrasse	113	94,5	103,5	24,8	29,6	27
	courante	128	83,5	119	21,9	33,5	23,5

3) Arret des barres d'appuis

$$l_d = \emptyset \cdot \bar{\sigma}_a / 4 \bar{\sigma}_d ; \bar{\sigma}_d = 2,5 \Psi_d \cdot \bar{\sigma}_a = 22,125 \text{ kg/cm}^2$$

$$l_d = 316,4 \text{ mm} = 32 \text{ cm}$$

T.G.M

$$l_x/5 = l_y/5 = 0,74 \text{ m} \quad l_d = \max(l/5, l_d) = 0,75 \text{ m}$$

C.S $l_x/5 = 0,72 \text{ m}$

$$l_y/5 = 1,14 \text{ m}$$

X-X

Y-Y

$$l_d = 0,72 \text{ m}$$

$$l_d = 1,14 \text{ m}$$

TOUR $l_x/5 = l_y/5 = 0,52$

$$l_d = 0,52 \text{ m}$$

4) Effotr tranchant

T.G.M $\Omega = 3,7 \cdot 3,7 = 13,69 \text{ m}^2 \quad P = p \cdot \Omega$

Terrasse $P = 13,69 \cdot 1,07 = 14,65 \text{ t}$

$$T_x = T_y = P/31y = 1,32 \text{ t}$$

$$Z_b = 0,85 \text{ kg/cm}^2 < 1,15 \bar{\sigma}_b$$

Armatures transversales sont inutiles
(même marche pour toutes les dalles pas d'armatures transversales)

5) Aux appuis

A. $\sigma_a \geq T$; A . $\sigma_a = 2,35 \cdot 2800 = 6580 \text{ kg} > T$

6) Anchage des barres

$$\sigma_a = T/A = 1320/2,55 = 561,7 \text{ kg/cm}^2$$

Un crochet normal suffira pour l'ancre des bars aux appuis.
Sa résistance à sa naissance est $2800/2 = 1400 \text{ kg/cm}^2 > 561,7 \text{ kg/cm}^2$

7) REMARQUE : Pour le plancher incliné du culoir de T.G.M , nous adoptons , même ferrailage que le plancher courant .

Chapitre II

B L O C S :

- C E N T R E S A N I T A I R E (C.S)
- T R A F I C S & G A R D E S M O B I L E S
(T.G.M)

--- ETUDE SISMIQUE --(Bloc T.G.M ; C.S)---

A-) Masses soumises à l'action sismique ($W = G + P/5$):

Bloc T.G.M

Niveau plancher terrasse $S = 16 \cdot 24 = 384 \text{ m}^2$

C.P

- Plancher : $0,944 \cdot 384 = 362,5 \text{ t}$
- Acrotère : $0,5 \cdot 1 \cdot 40 \cdot 2,5 = 5 \text{ t}$
- Poutre Lon : $0,3 \cdot 0,4 \cdot 88,5 \cdot 2,5 = 26,64 \text{ t}$
- Poutre Tra : $0,3 \cdot 0,4 \cdot 103,6 \cdot 2,5 = 31,08 \text{ t}$
- 1/2 Poteaux 1/2 : $0,3 \cdot 0,3 \cdot 35 \cdot 2,5 = 14,57 \text{ t}$

$$\underline{\underline{G = 439,8 \text{ t}}}$$

Surcharges d'exploitations $0,1 \cdot 384 = P = 38,4 \text{ t}$

$$\underline{\underline{W = G + P/5 = 447,5 \text{ t}}}$$

Niveau étage $S = 384 \text{ m}^2$

C.P

- Plancher : $0,75 \cdot 384 = 288 \text{ t}$
- Poutre L : $= 26,64 \text{ t}$
- Poutre T : $= 31,08 \text{ t}$
- Mur ext : $3,5 \cdot 0,3 \cdot 40 \cdot 0,395 = 16,6 \text{ t}$
- Cloisons : $0,075 \cdot 384 = 28,8 \text{ t}$
- Charge d'escalier : $= 4 \text{ t}$

$$\underline{\underline{G = 425,3 \text{ t}}}$$

Surcharges d'exploitations $P = 0,5 \cdot 384 = 192 \text{ t}$

$$\underline{\underline{W = 463,7 \text{ t}}}$$

Niveau	Bloc T.G.M	Bloc C.S
2 (7,91)	447,5 t	222 t
1 (4,24)	463,7 t	301,5 t

B-) Efforts sismiques verticaux $W = G + P/5$

Bloc T.G.M

a) Portique LONG

Niveau 2 $S = 54,71 \text{ m}^2$

- Plancher : $0,944 \cdot 54,71 = 51,65 \text{ t}$
- Acrotère : $0,5 \cdot 0,1 \cdot 24 \cdot 2,5 = 3 \text{ t}$
- Poutre L : $0,3 \cdot 0,4 \cdot 24 \cdot 2,5 = 7,2 \text{ t}$
- Poutre T : $(0,33 \cdot 3,7 \cdot 2) 0,3 \cdot 0,4 \cdot 2,5 \cdot 7 = 5,17 \text{ t}$
- 1/2 poteau : $1/2 \cdot 0,3 \cdot 0,3 \cdot 7 \cdot 3;7 \cdot 2,5 = 2,92 \text{ t}$

$$\underline{\underline{G = 69,93 \text{ t}}}$$

$$\begin{array}{l} P = 0,1 \cdot 54,71 \\ \underline{\underline{W = G + P/5 = 71,03 \text{ t}}} \end{array} \quad \begin{array}{l} = 5,47 \text{ t} \end{array}$$

- Niveau 1

- Plancher :	= 40,87t
- POutre Long :	= 7,2 t
- Poutre Tran :	= 2,07t
- Poteaux :	= 6,26t
- Cloison :	= 4,1 t
- Escalier :	= 2 t
- Mur ext :	<u>= 9,96t</u>
	G = 72,46t
P = 0,5 . 54,71 ;	P = 27,30t
	<u>W = 77,93 t</u>

ELOC	T.G.M			C.S		
		SOL	LONG	TRANS	LONG	TRANS
2	G	69,93	47,00	40,20	21,90	
	P	5,47	3,65	2,27	1,6	
	W	71,03	47,73	40,60	22,20	
1	G	72,46	50,82	59,30	26,30	
	P	27,36	18,23	11,35	8,00	
	W	77,93	51,46	61,60	27,90	

C-) Determination des coefficients sismiques (P.S.-69; art 3112)

a) Coefficient d'intensité α :

Il dépend de l'intensité nominale pour laquelle doit être établie le projet. Dans notre cas $\alpha = 1,5$ (Zone II, U. de Protection civile).

b) Coefficient de réponse β :

Il caractérise l'importance de la réponse de la structure à une secousse d'intensité égale à l'intensité de référence ; amortissement moyen contreventement en ossature en béton armé.

$$T = 0,09 \cdot H / \sqrt{L_u} \quad ; \quad \beta = 0,085 / \sqrt[3]{T}$$

Sens longitudinal

$$\text{Bloc T.G.M} \quad T_L = 0,140 \text{ s} \quad ; \quad \beta_L = 0,161 \quad | \quad \beta_L = 0,13$$

$$\text{Bloc C.S} \quad T_L = 0,142 \text{ s} \quad ; \quad \beta_L = 0,163$$

Sens transversal

$$\text{Bloc T.G.M} \quad T_L = 0,179 \text{ s} \quad ; \quad \beta_L = 0,15 \rightarrow \beta_L = 0,13$$

$$\text{Bloc C.S} \quad T_L = 0,306 \text{ s} \quad ; \quad \beta_L = 0,126$$

c) Coefficient de distribution γ :

Il dépend de la structure et caractérise le comportement de la masse à laquelle il se rapporte.

$$\gamma_r = 3r / (2n+1)$$

$$\text{Bloc T.G.M} \quad \gamma_2 = 1,2 \quad ; \quad \gamma_1 = 0,6$$

$$\text{Bloc C.S} \quad \gamma_2 = 1,2 \quad ; \quad \gamma_1 = 0,6$$

d) Coefficient de fondation :

$\delta = 1,15$; semelles superficielles ; sol à consistance moyenne.

Calcul des efforts sismiques aux différents niveaux $F = \tau \cdot W$

$$\text{Bloc T.G.M } \tau_L = \tau_1 = 1,5 \cdot 0,13 \cdot 1,15 \cdot \gamma_r = 0,224 \gamma_r$$

$$\text{Bloc C.S } \tau_L = 1,5 \cdot 0,13 \cdot 1,15 \cdot \gamma_r = 0,224 \gamma_r$$

$$\tau_1 = 1,2 \cdot 0,126 \cdot 1,15 \cdot \gamma_r = 0,217 \gamma_r$$

Determination des efforts horizontaux à chaque niveau :

Bloc	Niv	W	τ_L	τ_1	F_{HL}	F_{H1}	S_{HV}	S_{Hu}
T.G.M	2	447,5	0,2691	0,269	120,42	120,42	24,084	17,203
	1	463,7	0,1345	0,134	62,39	62,39	12,48	8,914
C.S	2	222	0,27	0,261	59,94	57,94	29,97	7,24
	1	301,5	0,135	0,13	40,7	32,2	20,35	4,9

Determination des charges verticales sur chaque portique

$$\text{Comme } \alpha > 1 \Rightarrow \tau_v = \tau_h / \sqrt{\alpha}$$

Tableau récapitulatif G , τ_v , W , P , F_v

Bloc	Sens	Niv	τ_v	W	$F_v(t)$	$F_v(t/m)$	$G(t/m)$	$P(t/m)$
T.G.M	LONG	2	0,2197	71,03	13,41	0,5587	2,914	0,228
		1	0,1099	77,93	8,561	0,3567	3,019	0,134
C.S	TRANS	2	0,2197	47,73	10,487	0,6554	2,9375	0,228
		1	0,1099	54,46	5,983	0,374	3,176	1,1397
	LONG	2	0,22	40,6	8,932	0,32	1,436	0,081
		1	0,11	61,6	6,776	0,24	2,118	0,405
	TRANS	2	0,213	22,2	4,73	0,79	3,65	0,27
		1	0,106	27,9	2,96	0,49	4,38	1,33

--- ETUDE DE LA TORSION ---

Les structures comportant des planchers ou diaphragmes horizontaux rigides dans leur plan peuvent être sollicitées par des efforts dûs à la torsion, notamment les bâtiments présentant une dissymétrie dans leur ossature, et $\eta > 2,5$ tel que . $\eta = L/l$

NOTA: C.T.C. impose une excentricité de 5% de la plus grande dimension de la résultante des efforts horizontales par rapport au centre de torsion .

Effet d'un couple de torsion unitaire d'axe vertical passant par T /

L'effet d'un couple de torsion d'axe vertical passant par T se réduit à une rotation du plancher autour de T, il en résulte que le déplacement subi par la tête du poteau de coordonnées (X, Y) a pour composantes K_x , K_y

- I_x (resp I_y) = Moment d'inertie du poteau (x, y) / un axe //Tx (resp //Ty)
- K = coef de proportionnalité
- Action horizontales sont $K \cdot I_x \cdot y^2$ (suivant X), $K \cdot I_y \cdot x^2$ (suivant Y)
- Les moments / T seront $K \cdot I_x \cdot y^2$ et $K \cdot I_y \cdot x^2$
- Le moment total = 1 pour $K = 1/(I_x \cdot x^2 + I_y \cdot y^2)$

BLOC T.G.M

$$\ell = 24/16 = 1,5 < 2,5$$

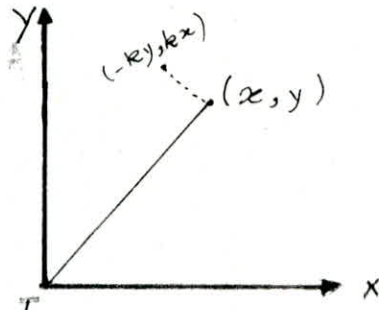
e = max (5% de 24 , e théorique)

$$e \text{ théorique} = \frac{1}{20} (+)(L_y + d)$$

$$e = \max (1,2 \text{ m} ; 0) = 1,2 \text{ m}$$

BLOC C.S.

$$\ell = 28/6 = 4,67 > 2,5 \Rightarrow e = 5\% L = 5 \cdot 28/100 = 1,4 \text{ m}$$



Poteau	x	y	$I_x = I_y$	$x^2 \cdot I_x$	$y^2 \cdot I_y$	$x \cdot I_x$	$y \cdot I_y$	F/OX	F/OY
A-1	-15,4	1,6	6,75	1600,83	17,28	-103,95	10,8	1,022	9,84
B-1	-11,4	-	-	877,23	-	-76,95	-	-	7,28
C-1	-7,4	-	-	369,63	-	-49,95	-	-	4,73
D-1	-3,4	-	-	78,03	-	-22,95	-	-	2,17
E-1	0,6	-	-	2,43	-	4,05	-	-	0,38
F-1	4,6	-	-	142,83	-	31,05	-	-	2,94
G-1	8,6	-	-	499,23	-	58,05	-	-	5,49
H-1	12,6	-	-	1071,63	-	85,05	-	-	8,05
A-2	-15,4	-4,6	-	1600,83	142,83	-103,95	-31,05	2,94	9,84
B-2	-11,4	-	-	877,23	-	-76,95	-	-	7,28
C-2	-7,4	-	-	369,63	-	-49,95	-	-	4,73
D-2	-3,4	-	-	78,03	-	-22,95	-	-	2,17
E-2	0,6	-	-	2,43	-	4,05	-	-	0,38
F-2	4,6	-	-	142,83	-	31,05	-	-	2,94
G-2	8,6	-	-	499,23	-	58,05	-	-	5,49
H-2	12,6	-	-	1071,63	-	85,05	-	-	8,05
Σ				9283,68	1280,83				

$$J = \sum I_x \cdot x^2 + \sum I_y \cdot y^2 = 10564,56 \cdot 10^{-4}$$

$$K = 1/J = 0,946561$$

BLOC T.G.M

Poteau	x	y	$I_x = I_y$	$x \cdot I_x$	$y \cdot I_y$	$x^2 \cdot I_x$	$y^2 \cdot I_y$	$x \cdot KI_x$	$y \cdot KI_y$
A-1	-13,2	9,2	6,75	-89,1	62,1	1176,12	571,32	38,141	26,583
A-2	-9,2	-	-	-62,1	-	571,32	-	26,583	-
A-3	-5,2	-	-	-35,1	-	182,52	-	15,025	-
A-4	-1,2	-	-	-8,1	-	9,72	-	3,467	-
A-5	2,8	-	-	18,9	-	52,92	-	8,09	-
A-6	6,8	-	-	45,9	-	312,12	-	19,65	-
A-7	10,8	-	-	72,9	-	787,32	-	31,206	-
B-1	-13,2	5,2	-	-89,1	35,1	1176,12	182,52	38,141	15,025
B-2	-9,2	-	-	-62,1	-	571,32	-	26,583	-
B-3	-5,2	-	-	-35,1	-	182,52	-	15,025	-
B-4	-1,2	-	-	-8,1	-	9,72	-	3,467	-
B-5	2,8	-	-	18,9	-	52,92	-	8,09	-
B-6	6,8	-	-	45,9	-	312,12	-	19,65	-
B-7	10,8	-	-	72,9	-	787,32	-	31,206	-
C-1	-13,2	1,2	-	-89,1	8,1	1176,12	9,72	38,141	3,467
C-2	-9,2	-	-	-62,1	-	571,32	-	26,583	-
C-3	-5,2	-	-	-35,1	-	182,52	-	15,025	-
C-4	-1,2	-	-	-8,1	-	9,72	-	3,467	-
C-5	2,8	-	-	18,9	-	52,92	-	8,09	-
C-6	6,8	-	-	45,9	-	312,12	-	19,65	-
C-7	10,8	-	-	72,9	-	787,32	-	31,206	-
D-1	-13,2	-2,8	-	-89,1	-18,9	1176,12	52,92	38,141	8,09
D-2	-9,2	-	-	-62,1	-	571,32	-	26,583	-
D-3	-5,2	-	-	-35,1	-	182,52	-	15,025	-
D-4	-1,2	-	-	-8,1	-	9,72	-	3,467	-
D-5	2,8	-	-	18,9	-	52,92	-	8,09	-
D-6	6,8	-	-	45,9	-	312,12	-	19,65	-
D-7	10,8	-	-	72,9	-	787,32	-	31,206	-
E-1	-13,2	-6,8	-	-89,1	-45,9	1176,12	312,12	38,141	19,65
E-2	-9,2	-	-	-62,1	-	571,32	-	26,583	-
E-3	-5,2	-	-	-35,1	-	182,52	-	15,025	-
E-4	-1,2	-	-	-8,1	-	9,72	-	3,467	-
E-5	2,8	-	-	18,9	-	52,92	-	8,09	-
E-6	6,8	-	-	45,9	-	312,12	-	19,65	-
E-7	10,8	-	-	72,9	-	787,32	-	31,206	-

$$J = 23360,4 \cdot 10^{-4} \text{ m}^4 ; \quad K = 0,42807$$

-15 -

Forces additionnelles à la torsion

BLOC T.G.M - Portique long. $S_{Tx} = 2,43 \cdot 10^{-3} \cdot M_T$
 - Portique trans. $S_{Ty} = 13,29 \cdot 10^{-3} \cdot M_T$

LONG. TRANS.

Niv	II	I	II	I
M_T	44,504	74,88	144,504	74,88
S_{Tx}	0,351	0,182	1,920	0,995

BLOC C.S - Portique long. $S_{Tx} = 23,52 \cdot 10^{-3} \cdot M_T$
 - Portique trans. $S_{Ty} = 14,56 \cdot 10^{-3} \cdot M_T$

Portique	Long		Trans	
Niveau	II	I	II	I
M_T	83,916	56,98	81,116	54,88
S_T	1,974	1,34	1,181	0,799

Forces horizontales totales agissant sur la superstructure

Portique	T.G.M LONG.		T.G.M TRANS.	
Niveau	II	I	II	I
S_{IH}	24,084	36,564	17,203	26,117
S_T	0,351	0,182	1,920	0,995
F_H	24,435	36,746	19,123	27,112
Portique	C.S LONG.		C.S TRANS.	
Niveau	II	I	II	I
S_{IH}	29,77	20,35	7,24	4,9
S_T	1,974	1,34	1,181	0,799
F_H	31,74	21,69	8,42	5,7



CALCUL DES PORTIQUES SOUS LES EFFORTS HORIZONTAUX

Les sollicitations qui s'exercent sur les poteaux et les poutres assurant le contreventement des bâtiments à étages peuvent, à défaut de calculs plus précis, être évaluées à partir d'hypothèses logiques et simples.

Dans le cas où les poteaux d'un même étage ont tous la même hauteur et où les raideurs des différents travées des poutres portées du plancher, parallèles aux forces appliquées et solidaires des poteaux sont toutes supérieures au 1/5 de la raideur du poteau le plus raide on peut admettre :

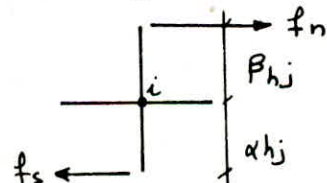
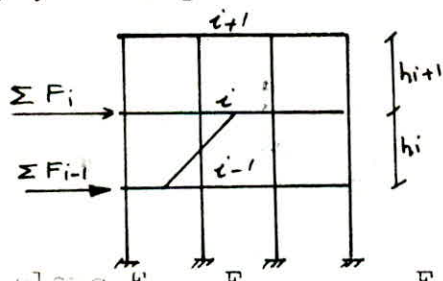
- Que les forces horizontales agissant sur une file de poteaux se répartissent entre les différents poteaux de cette file proportionnellement aux moments d'incertitude des dits poteaux, les moments d'incertitude des poteaux de rive étant toutefois affectués du coefficient 0,8

- Que les poteaux des étages courantes sont encastrés au niveau des planchers et articulés aux hauteurs définies par BOWMAN

Le calcul de notre structure sous l'effet des forces horizontales a été fait en utilisant la méthode approchée de BOWMAN qui permet de donner des résultats très proches de ceux obtenus en utilisant des méthodes exactes.

Les points d'inflexion dans les poteaux, de hauteur h , se situent :

- à 0,65 h de la partie supérieure du poteau, au dernier niveau
- à 0,60 h de la partie supérieure du poteau, à l'avant dernier niveau
- à 0,55 h de la partie supérieure du poteau, au niveau immédiatement au-dessous.
- à 0,50 h à tous les autres niveaux sauf au premier.
- à 0,60 h à partir de la base du poteau, au premier niveau.



Appelons F_1, F_2, \dots, F_n , les efforts horizontaux agissant au niveau donné j EST :

$$\sum_{j=1}^n F_j = F_j + F_{j+1} + \dots + F_{j+n}$$

ΣF_j : force cumulée au niveau j.

Les forces reprises par les différents poteaux du niveau sont alors

$$f_{i,n} = \frac{\sum F_j \cdot 0,8 \cdot I}{0,8(I+I) + I + \dots + I} ; \text{ pour un poteau de rive.}$$

$$f_i = \frac{\sum F_j \cdot I}{0,8(I+I) + I + \dots + I} ; \text{ pour un poteau intermédiaire.}$$

I - MOMENTS FLECHISSANTS :

a/ Dans les poutres La répartition des moments dans travées sera effectuée proportionnellement aux raideurs des poutres situées à droite et à gauche du nœud considéré.

Les moments dans les poutres doivent équilibrer ceux du poteau appartenant à ce nœud.

- au droit d'un nœud intermédiaire :

$$M_w = - (M_n + M_s) \cdot K_w / (K_w + K_e); M_n \text{ à gauche du nœud}.$$

$$M_e = - (M_n + M_s) \cdot K_e / (K_w + K_e); M_s \text{ à droite du nœud}.$$

- au droit d'un nœud de rive :

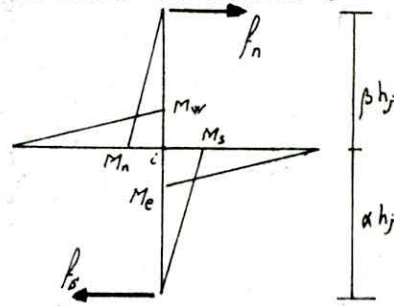
$$M_w = M_e = - (M_n + M_s)$$

K_e , K_w sont les raideurs des poutres aboutissant au nœud.

b/ Dans les poteaux

$$M_n = f_n \cdot (\beta h)_j \quad \text{à la base du poteau}.$$

$$M_s = f_s \cdot (\alpha h)_j \quad \text{en tête du poteau}.$$



II - EFFORTS TRANCHANTS DANS LES POUTRES :

Ils seront déterminés à partir des moments de continuité dans les poutres en considérant une travée (i , $i+1$) :

$$T_e^i = T_w^{i+1} = - (M_w^{i+1} + M_e^i) / l; \text{ quand } S_{ih} \text{ agit de G à D} \rightarrow$$

$$T_e^i = T_w^{i+1} = (M_w^{i+1} + M_e^i) / l; \text{ quand } S_{ih} \text{ agit de D à G} \leftarrow$$

III - EFFORTS NORMAUX DANS LES POTEAUX :

Le poteau supportant la poutre au niveau du nœud i subit un effort normal : $N_i = T_{ie} - T_{iw}$.

$N > 0$; poteau comprimé.

$N < 0$; poteau tendu.

Dans ce qui suit, on suppose que le séisme agit de gauche à droite. Dans l'autre cas les efforts changent de signe (M , N , T).

Determination de f_1 pour chaque niveau :

BLOC : T.G.M

$$\text{Long} : f_1 = f_1' = 0,8 \cdot I \cdot \sum F_j / 6,6 \quad . \quad I = 0,8 \cdot \sum F_j / 6,6 \quad .$$

$$f_2 \dots = I \cdot \sum F_j / 6,6 \quad . \quad I = \sum F_j / 6,6 \quad .$$

$$\text{Trans} : f_1 = f_1' = 0,8 \cdot \sum F_j / 4,6 \quad .$$

$$f_2 \dots = \sum F_j / 4,6 \quad .$$

BLOC C.S

$$\text{Long} : f_1 = 0,8 \sum F_j / 7,6 \quad .$$

$$f_2 \dots = \sum F_j / 7,6 \quad .$$

Moment en tête et à la base des poteaux :

BLOC T.G.M

LONG.

Niv	$\sum F_j$	$f_1 = f_1'$	$f_2 \dots$	$\alpha \cdot h$	$\beta \cdot h$	M_{s1}	M_{s2}	M_{n1}	M_{n2}
II	24,44	2,962	3,70	2,405	1,295	7,124	8,90	3,84	4,8
I	36,75	4,455	5,57	1,696	2,544	7,560	9,45	11,33	14,17

TRANS.

Niv	$\sum F_j$	f_1	$f_2 \dots$	$\alpha \cdot h$	$\beta \cdot h$	M_{s1}	M_{s2}	M_{n1}	M_{n2}
II	19,13	3,33	4,16	2,405	1,295	8,00	10,00	4,30	5,40
I	27,11	4,70	5,90	1,696	2,544	8,00	10,00	11,96	15,00

BLOC C.S

LONG.

Niv	$\sum F_j$	f_1	$f_2 \dots$	$\alpha \cdot h$	M_{s1}	M_{s2}	$\beta \cdot h$	M_{n1}	M_{n2}
II	31,74	3,341	4,176	2,145	7,170	8,956	1,155	3,859	4,824
I	53,43	5,624	7,030	1,320	7,424	9,280	1,980	11,136	13,920

TRANS.

$$f_1 = \sum F_j / 2$$

Niv	$\sum F_j$	f_1	$\alpha \cdot h$	M_s	$\beta \cdot h$	M_n
II	5,70	2,850	2,145	6,110	1,155	3,290
I	8,420	4,210	1,320	5,560	1,980	8,330

Moments flechissants, moments en travée, efforts tranchants :

Bloc	Port	Niv	Trav	1	M_e^{i-1}	M_w^i	M_t	T_e^{i-1}	T_w^i
T.GM	Long	II	1-2	3,70	7,12	4,45	1,335	-2,89	2,89
			2-3	3,70	4,45	4,45	0	-2,22	2,22
		I	1-2	3,70	11,40	7,125	2,14	-4,63	4,63
			2-3	3,70	7,125	7,125	0	-3,56	3,56
	Tran	II	1-2	3,70	8	5	1,5	-3,25	3,25
			2-3	3,70	5	5	0	-2,5	2,5
		I	1-2	3,70	8	5	1,5	-3,5	3,5
			2-3	3,70	5	5	0	-2,5	2,5
C.S	Long	II	1-2	3,60	7,17	4,48	1,345	-3,236	3,236
			2-3	3,60	4,48	4,48	0	-2,48	2,48
		I	1-2	3,60	11,28	7,05	2,115	-5,09	5,09
			2-3	3,60	7,05	7,05	0	-3,91	3,91
	Tran	II	1-1	5,70	6,11	6,11	0	-2,14	2,14
			I	1-1	5,70	8,85	8,85	0	-3,10
		I	1-1	5,70	8,85	8,85	0	-3,10	3,10

Efforts normaux

Bloc	Port	Niv	Pot	T_w^i	T_e^i	(N_s)	N_t
T.GM	Long	II-I	1	-	-2,89	-	-2,89
			2	-2,89	-2,22	-	0,67
		I-O	1	-	-4,63	-2,89	-7,52
			2	-4,63	-3,56	0,67	1,74
	Tran	II-I	1	-	-3,25	-	-3,25
			2	-3,25	-2,5	-	0,75
		I-O	1	-	-3,25	-3,25	-6,5
			2	-3,25	-2,5	0,75	1,5
C.S	Long	II-I	1	-	-3,236	-	-3,236
			2	-3,236	-2,48	-	0,729
		I-O	1	-	-5,09	-3,236	-8,326
			2	-5,09	-3,91	0,756	1,936
	Tran	II-I	1	-	-2,14	-	-2,14
			I-O	1	-	-3,1	-2,14
		I-O	1	-	-3,1	-2,14	-5,24

(N_s) : efforts normaux venant du poteau supérieur .

-- CALCUL DES EFFORTS DANS LES PORTIQUES --
----- SOUS LES CHARGES VERTICALES -----

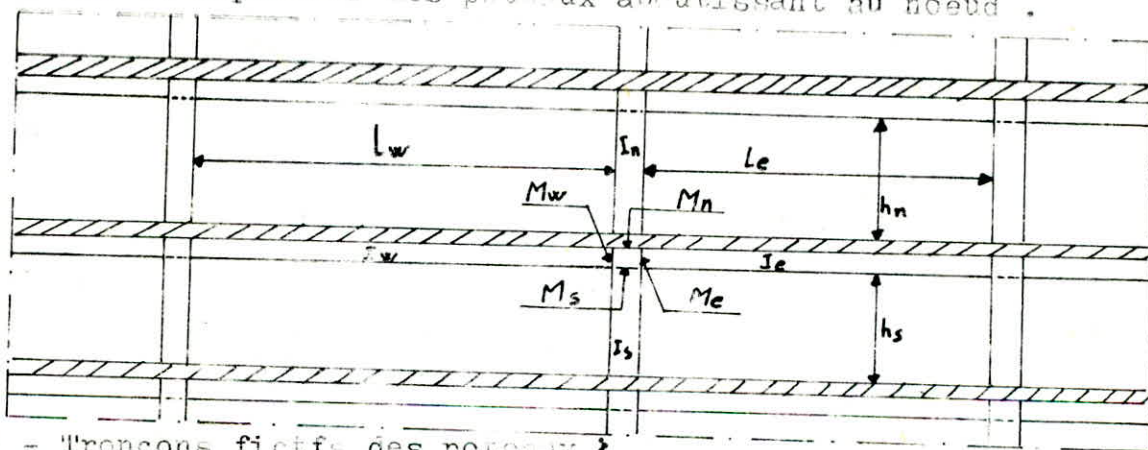
Le calcul d'une poutre continue idéalisée conduit à un travail non négligeable, si l'on veut envisager toutes les combinaisons de charges pour obtenir la courbe enveloppe.

Pour des raisons différentes (conditions d'exécution par phase, variation de l'inertie, ...) des méthodes simplifiées ont été mise au point et on peut considérer que l'expérience a sanctionné celle de M. CAQUOT, qui, de plus se trouve bien adoptée au calcul des poutres associées à un hourdis, soumises à des charges verticales et solidaires des poteaux qui les supportent.

EXPOSE DE LA METHODE (CCBA 68 . Annexe 1)

L'idée consiste à étudier la distribution des moments autour d'un noeud en l'isolant fictivement du reste de la structure.

Pour calculer les moments de continuité (M_w , M_e , M_n , M_s) agissant dans les sections des nus d'un appui, on ne tient compte que des charges agissant sur les travées encadrant l'appui considéré (l_w , l_e) et de la résistance offerte par ces travées et par les tronçons (h_n , h_s) inférieur et supérieur des poteaux aboutissant au noeud.



1° - Tronçons fictifs des poteaux :

On détache au-dessus et au-dessous des appuis des tronçons fictifs dont les longueurs ont les valeurs suivantes :

$h'_n = 0,9 h_n$ si le noeud appartient à l'avant dernier plancher.

$h'_n = 0,8 h_n$ dans les autres cas.

$h'_s = h_s$ si les poteaux sont articulés sur les fondations.

$h'_s = 0,8 h_s$ dans les autres cas.

2° - Travées intermédiaires :

$$l'_w = 0,8 l_w \quad ; \quad l'_e = 0,8 l_e$$

Posons $K_w = I_w / l'_w$; $K_e = I_e / l'_e$; $K_n = I_n / h'_n$; $K_s = I_s / h'_s$
 $\Sigma = K_w + K_e + \Sigma + K_s$

Appelons /

- Q_w : La charge concentrée sur la gauche à la distance a_w du de l'appui ; pour la travée de droite on aura Q_e et a_e .

- q_w : La charge uniformément répartie par mètre linéaire sur la travée de gauche ; q_e est répartie sur celle de droite .

Calculons . $M_w' = q_w \cdot l_w^2 / 8,5 + l_w' \cdot K_w \cdot Q_w$.

$$M_e' = q_e \cdot l_e^2 / 8,5 + l_e' \cdot K_e \cdot Q_e$$
 .

Les moments M_w , M_e , M_n , M_s , au noeud considéré sont alors donnés en valeur absolue par les formules suivantes :

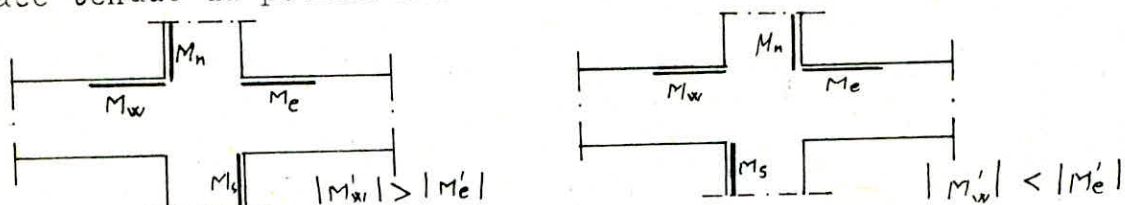
$$M_w = M_e' \cdot K_w / D + M_w' (1 - K_w / D)$$
 .

$$M_e = M_w' \cdot K_e / D + M_e' (1 - K_e / D)$$
 .

$$M_s = (M_e' - M_w') \cdot K_s / D$$
 .

$$M_n = (M_e' - M_w') \cdot K_n / D$$
 .

- Pour les **traverses**, la face tendue se trouve à la partie supérieure
- Pour les poteaux, la face tendue du poteau supérieur est du côté e correspondant à la plus grande des deux valeurs absolues M_w' et M_e' . La face tendue du poteau inférieur se trouve du côté opposé .



3° - Travée de rive (sans console)

$$M_{e1} = M_{e1}' (1 - K_{e1} / D_1)$$

$$M_s = M_{e1}' \cdot K_{s1} / D_1 ; M_n = M_{e1}' \cdot K_{n1} / D_1$$
 .

Avec $M_{e1}' = q_e \cdot l_e^2 / 8,5$; $M_{w1} = 0$

4° - Cas d'une seule travée (ossature symétrique et symétriquement chargée)

$$K = T/l ; K_u = T_u^2 / u_u^2 ; K_n = T_n^2 / h_n^2$$

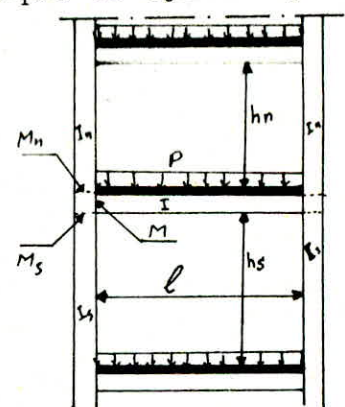
$$D = K + 1,56 (K_n + K_u)$$

$$M' = q \cdot l^2 / 8,5$$

$$M = M' \cdot (K_s + K_n) / D$$

$$M_s = M' \cdot K_s / D$$

$$M_n = M' \cdot K_n / D$$



5° - Moments en travée des poutres

Pour déterminer les moments en travée; on trace pour chaque travée supposée indépendante et en considérant la portée réelle l , la courbe des moments relative à la charge permanente puis de la courbe des moments relative à la charge permanente et à la charge d'exploitation . On prend comme ligne de fermeture :

- Pour les moments positifs la droite qui joint les moments d'appui minimaux en valeur absolue .
- Pour les moments négatifs celle qui joint les moments d'appui maximaux en valeur absolue .

$$M_t = M_o - (M_e + M_w) / 2$$

M_o : Moment isostatique de la travée indépendante .

6° - Moments dans les poteaux

On admet que les points de moment nul dans les poteaux se trouvent à la distance h_n^i au-dessus du plancher et h_s^i au-dessous du niveau inférieur des poutres.

7° - Efforts tranchants dans les poutres

Dans le cas de plusieurs travées, les efforts tranchants d'appui sont calculés en faisant état des moments de continuité.

$$T_e^{i-1} = ql/2 + (M_e^{i-1} - M_w^i)/l$$

$$T_w^i = -ql/2 + (M_e^{i-1} - M_w^i)/l$$

T : est exprimé en valeur algébrique.

M : est exprimé en valeur absolue.

8° - Efforts normaux dans les poteaux

Pour des charges verticales uniformément réparties en travées et provoquant des efforts tranchants, on obtient des réactions créant des efforts de compression dans les poteaux.

$$N^i = T_c^i - T_w^i .$$

T : est exprimé en valeur algébrique.

-- CARACTERISTIQUES GEOMETRIQUES DES POUTRES --

BLOC T.G.M Portiques Long et Trans ayant les m^{ême} caractéristiques

Niveau	II		I	
Noeud	1	2	1	2
l_w	-	3,7	-	3,7
l_e	3,7	3,7	3,7	3,7
h_n	-	-	3,3	3,3
h_s	3,3	3,3	3,84	3,84
$I_e = I_w \cdot 10^{-4}$	16	16	16	16
$I_n = I_s \cdot 10^{-4}$	6,75	6,75	6,75	6,75
l'_w	-	2,96	-	2,96
l'_e	2,96	2,96	2,96	2,96
h'_n	-	-	2,97	2,97
h'_s	2,64	2,64	3,072	3,072
$K_w \cdot 10^{-4}$	-	5,4	-	5,4
$K_e \cdot 10^{-4}$	5,4	5,4	5,4	5,4
$K_n \cdot 10^{-4}$	-	-	2,273	2,273
$K_s \cdot 10^{-4}$	2,557	2,557	2,557	2,557
$D \cdot 10^{-4}$	7,957	13,357	9,870	15,270

BLOC C.S

Portiques	Long				Trans	
	II		I		II	I
Niveau	1	2	1	2	1	2
Noeud	1	2	1	2	1	2
l_w	-	3,6	-	3,6	-	-
l_e	3,6	3,6	3,6	3,6	5,7	5,7
h_n	-	-	3,3	3,3	-	3,3
h_s	3,3	3,3	3,3	3,3	3,3	3,3
$I_w = I_e (10)^{-4}$	16	16	16	16	72	72
$I_n = I_s (10)^{-4}$	6,75	6,75	6,75	6,75	6,75	6,75
l'_w	-	2,88	-	2,88	-	-
l'_e	2,88	2,88	2,88	2,88	4,56	4,56
h'_n	-	-	2,97	2,97	-	2,97
h'_s	2,64	2,64	2,64	2,64	2,64	2,64
$K_w \cdot 10^{-4}$	-	5,55	-	5,55	$K =$	$K =$
$K_e \cdot 10^{-4}$	5,55	5,55	5,55	5,55	12,63	12,63
$K_n \cdot 10^{-4}$	-	-	2,27	2,27	-	2,27
$K_s \cdot 10^{-4}$	2,56	2,56	2,04	2,04	2,56	2,04
$D \cdot 10^{-4}$	8,11	13,66	10,38	15,41	16,62	20,20

MOMENTS SOUS G, P, S_{IV} dans les portiques

Bloc C.S. LONG

(*)	Niveau	Noeud	q_w	q_e	M_w	M_c	M_n	M_s
G	II	1	0,9	1,436	-	0,44	-	0,44
		2	1,436	1,436	1,4	1,4	-	-
	I	1	-	2,118	-	1,47	0,96	0,51
		2	2,118	2,118	2,07	2,07	-	-
P	II	1	-	0,081	0,0	0,025	-	0,025
		2	0,081	0,081	0,08	0,08	-	-
	I	1	0,0	0,405	-	0,2	0,086	0,097
		2	0,405	0,405	0,395	0,395	-	-
S _{IV}	II	1	-	0,32	-	0,098	0	0,098
		2	0,32	0,32	0,312	0,312	-	-
	I	1	-	0,24	-	0,117	0,051	0,058
		2	0,24	0,24	0,234	0,234	-	-

TRANS

(*)	Niveau	Noeud	q_e	M_c	M_n	M_s
G	II	1	3,65	2,15	-	2,15
		1	4,38	4	1,83	2,12
P	II	1	0,27	0,16	-	0,16
		1	1,33	1,21	0,57	0,64
S _{IV}	II	1	0,79	0,38	-	0,38
		1	0,49	0,45	0,21	0,24

EFFORTS TRANCHANTS, MOMENTS EN TRAVEES

TRANS.

(*)	Niv	Travée	T_e	M_t
G	II	1-1	10,4	12,7
		I	12,5	13,79
P	II	1-1	0,77	0,94
		I	3,9	4,19
S _{IV}	II	1-1	2,25	2,63
		I	1,6	1,54

LONG

(*)	Niveau	Travée	T_c	T_w	M_t
G	II	1-2	2,32	-2,84	1,4
		2-3	2,56	-2,58	0,92
	I	1-2	3,5	-4,12	1,80
		2-3	3,81	-3,81	1,36
P	II	1-2	0,13	-0,161	0,08
		2-3	0,146	-0,146	0,05
	I	1-2	0,674	-0,783	0,36
		2-3	0,729	-0,729	0,26
S_{iv}	II	1-2	0,362	-0,79	0,31
		2-3	0,576	-0,576	0,21
	I	1-2	0,4	-0,46	0,21
		2-3	0,432	-0,432	0,14

EFFORTS NORMAUX DANS LES POPEAUX

PORTIQUE		LONG		TRANS
(*)	NIVEAU	Poteau	N	N
G	II	1	2,32	10,4
		2	5,42	-
	I	1	5,82	22,9
		2	13,33	-
P	II	1	0,13	0,77
		2	0,31	-
	I	1	0,8	4,56
		2	1,82	-
S_{iv}	II	1	0,36	2,25
		2	1,37	-
	I	1	0,76	3,65
		2	2,26	-

SUPERPOSITION DES SOLICITATIONS

Bloc T.G.M

Port		LONG				TRANS			
Niveau	Travée	II		I		II		I	
		1-2	2-3	1-2	2-3	1-2	2-3	1-2	2-3
G	M _w	- 3,01	- 3,01	- 3,11	- 3,11	- 3,03	- 3,03	- 3,28	- 3,28
	M _e	- 0,97	- 3,01	- 1,4	- 3,11	- 0,97	- 3,03	- 1,48	- 3,28
P	M _w	- 0,24	- 0,24	- 1,2	- 1,2	- 0,24	- 0,24	- 1,2	- 1,2
	M _e	- 0,08	- 0,24	- 0,54	- 1,2	- 0,08	- 0,24	- 0,54	- 1,2
S↓	M _w	- 0,6	- 0,6	- 0,4	- 0,4	- 0,7	- 0,7	- 0,41	- 0,41
	M _e	- 0,2	- 0,6	- 0,2	- 0,4	- 0,22	- 0,7	- 0,2	- 0,41
S	M _w	- 4,45	- 4,55	- 7,125	- 07,125	- 5	- 5	- 4,15	- 7,7
	M _e	- 7,12	- 4,45	- 11,4	- 07,125	- 8	- 5	- 8	- 5
G ^{x1,2P}	M _w	- 3,296	- 3,298	- 4,55	- 4,55	- 3,318	- 3,318	- 4,72	- 4,72
	M _e	- 1,066	- 3,298	- 2,048	- 4,55	- 1,066	- 3,318	- 2,128	- 4,72
G ^{xP₂S_{1,3}}	M _w	- 8,3	- 8,3	- 11,835	- 11,835	- 8,97	- 8,97	- 9,04	- 12,59
	M _e	- 8,37	- 8,3	- 13,54	- 11,835	- 9,27	- 8,97	- 10,22	- 9,89
G ^{xP₂S_{1,3}}	M _w	+ 0,6	0,6	2,415	2,415	1,03	1,03	- 0,74	2,81
	M _e	+ 5,87	0,6	9,26	2,415	6,73	1,03	5,78	0,11
G ^{xP₂S_{1,3}}	M _w	- 7,1	- 7,1	- 11,035	- 11,035	- 7,57	- 7,57	- 8,22	- 11,77
	M _e	- 7,97	- 7,1	- 13,14	- 11,035	- 8,83	- 7,57	- 9,02	- 9,47
G ^{xP₂S_{1,3}}	M _w	1,8	1,8	3,215	3,215	2,43	2,43	0,08	3,63
	M _e	6,27	1,8	9,66	3,215	7,17	2,43	6,18	0,93

MOMENTS FLECHISSANTS DANS LES POUTRES

Bloc C.S

Portique		Long				Trans	
Niveau	Travée	II		I		II	I
	1-2	2-3	1-2	2-3	1-1	1-1	
G	M _w	-1,4	-1,4	-2,07	-2,07	-2,15	-4
	M _e	-0,44	-1,4	-0,96	-2,07	-2,15	-4
P	M _w	-0,08	-0,08	-0,395	-0,395	-0,16	-1,21
	M _e	-0,025	-0,08	-0,2	-0,395	-0,16	-1,21
S↓	M _w	-0,312	-0,312	-0,234	-0,234	-0,38	-0,45
	M _e	-0,098	-0,312	-0,117	-0,234	-0,38	-0,45
S→	M _w	-4,48	-4,48	-7,05	-7,05	-6,11	-6,65
	M _e	-7,17	-4,48	-11,28	-7,050	-6,11	-8,85
G+1,2P	M _w	-1,496	-1,496	-2,544	-2,544	-2,342	-5,452
	M _e	-0,47	-1,496	-1,2	-2,544	-2,342	-5,452
G+P _x S _b *S _s	M _w	-6,272	-6,272	-9,75	-9,75	-8,8	-14,51
	M _e	-7,733	-6,272	-12,557	-9,75	-8,8	-14,51
G+P _x S _b *S _s	M _w	2,688	2,688	4,35	04,35	3,42	3,19
	M _e	6,607	2,688	10	4,35	3,42	3,19
G+P _x S _b *S _s	M _w	-5,648	-5,648	-9,28	-9,28	-8,04	-13,61
	M _e	-7,537	-5,648	-12,323	-9,28	-8,04	-13,61
G+P _x S _b *S _s	M _w	3,312	3,312	4,82	4,82	4,18	4,09
	M _e	6,803	3,312	10,273	4,82	4,18	4,09

MOMENTS FLECHISSANTS DANS LES POUTRES

EFFORTS TRANCHANTS , MOMENTS EN TRAVEE

Bloc T.G.M

Portique		Long				Trans			
Niveau	Travée	II		I		II		I	
		1-2	2-3	1-2	2-3	1-2	2-3	1-2	2-3
G	T _w	-5,95	-5,4	- 6,05	-5,59	- 6	- 5,44	-6,37	-5,88
	T _e	4,95	5,4	5,13	5,59	4,83	5,44	5,39	5,88
	M _t	3	2	2,91	2,06	3,03	2	3,06	2,16
P	T _w	-0,46	-0,42	- 2,29	-2,11	- 0,46	- 0,42	-2,29	-2,11
	T _e	0,38	0,42	1,93	2,11	0,38	0,42	01,93	2,11
	M _t	0,23	0,15	1,08	0,75	0,23	0,15	1,08	0,75
S↓	T _w	-1,15	-1,04	- 0,72	-0,67	-1,35	- 1,22	-0,8	-0,74
	T _e	0,93	1,04	0,62	0,67	1,09	1,22	0,68	0,74
	M _t	0,56	0,36	0,32	0,22	0,67	0,43	0,36	0,27
S	T _w	-2,89	-2,22	- 4,63	-3,56	- 3,25	- 2,5	-3,25	-2,5
	T _e	-2,89	-2,22	- 4,63	-3,56	- 3,25	- 2,5	-3,25	-2,5
	M _t	1,335	-	2,14	-	1,5	-	1,5	-
G 1.2 P	T _w	-6,502	-5,904	- 8,298	-8,122	- 6,552	- 5,904	-9,118	-8,412
	T _e	5,306	5,904	7,446	8,122	5,336	5,904	7,706	8,412
	M _t	3,276	2,18	4,206	2,96	3,306	2,18	4,356	3,06
G + P.S. S	T _w	-10,45	-9,08	-13,69	-11,93	-11,06	- 9,58	-12,71	-11,23
	T _e	3,27	7	3,04	4,81	3,1	4,58	4,75	6,23
	M _t	5,125	2,51	6,45	3,03	5,43	2,58	6,02	3,18
G + P.S. S	T _w	-4,67	-4,64	4,43	-4,81	- 4,56	- 4,58	-6,21	-6,23
	T _e	9,05	2,56	12,3	11,93	9,6	9,58	4,75	11,23
	M _t	2,455	2,51	2,17	3,03	2,43	2,58	3,02	3,18
G + P.S. S	T _w	-8,15	-7	-12,25	-10,59	- 8,36	- 7,14	-11,11	-9,75
	T _e	1,41	9,08	1,82	3,47	0,92	2,14	3,39	4,75
	M _t	4,005	1,79	5,81	2,59	4,09	1,72	5,26	2,64
G + P.S. S	T _w	-2,37	-2,56	- 2,99	-3,47	- 1,86	- 2,14	-4,61	-4,75
	T _e	7,19	4,64	11,08	10,59	7,42	7,14	3,39	9,75
	M _t	1,335	1,79	1,53	2,59	1,09	1,72	2,26	2,64

Bloc C.S

Portique			Long			Trans	
Niveau	II		I		I I	I	
Travée	1-2	2-3	1-2	2-3	1-1	1-1	
G	T _w	-2,84	-2,58	-4,12	-3,81	-10,4	-12,5
	T _e	2,32	2,58	3,5	3,81	10,4	12,5
	M _t	1,4	0,92	1,88	1,36	12,67	13,79
P	T _w	-0,161	-0,146	-0,783	-0,729	-0,77	-3,79
	T _e	0,13	0,146	0,674	0,729	0,77	3,79
	M _t	0,08	0,05	0,36	0,26	0,94	4,19
S↓	T _w	-0,79	-0,576	-0,46	-0,432	-2,25	-1,4
	T _e	0,362	0,576	0,4	0,432	2,25	1,4
	M _t	0,31	0,21	0,21	0,14	2,83	1,54
S	T _w	-3,236	-2,48	-5,09	-3,91	-2,14	-3,1
	T _e	3,236	2,48	5,09	3,91	2,14	3,1
	M _t	2,115	-	2,115	-	-	-
G _{1,2P}	T _w	-3,033	-2,755	-5,06	-4,685	-11,324	-17,048
	T _e	2,476	2,755	4,309	4,685	11,324	17,048
	M _t	1,496	0,98	2,312	1,672	13,798	18,818
G _{+PS↓S}	T _w	-7,027	-5,782	-10,453	-8,881	-15,56	-20,79
	T _e	6,048	5,782	9,664	8,881	15,56	20,79
	M _t	3,905	1,18	4,565	1,76	16,44	19,52
G _{+PS↓S}	T _w	-0,555	-0,822	-0,273	-1,061	-11,28	-14,59
	T _e	-0,424	0,822	-0,516	1,061	11,28	14,59
	M _t	-0,325	1,18	0,335	1,76	16,44	19,52
G _{+PS↓S}	T _w	-5,447	-4,63	-9,533	-8,017	-11,06	-17,99
	T _e	5,324	4,63	8,864	8,017	11,06	17,99
	M _t	3,745	0,76	4,145	1,48	10,78	16,44
G _{+PS↓S}	T _w	1,025	0,33	0,647	-0,197	+ 6,78	+11,79
	T _e	-1,148	-0,33	-1,316	0,197	- 6,78	-11,79
	M _t	-0,945	0,76	-0,085	1,48	10,78	16,44

EFFORTS TRANCHANTS , MOMENTS EN TRAVEE

Bloc T.G.M

Portique		Long				Trans			
Niveau	Poteau	II		I		II		I	
		1	2	1	2	1	2	1	2
G	M _n	0,72	-	-	-	0,75	-	-	-
	M _s	0,97	0,00	0,7	-	0,97	-	0,72	-
	N	4,85	11,35	9,98	22,99	4,88	11,41	10,27	23,69
P	M _n	0,66	-	-	-	0,66	-	-	-
	M _s	0,08	-	0,27	-	0,08	-	0,27	-
	N	0,38	0,38	2,31	5,28	0,38	0,80	2,31	5,28
S↓	M _n	0,1	-	-	-	0,094	-	-	-
	M _s	0,2	-	0,09	-	0,22	-	0,09	-
	N	0,93	2,19	1,54	3,58	1,09	2,57	1,77	4,11
S↑	M _n	3,84	4,8	11,33	14,17	4,30	5,4	11,90	15
	M _s	7,124	8,9	7,56	9,45	8	10	8	10
	N	-2,89	0,67	-7,52	1,74	-3,25	0,75	-6,5	1,5
G+1,2P	M _n	1,512	-	-	-	1,542	-	-	-
	M _s	1,066	-	1,024	-	1,066	-	1,044	-
	N	5,306	12,406	12,752	29,326	5,336	12,496	13,042	30,026
G↑PS↓	M _n	5,32	4,8	11,33	14,17	5,804	5,4	11,96	15
	M _s	8,374	8,9	8,62	9,45	9,27	10	9,08	10
	N	3,27	15,09	6,32	33,59	3,1	15,64	7,85	34,58
G↑PS↓ G↓	M _n	-2,36	-4,8	-11,33	-14,17	-2,796	-5,4	-11,96	-15
	M _s	-5,874	-8,9	-6,5	-9,45	-6,73	-10	-6,92	-10
	N	9,05	13,75	21,35	30,11	9,6	14,14	20,85	31,58
G↑PS↓ G↓	M _n	5,12	+4,8	11,33	14,17	5,616	5,4	11,96	15
	M _s	7,974	+8,9	8,44	9,45	8,83	10	8,9	10
	N	1,41	10,71	3,23	26,43	0,92	10,5	4,31	26,36
G↑PS↓ G↓	M _n	-2,56	-4,8	-11,33	-14,17	-2,984	-5,4	-11,96	-15
	M _s	-6,274	-8,9	-6,66	-9,45	-7,17	-10	-7,1	-10
	N	7,19	9,37	18,27	22,95	7,42	9	17,31	23,36

EFFORTS NORMAUX

MOMENTS DANS LES POTEAUX

Bloc C.S

Portique		Long				Trans	
Niveau		II		I		II	I
Poteau		1	2	1	2	1	1
G	M _n	0,96	-	-	-	1,88	-
	M _s	0,44	-	0,51	-	2,15	2,12
	N	2,32	5,42	5,82	13,33	10,4	22,9
P	M _n	0,086	-	-	-	0,57	-
	M _s	0,025	-	0,097	-	0,16	0,64
	N	0,13	0,31	0,8	1,82	0,77	4,56
S↓	M _n	0,051	-	-	-	0,21	-
	M _s	0,098	-	0,058	-	0,38	0,24
	N	0,36	1,37	0,76	2,26	2,25	3,65
S↑	M _n	3,86	4,82	11,14	13,92	3,29	8,33
	M _s	7,17	8,96	7,42	9,28	6,11	5,56
	N	-3,236	0,729	- 8,326	1,936	2,14	5,24
G+ P↓ S↓	M _n	1,063	-	-	-	2,564	-
	M _s	0,47	-	0,626	-	2,342	2,688
	N	2,476	5,79	6,78	15,514	11,324	28,372
G+ P↓ S↓ S↑	M _n	4,957	4,82	11,14	13,92	5,95	8,33
	M _s	7,733	8,96	8,085	9,28	8,8	8,56
	N	-0,426	7,829	- 0,946	19,346	15,56	36,35
G+ P↓ S↓ S↑	M _n	-2,763	-4,82	-11,14	-13,92	- 0,63	- 8,33
	M _s	-6,607	-8,96	- 6,755	- 9,28	- 0,6	- 2,56
	N	5,326	6,371	15,706	15,474	11,06	25,87
G+ P↓ S↓ S↑	M _n	4,855	4,82	11,14	13,92	± 5,53	8,33
	M _s	7,537	8,96	7,969	9,28	± 8,04	8,08
	N	-1,146	5,089	- 2,466	14,826	11,06	29,05
G+ P↓ S↓ S↑	M _n	-2,865	-4,82	-11,14	-13,92	- 1,05	- 8,33
	M _s	-6,803	-8,96	- 6,871	- 9,28	- 1,36	- 3,04
	N	6,046	3,631	14,186	10,954	6,78	18,57

EFFORTS NORMAUX , MOMENTS DANS LES POTEAUX

--- FERRAILLAGE DES POUTRES ---

Le calcul des sections d'acier, puis les dispositions de ferrailage sont effectués à partir des courbes enveloppes des moments fléichissants résultants des combinaisons les plus défavorables des charges verticales et des actions des séisme.

Dans le justifications et vérifications de toutes les dispositions des armatures longitudinales de traction, on doit considérer les sollicitations totales des deux genres les plus défavorables (CCBA68).

Conformément à l'article A15 . CCBA 68, il ne sera pas fait état dans les calculs des efforts normaux dans les poutres; elles seront donc ferraillées en flexion simple .

I- CALCULS

A / Calcul des armatures longitudinales :

En flexion simple, la section d'acier minimale obtenue pour $\sigma_a = \bar{\sigma}_a$. On calcule :

$$\mu' = n \cdot M / \bar{\sigma}_a \cdot b \cdot h^2 \longrightarrow \varepsilon, \alpha, K$$

- Si $h < h_0$ \longrightarrow L'axe neutre tombera dans la table et la section en T se calculera comme une section rectangulaire de largeur b et de hauteur h .

- Si $h > h_0$, l'axe neutre tombera dans la nervure et on utilisera la méthode de P. CHARRON . Dans notre cas on a des section rectangulaire seulement .

Section rectangulaire:

- Si $K > \bar{K} = \bar{\sigma}_a / \bar{\tau}_b$, les armatures comprimées ne sont pas nécessaire et la section des armatures tendues sera :

$$A = M / \bar{\sigma}_a \cdot \varepsilon \cdot h$$

- Si $K < \bar{K}$, il faudra prévoir des armatures comprimées .

On calcule

$$\bar{K} = 15 \cdot \bar{\sigma}_a / n \cdot \bar{\tau}_b ; \bar{K} \rightarrow \varepsilon, \mu', \alpha .$$

On prend $\bar{\tau}'_b = \bar{\tau}'_b$

on aura

$$M_1 = \mu' \cdot \bar{\tau}'_b \cdot b \cdot h^2 ; \Delta M = M - M_1$$

$$y_1 = \alpha \cdot h ; \bar{\sigma}_a = n (y_1 - d') \cdot \bar{\tau}_b / y_1$$

$$A_1 = M / \bar{\sigma}_a \cdot \varepsilon \cdot h ; A_2 = \Delta M / (h - d') \cdot \bar{\sigma}_a$$

$$A' = \Delta M / (h - d') \cdot \bar{\sigma}_a ; A = A_1 = A_2$$

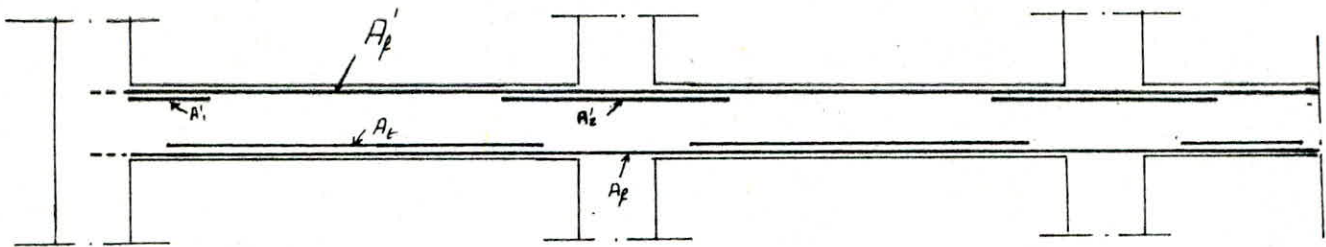
Pourcentage d'armatures:

- Le pourcentage total minimal (maximal) des aciers longitudinaux sur toute la longueur de la poutre doit être de 0,3 % (2,5 %) pour les aciers haute adhérence .

- Il faut prévoir des armatures filantes d'une section minimale :

- Lit supérieur; $A'_f \geq \max (A'_1/4, A'_2/4, 3 \text{ cm}^2)$

- Lit inférieur $A_f \geq \max (A_1/4, A_2/4, 3 \text{ cm}^2)$



B / Calcul des armatures transversales :

Les armatures transversales doivent être capables d'équilibrer à elles-seules les efforts de traction qui se produisent après fissuration du béton .

Elles seront calculées à l'effort tranchant maximum .

a - Contrainte de traction admissible (CCBA 68 . art 25.12)

$$\sigma_{at} = \rho_{at} \cdot \sigma_{en}$$

- $\rho_{at} = \max (1 - Z_b / 9 \bar{\sigma}_b ; 2/3)$, si la section ne comporte pas de reprise de bâtonnage

- $\rho_{at} = 2/3$ si les conditions indiquées ci-dessus ne sont pas remplies .

b - Contrainte de cisaillement (CCBA 68 . art 25.11)

$$Z_b = T / b \cdot z , z = 7h/8 \quad \text{section rectangulaire .}$$

c - Etriers et cadres perpendiculaires à la ligne moyenne

Pour pouvoir utiliser ce type d'armature, il faut que Z_b soit inférieur aux valeurs suivantes :

$$Z_b \leq 3,5 \bar{\sigma}_b \quad \text{si } \sigma_b \leq \sigma_{b_0}$$

$$Z_b \leq (4,5 - \sigma_b / \sigma_{b_0}) , \text{ si } \sigma_{b_0} < \sigma_b < 2 \sigma_{b_0}$$

d - Ecartement des armatures transversales

Il est donné par : $t = A_t \cdot z \cdot \bar{\sigma}_{at} / T$

L'espacement entre deux plans d'armatures transversales doit être inférieur à t . $t = \max (0,2 h ; (1 - 0,3 Z_b / \bar{\sigma}_b) \cdot h)$

D'après le C.T.C, l'espacement maximum est :

- dans la zone nodale $e = \min (0,3h, 12\varnothing)$
- dans la zone courante $e = 0,5 \cdot h$

II - VERIFICATIONS

a - Condition de non fragilité (CCBA 68 . art 19)

$$A \geq 0,69 b \cdot h \cdot \bar{\sigma}_b / \sigma_{en}$$

b - Condition de non fissuration (CCBA 68 art 49)

Dans les justifications de calcul relatives à la fissuration du béton on prend en compte les sollicitations de service .

La valeur à considérer pour α est limitée à la plus grande des deux valeurs suivantes :

$$\tau_1 = K \cdot \frac{\gamma}{\phi} \cdot \frac{\omega_f}{1+10 \omega_f} ; \tau_2 = 2,4 \sqrt{\frac{\gamma \cdot K \cdot \sigma_b}{\phi}}$$

$K = 1,5 \cdot 10^6$: fissuration peu nuisible .

$\gamma = 1,6$: acier haute adhérence .

$\omega_f = A/B_f$: pourcentage de fissuration .

c - Vérification de la flèche (CCBA 68 . art 61 . 21)

Dans les justifications de calcul relatives à la flèche on ne tient compte que des sollicitations de service .

Il est inutile de calculer la flèche si les conditions suivantes sont vérifiées :

- $h_t/l \geq 1/16$.
- $h_t/l \geq M_t/10 M_o$
- $A/bh \leq 43/\tau_{en}$

d - Vérification des contraintes

La section d'armatures étant connue, nous calculons

$$\tilde{\omega} = 100 \cdot A / b \cdot h ; \tilde{\omega} \rightarrow \varepsilon, K$$

$$\sigma_a = M/A \cdot \varepsilon \cdot h , \sigma_b = \sigma_a/K$$

σ_a et σ_b doivent être inférieure aux contraintes admissibles σ_a , σ_b

e - Vérification à l'adhérence (CCBA 68 . art 29.1)

La contrainte d'adhérence admissible pour l'entraînement des armatures est donnée par

$$\bar{\varepsilon}_d = 2 \cdot \psi_d \cdot \bar{\sigma}_b \text{ pour les poutres .}$$

La contrainte d'adhérence pour l'entraînement des armatures est

$$\varepsilon_d = T \cdot A_y / z \cdot p_{u,i} \cdot A$$

Si les armatures sont constituées par n barres isolées identiques

$$A = n \cdot A_i ; \varepsilon_d = T / n \cdot P \cdot z$$

f - Condition de no écrasement du béton (CCBA 68 . art 30.62)

$$r \geq 0,1 \cdot \phi \frac{\sigma_a}{\sigma_{b_0}} (1 + \phi/d_1) \cdot \gamma .$$

r : rayon de courbure de la barre de diamètre ϕ .

d_1 : distance du centre de courbure de la barre à la paroi la plus voisine .

$\gamma = 1$ barre isolée .

$\gamma = 5/3$ 2 lits .

$\gamma = 7/3$ 3 lits ou plus .

g - Condition aux appuis (CCBA 68)

L'effort tranchant a pour effet de créer des efforts de compression dans des biellettes de béton incliné à 45° .

La contrainte dans la biellette de $\sigma'_b = 2T / b_0 \cdot c$

$$\sigma'_b < \sigma_b \Rightarrow c \geq 2 T / b_0 \cdot \bar{\sigma}' b_0$$

h - Conditions sur les armatures inférieures (CCBA 68 . art 35.32)

Les armatures de traction inférieures doivent être ancrées au-delà de l'appui pour équilibrer un effort égal à $T + M/z$.

A. $\bar{\sigma}_a > T + M/z$

Bloc T.G.M			Long			Trans		
Niv	(*)	section	travée	appui	tr.int	Travée	appui	tr. int
II	SP ₁	M	3,276	3,298	2,18	3,306	3,318	2,18
		H	0,0451	0,0454	0,03	0,0455	0,0457	0,03
		E	0,9104	0,9101	0,9254	0,9101	0,9098	0,9254
		K	40,8	40,6	52	40,6	40,4	52
		A	0,2686	-	0,2239	0,2695	-	0,2239
		x.h	9,6	-	8	9,7	-	8
		A	3,59	3,6	1,6	3,6	3,62	1,6
I	SP ₂	M	5,125	8,37		5,54	9,27	
		H	0,0471	0,0769		0,0509	0,0851	
		E	0,9084	0,8871		0,9075	0,8823	
		K	30,6	29,3		37,9	27,5	
		A	0,2747	-		0,2835	-	
		x.h	10	-		10,2	-	
		A	3,7	6,		4	6,95	
		A adopté	5 T 16 (10,05 cm ²)					
II	SP ₁	M	4,206	4,55	2,96	4,356	4,72	3,06
		H	0,0579	0,0627	0,0408	0,06	0,065	0,0422
		E	0,9	0,8965	0,9141	0,8984	0,895	0,9006
		K	3,5	33,3	43,2	34,2	32,6	35,3
		A	0,3	-	0,2575	0,3048	-	0,2982
		x.h	10,8	-	9,3	11	-	10,7
		A	4,63	5	3,2	4,8	5,23	3,4
I	SP ₂	M	6,45	13,54		6,02	10,22	
		H	0,0592	0,1244		0,0552	0,0939	
		E	0,899	0,8627		0,902	0,8774	
		K	34,5	21,4		36	25,8	
		A	0,303	-		0,2841	-	
		x.h	10,9	-		10,6	-	
		A	4,7	10,4		4,41	7,7	
		A adopté	3T16 + 3T14 (10,65cm ²)					

FERRAILLAGE DES POUTRES

; b = 30 cm

h = 36 cm

Bloc C.S		Portique	Long			Trans	
Niv	()		Section	Travée	Appui	Tra int	b = 40 ; h = 54
II	SP ₁	M	1,496	1,496	0,98	13,798	2,342
		X	0,0206	0,0206	0,0135	0,0634	0,0107
		E	0,9371	0,9371	0,9483	0,8960	0,9537
		K	64,5	64,5	82,7	33,1	93
		X	-	-	-	0,3119	-
		X·h	-	-	-	16,8	-
		A	1,58	1,58	1	10,2	1,6
I	SP ₂	M	3,905	7,733		16,44	6,8
		X	0,0359	0,071		0,0503	0,269
		E	0,9188	0,8908		0,906	0,9288
		K	46,6	30,8		38,2	55,25
		X	-	-		0,2820	-
		X·h	-	-		15,2	-
		A	2,8	5,8		8	4,2
		A adopté	5 T 16	(10,05 cm ²)		10 T 16	
II	SP ₁	M	2,312	2,544	1,672	18,818	5,452
		X	0,0318	0,035	0,023	0,864	0,025
		E	0,9231	0,9199	0,9338	0,8815	0,931
		K	50	47,4	60,5	27,2	57,5
		X	-	-	-	0,3555	-
		X·h	-	-	-	19,2	-
		A	2,48	2,74	1,8	14,1	3,9
I	SP ₂	M	4,565	12,557		19,52	14,51
		X	0,0419	0,1153		0,0576	0,0444
		E	0,9132	0,8667		0,9002	0,9111
		K	42,6	22,5		35,1	41,2
		X	-	-		0,2994	-
		X·h	-	-		16,17	-
		A	3,3	9,6		9,56	7
		A adopté	3 T 16 + 3 T 14			10 T 16	

FERRAILLAGE DES POUTRES

VERIFICATION DE LA FISSURATION

Portique	Niveau	ϕ_{max}	Bf	A	ω_f	σ_1	σ_2
C.S Long	II	16	240	10,05	0,418	4427	2261
	I	16	240	10,65	0,444	4584	2261
C.S Trans	II	16	480	20,10	0,420	4435	2261
	I	16	480	20,10	0,420	4435	2261
TGM Long	II	16	240	10,05	0,418	4427	2261
	I	16	240	10,65	0,444	4584	2261
TGM Trans	II	16	240	10,05	0,418	4427	2261
	I	16	240	10,65	0,444	4584	2261

VERIFICATION DES CONTRAINTES

Porti	Niv	Sect	M	A	ω	K	σ_a	σ_b	ϵ
CS long	II	tra.	3,905	10,05	0,930	21,85	1249	57,2	0,8643
		ap.	7,733	10,05	0,930	21,85	2473	113,2	0,8643
	I	tra.	4,565	10,65	0,986	21,1	1382	65,5	0,8616
		ap.	12,557	10,65	0,986	21,1	3801	180,1	0,8616
CS tran	II	tra.	13,798	20,10	0,930	21,9	1471	67	0,8644
		ap.	8,8	20,10	0,930	21,9	938	43	0,8644
	I	tra.	18,818	20,10	0,930	21,9	2006	91,6	0,8644
		ap.	14,51	20,10	0,930	21,9	1547	70,6	0,8644
TGM LO	II	tra.	5,125	10,05	0,930	21,85	1640	75	0,8643
		ap.	8,37	10,05	0,930	21,85	2677	122,5	0,8643
	I	tra.	6,45	10,65	0,986	21,1	1953	92,6	0,8616
		ap.	13,45	10,65	0,986	21,1	4072	193	0,8616
TGM Tr	II	tra.	5,43	10,05	0,930	21,85	1737	79,5	0,8643
		ap.	9,27	10,05	0,930	21,85	2965	135,7	0,8643
	I	tra.	4,356	10,65	0,986	21,1	1319	62,5	0,8616
		ap.	10,22	10,65	0,986	21,1	3094	146,6	0,8616

CONDITION DE NON FRAGILITE

$$A > 0,69 \cdot \bar{\sigma}_b \cdot b \cdot h / \sigma_{en}$$

$$\text{TGM et CS}_{\text{long}} \quad A \geq 1 \text{ cm}^2$$

$$\text{CS}_{\text{trans}} \quad A > 2,1 \text{ cm}^2$$

Vérifiées

VERIFICATION DE LA FLECHE

$$- h_t/l > 1/16$$

C.S : Long; $0,1 > 0,062$; Trans; $0,1 > 0,062$

TGM : Long; $0,1 > 0,062$; Trans; $0,1 > 0,062$

$$- A < (43/\sigma_{en}) \cdot b \cdot h$$

$$CS . Trans. \quad A < (43/4200) \cdot 40 \cdot 54 = 22,1$$

$$CS_L \text{ et TGM } \quad A < (43/4200) \cdot 30 \cdot 36 = 11,06 \quad \text{Vérifiées}$$

La vérification au flèche est unitile.

CALCUL DES ARMATURES TRANSVERSALES

Bloc Portique	Niv	T_{max}	ζ_b	A_t	σ_{at}	t	\bar{t}	$t_{adopté}$
C.S Long.	II I	7,027 10,453	7,43 11,06	2,01 2,01	3612 3325,5	32,6 20,1	22,4 15,7	20 13
C.S Trans.	II I	11,324 17,048	6,00 9,00	2,51 2,51	3725,4 3488,1	25,9 24,3	37,5 29,3	25 20
T.G.M Long.	II I	8,37 13,54	8,86 14,33	2,01 2,01	3499,5 3066	26,4 14,25	19,8 99,8	16 9
T.G.M Trans.	II I	9,27 12,59	9,81 13,32	2,01 2,01	3424,5 3147	23,4 15,75	18 11,6	16 10

DISPOSITION PRATIQUE DES CADRES

Le premier plan d'armature transversal sera placé à $t/2$ de l'appui ; pour les écartements suivants on adopte la suite de CAQUOT.

ARMATURES INFÉRIEURES

$$A \cdot \sigma_a > T + M/z$$

$T + M/z < 0$ dans tous les cas, M étant pris avec son signe.

Les armatures inférieures sont ancrées totalement au-delà de l'appui, et peuvent équilibrer un effort admissible égal à

$$T + M/z .$$

VERIFICATION DE NON ENTRAINEMENT

BLOC	Portique	Niveau	T _{max}	C _d	\bar{C}_d
C.S	Long.	II	7,027	8,87	26,55
		I	10,453	11,7	26,55
	Trans.	II	11,324	4,7	17,7
		I	17,048	7,13	17,7
T.G.M	Long.	II	8,37	10,56	26,55
		I	13,54	15,2	26,55
	Trans.	II	9,27	11,7	26,55
		I	12,59	14,1	26,55

VERIFICATION DE L'EFFORT TRANCHANT

BLOC	Portique	Niveau	T	b	c	$2T/b \sigma b_0$
C.S	Long.	II	7,027	30	15	45
		I	10,453	30	15	10,17
	Trans.	II	11,324	40	20	8,26
		I	17,048	40	20	12,44
T.G.M	Long.	II	8,37	30	15	8,14
		I	13,54	30	15	13,17
	Trans.	II	9,27	30	15	9
		I	12,59	30	15	12,2

--- FERRAILLAGES DES POTEAUX ---

- Par simplification, on ne fait pas état, dans les calculs, des efforts tranchants dans les poteaux ; (CCBA 68 . art 15)
- Les poteaux sont sollicités en flexion composée, chaque poteau étant soumis à un effort normal N et un moment M en tête et à la base dans les deux sens longitudinal et transversal .
- Le calcul des armatures se fait au moyen d'abaques qui permettent de déterminer les armatures de manière que $(A+A')$ soit minimale .

- SOLICITATIONS CONSIDERÉES

1^o genre : le cas le plus défavorable : $G + P + V$
 $G + 1,2 P$.

2^o genre : le cas le plus défavorable :

$$\begin{array}{lll} N_{\max} & ; & M_{\max} \\ N_{\text{cor}} & ; & M_{\text{cor}} \end{array} \quad \begin{array}{lll} M_{\min} \\ N_{\text{cor}} \end{array}$$

SECTION ENTIÈREMENT COMPRIMÉE

Une section rectangulaire est entièrement comprimée si l'effort normal est un effort de compression et :

$$e_0 = M_G / N < I_{xx} / B' \cdot V'$$

$$e_0 = M_G / N < h_t / 6$$

La section doit être armée symétriquement .

Le béton est fortement comprimé ; On prend $\bar{\sigma}' b = \bar{\sigma} b$

$$\rho = N / \bar{\sigma}' b \cdot b \cdot h_t , \quad e = M_G / N , \quad \gamma = b \cdot e \cdot \rho / h_t$$

$$\varepsilon = 12 \cdot (0,5 - \delta'_t)^2 , \quad \delta'_t = d / h_t , \quad c = (1 - \rho - \gamma) / \varepsilon$$

$$D = 0,5(1 - \rho + c + \rho / \varepsilon)$$

$$\bar{\sigma}' b = N / (b \cdot h_t + 2 \cdot n \cdot A') + (M_G / I) \cdot (h_t / 2)$$

$$u^2 + 2 \cdot D \cdot U + C = 0 \quad ; \quad U = -D + \sqrt{D^2 - C} \quad ; \quad A' = U \cdot b \cdot h_t / 2$$

SECTION PARTIELLEMENT COMPRIMÉE

Une section rectangulaire soumise à la flexion composée est partiellement comprimée si l'effort normal de compression est appliqué en dehors du noyau central de la section homogène .

$$e_0 = M / N > h_t / 6$$

a) Section sans armatures comprimées

On calcul les armatures A d'une section soumise à la flexion simple sous l'effet d'un moment fictif égal au moment des forces extérieures agissant à gauche de la section par rapport de centre de gravité des armatures tendues

$$A = A_1 - N/\sigma_a$$

b) Section avec armatures comprimées

Si $K < \bar{K} = \bar{\sigma}'a/\bar{\sigma}'b$: On aura besoin d'armatures comprimées.

$$\mu'_1 = M_{at}/\sigma'b \cdot b \cdot h^2, \mu'_2 = M_{ac}/\sigma'b \cdot b \cdot h^2, \delta = d'/h$$

$$\omega' = (n/15) \cdot 100 \cdot A'/bh, \omega = (n/15) \cdot 100 \cdot A/bh$$

M_{ac} : Moment des forces extérieures agissant à gauche de la section par rapport au centre de gravité des armatures comprimées.

M_{at} : Moment des même forces par rapport au centre de gravité des armatures tendues.

Pour avoir une somme $A+A'$ minimale on calcule K et on détermine ω et ω' ; à partir de l'abaque celle de P.CHARRON

$$\omega' = f(K, \mu'_1) \text{ et } \omega = f(K, \mu'_2)$$

de ω' on calcule A' et de ω on calcule A telque

$$A' = (15/n) \cdot \omega' \cdot bh/100; A = (15/n) \cdot \omega \cdot bh/100$$

CAS DE COMPRESSION SIMPLE

Le volume relatif des armatures longitudinales (ω') doit satisfaire la condition suivante :

$$\omega'_e \geq (1,25/1000) \cdot \theta_1 \cdot \theta_2 \cdot \theta_3 \cdot \sigma'_m / \bar{\sigma}'_{b_0} .$$

Poteau d'angle : $\theta_1 = 1,8$

Poteau de rive : $\theta_1 = 1,4$

Potcau centrale : $\theta_1 = 1$

$$\theta_2 = 1 + 1/(4a - 2c)$$

l : longueur de flambement.

a : la plus petite dimension du poteau.

c : enrobage des armatures longitudinales.

$$\theta_3 = 1 + 2160/\sigma_{en}$$

σ_{en} : limite d'élasticité minimale des aciers longs

σ'_m : contrainte moyenne de compression calculée sur la section du béton seul.

La section des armatures longitudinales sera égale à la plus grande des deux valeurs

$$A' = (N' - B'\bar{\sigma}'_{b_0}) / n \cdot \bar{\sigma}'_b ; A'_m = (1,25/1000) \cdot \theta_1 \cdot \theta_2 \cdot \theta_3 \cdot N' / \sigma'_b$$

$$B' = a \cdot b ; \sigma'_b = \bar{\sigma}'_b \text{ (en general)}$$

- CONTRAINTE ADMISSIBLE EN FLEXION COMPOSÉE
(CCBA 68 . art 9.4)

- Sous SP₁ : $\sigma'_b = \alpha \cdot \beta \cdot \gamma \cdot \delta \cdot \epsilon \cdot \sigma'_{28}$

avec

$$\alpha = 1 \text{ ciment SNMC .}$$

$$\beta = 5/6 \text{ Béton non contrôlé .}$$

$$\gamma = 1 \text{ coefficient qui tient compte de gravier .}$$

$$\delta = \min (0,6 ; 0,3(1 + e_0/3e_1))$$

$$\epsilon = 1 \text{ section de forme rectangulaire .}$$

$$\sigma'_{28} = 270 \text{ bars/cm}^2$$

- Sous SP₂ : σ_b sera multiplié par 1,5 .

- POURCENTAGE MINIMALE DES ARMATURES

- En compression simple : définie précédemment .

- En flexion composée :

a) section entièrement comprimée

$$A'_1 \geq (1,25/1000) \cdot \theta_1 \cdot \theta_2 \cdot \theta_3 \cdot \left(\frac{N}{b_0}\right) \cdot B$$

$$\sigma'_{m1} = N/B$$

$$A'_1 \geq (1,25/1000) \cdot \theta_1 \cdot \theta_2 \cdot \theta_3 \cdot \left(\frac{N}{b_0}\right)$$

B : section du béton seul

b) section partiellement comprimée

$$B = b \cdot y$$

$$y = h \cdot \frac{b}{b} \left(\frac{b}{b} + a/m \right)$$

$$\sigma'_{my} = N/b \cdot y$$

- VERIFICATION AU FLAMBEMENT (CCBA 68 . art 53.3 et 33)

$$l_c = 0,7 l_o$$

$$2^{\circ} \text{ niveau} : l_c = 0,7 \cdot 3,3 = 2,31 \text{ m}$$

$$1^{\circ} \text{ niveau} : l_c = 0,7 \cdot 3,84 = 2,69 \text{ m}$$

$$\lambda = l/i$$

En flexion composée, l'élancement ne doit pas dépasser 35 .

$$i : \text{rayon de giration} ; i = \sqrt{I/B} = \sqrt{h^2/12} = 7,79 \text{ cm}$$

$$2^{\circ} \text{ niveau} \quad \lambda = (2,31 / 7,79) \cdot 100 = 28,98 < 35$$

$$1^{\circ} \text{ niveau} \quad \lambda = (2,69 / 7,79) \cdot 100 = 34,53 < 35$$

Il n'y a pas de risque de flambement

- CALCUL DES ARMATURES TRANSVERSALES

Le pourcentage minimal des armatures transversales doit satisfaire la condition suivante :

en zone nodale (C.T.C) $w_t > 0,3 \%$ en zone II

- ESPACEMENT DES ARMATURES TRANSVERSALES
(CCBA 68 : 32 - 3.2 - 3.3)

a) Zone courante

$$t = \min \left\{ \begin{array}{l} t_1 = (100 \phi_t - 15 \phi_{l \text{ min}}) \cdot (2 - \sigma_b / \bar{\sigma}_b) \\ t_2 = 15 \cdot (2 - \sigma_b / \bar{\sigma}_b) \cdot \phi_{l \text{ min}} \end{array} \right.$$

$\bar{\sigma}_b$ = contrainte moyenne du béton .

ϕ_t : diamètre des armatures transversales .

$\phi_t \leq 0,3 \phi_{l \text{ max}} \quad (t \leq \phi_{l \text{ min}})$

ϕ_l : diamètre des armatures longitudinales .

b) Zone de recouvrement

Le nombre de cours à disposer sur le recouvrement de deux barres longitudinales soit satisfaire la condition suivante :

$$\begin{aligned} - v &\geq 3 \\ - v &\geq 0,4 \cdot (\phi_{l \text{ max}}^2 / \phi_t^2) \cdot \sigma_{\text{enl}} / \sigma_{\text{ent}} \end{aligned}$$

Recommandation du C.T.C

L'espacement des armatures transversales doit être déterminé comme suit :

- Dans la zone nodale y compris la hauteur du nœud :

Zone II : $t \leq \min (10 \phi_l ; 15 \text{ cm})$

- Dans la zone courante

Zone II : $t \leq 12 \phi_l$

La valeur de ϕ_l est celle du plus petit diamètre dans le cas d'emploi de diamètre différent pour les acier longitudinaux .

--- FERRAILLAGE DES POTEAUX ---

1) Bloc C.S

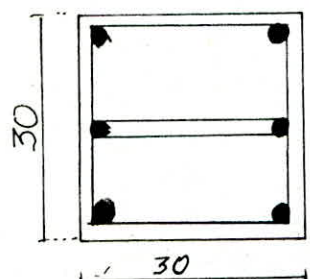
a/ Poteaux Long.

Niveau	II-I			I-O		
	Poteau	1	2	1	SP1	SP2
(*)	SP1	SP2	SP2	SP1	SP2	SP2
M	1,063	6,803	8,96	0,626	11,14	13,92
N	2,476	6,046	3,631	6,78	15,706	10,954
e _o	42,9	112,5	246,8	9,2	70,9	127
e	5	5	5	5	5	5
R _b	137	205,5	205,5	110,5	205,5	205,5
Mat	1,360	7,53	9,396	1,44	13,025	15,234
μ	0,035	0,1291	0,161	0,037	0,2233	0,2612
E	0,9199	0,8607	0,8485	0,9178	0,8291	0,8197
K	47,4	20,9	18	45,8	14,25	12,7
\bar{K}	19,46	19,46	19,64	24,13	19,46	19,46
M _{ac}			8,52		9,25	12,6
μ_1			0,209		0,2898	0,3390
μ_2			0,1896		0,2058	0,2803
K			24		23	25,5
w'			0,42		1,18	1,8
w			0,9		1,1	1,24
A ₁	2,05	8,1		2,18		
A	1,12	6,6	7,3	0	8,9	10
A'			3,4		9,6	14,6
A _{adopté}	3 T 25			3 T 25		

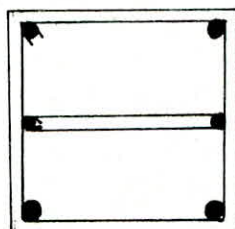
b/ Poteau Trans.

Niveau	II-I		I-O	
Poteau	1		1	
(*)	SP1	SP2	SP1	SP2
M	2,564	8,8	2,838	8,56
N	11,324	15,56	28,372	36,35
e _o	22,6	56,5	10,2	23,5
e	5	5	5	5
σ' b	137	205,5	115,1	205,5
M _{at}	3,923	10,667	6,29	12,922
M	0,1009	0,1829	0,1618	0,2216
S	0,8737	0,8411	0,8480	0,8297
K	24,6	16,45	17,9	14,35
K̄	19,46	19,46	23,17	19,46
M _{ac}		6,933	-0,517	4,198
M		0,2373	0,2499	0,2875
M ₂		0,1543	-0,0205	0,0934
K		21	9	16
w'		0,62	0,02	0,8
w		0,82	0,2	0,68
A ₁	6,24			
A	1,92	6,6	1,6	5,5
A'		5	0,2	6,5
A adopté	2 T 25		2 T 25	

Niveau II-I



Niveau I-O



2) Bloc T.G.M

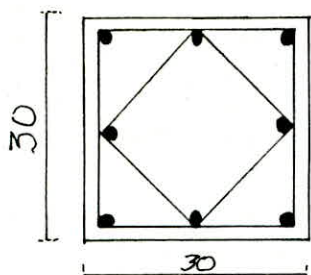
a/ Poteaux long.

Niveau	II-I			I-O		
	Poteau		1	2	1	2
(*)	SP1	SP2	SP2	SP1	SP2	SP2
M	1,512	5,874	8,9	1,024	11,33	14,17
N	5,306	9,05	9,37	12,752	21,35	22,95
e _o	28,5	64,9	95	8	53	61,7
e	5	5	5	5	5	5
σ _b	137	205,5	205,5	105,0	205,5	205,5
M _{at}	2,149	6,96	10,02	2,55	13,892	16,924
κ	0,0552	0,1193	0,1719	0,0657	0,2302	0,2902
ε	0,902	0,8649	0,8445	0,8944	0,8252	0,8130
K	36	22	17,2	32,4	13,6	11,8
Κ	19,46	19,46	19,46	25,4	19,46	19,46
M _{ac}			7,776		8,768	11,507
κ'			0,2229		0,3091	0,3765
κ ₂ '			0,173		0,1951	0,2560
K			22,5		22	23,5
ω'			0,46		1,34	2,04
ω			0,86		1,18	1,22
A ₁	3,31	7,45		3,96		
A	1,32	5,2	7	0	9,6	9,9
A'			3,73		10,8	16,5
A _{adopté}	3 T 20			2 T 32 + 1 T 16		

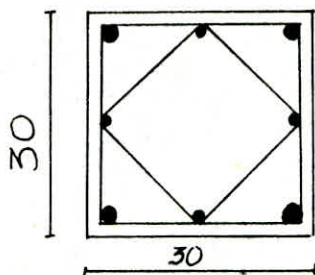
b/ Poteaux Trans.

Niveau	II-I			I-O		
Poteau	1		2	1		2
(*)	SP1	SP2	SP2	SP1	SP2	SP2
M	1,542	6,73	10	1,044	11,96	15
N	5,336	9,6	9	13,042	20,85	23,36
e _o	28,9	70,1	111,1	8	57,4	64,2
e	5	5	5	5	5	5
¶' b	137	205,5	205,5	105	205,5	205,5
M _{at}	2,182	7,882	11,08	2,609	14,462	17,8
¶'	0,0561	0,1351	0,190	0,0671	0,248	0,3053
ε	0,9013	0,6584	0,8387	0,8934	0,8227	0,8102
K	35,8	20,3	16	31,9	15,2	11,3
¶	19,46	19,46	19,46	25,4	19,46	19,46
M _{ac}			8,92		9,458	12,197
¶'			0,2465		0,3218	0,396
¶'			0,1985		0,2104	0,2714
K			24		22,5	23
ω'			0,8		1,44	2,16
ω			0,96		1,04	1,32
A ₁	3,36	8,5		4,05		
A	1,36	6,1	7,8	0	8,4	10,7
A'			6,5		11,7	17,5
A adopté	3 T 20			2 T 32 + 1 T 16		

Niveau II-I



Niveau I-O



Chapitre III

B L O C :

- S A L L E P O L Y V A L E N T E (S.P)

--- SALLE POLYVALENTE ---

A - DESCRIPTION : Capacité 200 places, on s'en sert pour plusieurs activités culturelles, sa surface est (12.16) m^2 hauteur 11 m le système de contreventement est en voiles : Une forme tubulaire en caisson, forme idéal résistante aux effets dynamiques .

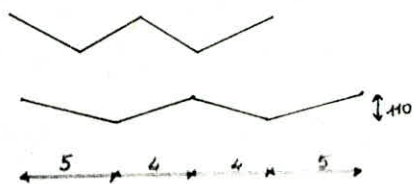
La toiture en forme W sera portée par deux portiques, notre système de contreventement allège au maximum les portiques .

Le balcon de notre salle a pour capacité 60 places surface est (12.4) m^2 sera porté par 1 portique, l'existence d'un culasse est forte nécessaire afin de diminuer la traction au niveau des fondations

Une étude exacte de l'évacuation pluviale et des méthodes de réalisation seront exigées .

B - TOITURE notre toiture est en forme

Dont la conception dépend de plusieurs facteurs, nous avons écarté le type assimilé au plancher champignon (déconseillé dans les zones sismiques) .



B-1 DIFFÉRENTES CONCEPTIONS

(nous citons quelques)

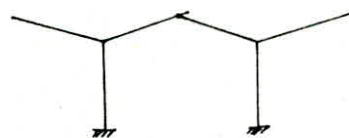
1- Toiture en dalles sur poutres appuyées



1.a : A noeud .

1.b : A articulation .

2- Toiture portée par portique



2.a : A noeud .

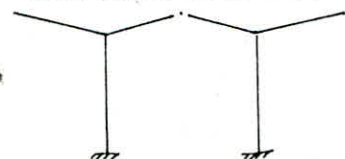
2.b : A articulation .

3- Toiture en dalles sur trois portiques transversaux



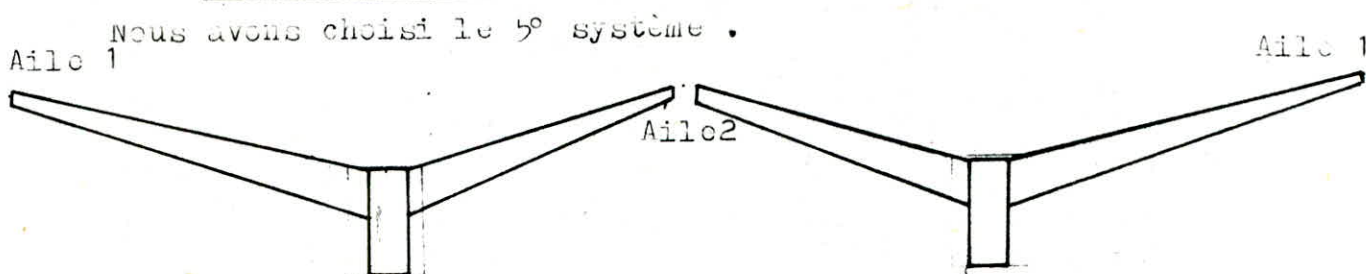
4- Toiture en coque

5- Toiture en consoles encastrées dans 2 portiques transversaux .



B-2 CHOIX DU MODÈLE DE CONSTRUCTION DE LA TOITURE

Nous avons choisi le 5^e système .



Alors nous tenons à calculer notre toiture comme un ensemble de 2 V séparés par un joint, les ailes sont soumises à la flexion composée chacune d'elles est supposée encastrée dans la poutre afin d'avoir un noeud rigide et sera calculée comme une poutre à inertie variable, $b = 100 \text{ cm}$.

- Leur dimensionnement se fait en se basant sur le critère de déformation.

- La torsion aux noeuds sera prise en considération, lors du calcul de la traverse.

- L'évacuation pluviale est étudiée (voir dessin) avec soin pour ne pas favoriser la flèche.

- Le vent n'a pas été pris en compte (faible hauteur + masque).

- Les effets sismiques sur la toiture ont été pris en considération.

- Le faux plafond sera appuyé sur la toiture et les traverses (des boulons scellés dans les traverses).

B-2-1 Critère de déformation

Les formules approchées de dimensionnement ($h > \sqrt{M/P_c I_b b}$) aboutissent à des faibles hauteurs qui ne vérifient pas le critère admissible de la flèche.

- Nous prévoyons alors des ailes à inertie variable,

- La flèche de l'aile encastrée sera déterminée à partir de l'expression de la courbure en tenant compte du retrait et du fluage sous charges de longue durée et de la mise en jeu de l'adhérence béton-acier entre 2 fissures consécutives.

- La courbure de déformation sera considérée par l'égalité

$$1/r = (\varepsilon_b + \varepsilon_a)/h = d\alpha/dx$$

- ε_b : Racourcissement relatif du béton sur la fibre extrême comprimée.

- ε_a : Allongement relatif de l'acier le plus éloigné de l'axe neutre.

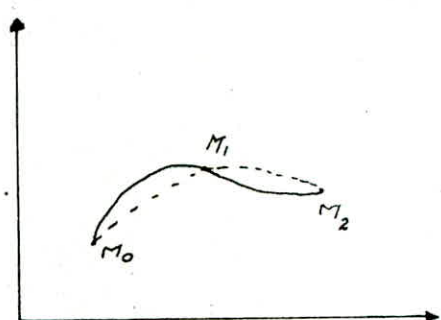
- $1/r = d\alpha/dx$: rotation angulaire de la fibre moyenne.

- Les méthodes de la R.D.M sont vraiment laborieuses nous utilisons alors les formules d'interpolation de SIMPSON, en assimilant notre courbure $1/r$ à une parabole.

$$\int_{x_0}^{x_1} y dx = (a/3) \cdot (1,25y_0 + 2y_1 - 0,25y_2)$$

$$\int_{x_0}^{x_2} y dx = (a/3) \cdot (-0,25y_0 + 2y_1 + 1,25y_2)$$

$$\int_{x_1}^{x_2} y dx = (a/3) \cdot (y_0 + 4y_1 + y_2)$$



a) Calcul de ϵ_b'

- Surcharges : $\epsilon_{bs}' = \sigma_{bs}/E_i$; $E_i = 21000 \sqrt{\sigma_j} = 378000 \text{ kg/cm}^2$
avec $\sigma_j = 1,2 \sigma_{28}' = 324 \text{ kg/cm}^2$
- Charges permanentes : ϵ_{bg}' est une fonction du retrait et du fluage ;
 $E_v = 7000 \sqrt{\sigma_j} = 126000 \text{ kg/cm}^2$
 $\epsilon_r = 3 \cdot 10^{-4}$ (retrait)
 $\epsilon_{bg}' = 3 \cdot 10^{-4}$; $b_g = 126000 \text{ kg/cm}^2$
 $\epsilon_{bg}' = b_g / 126000$ autres cas

b) Calcul de ϵ_a

- Surcharges : $\epsilon_{as} = \sigma_{as}/E_a$; $E_a = 2,1 \cdot 10^6 \text{ kg/cm}^2$
- Charges permanentes : $\epsilon_{ag} = (1/E_a) \cdot (\sigma_{ag} - \sigma_j / 2 \tilde{\omega}_f)$
avec $\sigma_j = 1,2 \sigma_{28}' = 28,2$

c) Flèches admissibles

$$\text{Aile A}_1 \quad f_a = 0,5 + 490/500 = 1,48 \text{ cm}$$

$$\text{Aile A}_2 \quad f_a = 1,28 \text{ cm}$$

B.2.2 - CALCUL DE LA TOITURE

B221 Grande aile : (épaisseur 60 cm à l'encastrement,
12 cm au bout)

a) Charges et surcharges

- 120 kg/ml
- faux plafond 25 kg/ml
- poids propre (section 60 cm : 12 cm)
- acrotère au bout 70 kg (concentré)
- étanchéité (système adhérent) 0,8 kg/ml
- surcharge d'exploitation 175 kg/ml

NOTA • $S_{IV} = 0,6 \cdot (G + P)$; (PS 69 art 3,311) la combinaison la plus défavorable est $G + P + S_{IV}$.

- On prévoit une contre flèche de 1,336 cm.



0	2	4	6	8	Section	0'	2'	4'	6'	6''	4''	2''	0''	Section	0''	2''	4''	6''	8''
0	0,086	0,33	0,74	1,33	F:G	0	0,0577	0,266	0,617	0,617	0,266	0,0577	0	F:G	0	0,085	0,33	0,74	1,33
0	0,016	0,069	0,166	0,296	F:P	0	0,0133	0,052	0,117	0,117	0,052	0,0133	0	F:P	0	0,016	0,060	0,160	0,296
0	0,086	0,33	0,74	1,33	C F	0	0,0577	0,266	0,617	0,617	0,266	0,0577	0	C F	0	0,085	0,33	0,74	1,33

b) Tableau

	Section à	0(m)	1,2(m)	2,4 (m)	3,6 (m)	4,8(m)
G	h_t (cm)	60	48,24	36,48	24,72	12,96
	h (cm)	57	45,24	33,48	21,72	10,96
	M (tm)	24,62	13,06	5,36	2,42	0,017
	N (t)	2,55	1,94	1,23	0,66	0,2
	A	6 T 12 4 T 20	4 T 12 4 T 20	4 T 12 2 T 20	4 T 12 2 T 20	4 T 12
	$\sigma^t b$ (kg/cm ²)	62,17	47,56	40,3	23,24	0,85
	σ_f^t (kg/cm ²)	2922,8	2654,2	2473	2473	3193
	σ_a^t (kg/cm ²)	2362,8	1712,2	1691,3	976	16,02
	y (cm)	16,2	13,02	8,39	5,68	5,18
	$I \cdot 10^5$ cm ⁴	6,24	3,39	1,23	0,48	0,07
P	M_g (tm)	12,83	6,7	2,8	0,71	0,01
	$\sigma_{b_g}^t$ (kg/cm ²)	33,3	26,12	19,16	8,44	0,74
	$\sigma_{a_g}^t$ (kg/cm ²)	1253,3	956,6	859,8	357,4	12,4
	10^4 bg	3	3	3	3	3
	$\sigma_j / 2 \tilde{\omega}_j$	437,88	496,5	783,3	783,5	1248
	$10^4 \sigma_{a_g}$	3,9	2,19	0,36	0	0
	$10^7 \cdot 1/r$	121,05	114,72	100,36	138,12	274
	$\alpha = \text{rotation}$ (C.P.)	0	0,0014	0,00027	0,004	0,006
	flèche (C.P.)	0	0,086	0,33	0,74	1,33
P	M_s (tm)	2,56	1,45	0,66	0,17	0,0097
	$\sigma_{b_s}^t$ (kg/cm ²)	6,64	5,64	4,5	2,02	0,7
	$\sigma_{a_s}^t$ (kg/cm ²)	251,1	205,6	201,9	101,6	12
	flèche (S.E)	0	0,016	0,069	0,166	0,296

G : Charges permanentes .

P : Surcharges d'exploitations .

c) Détail de calcul de la flèche :

c-1 Sous charges permanentes

- Rotation

$$\alpha_0 = 0$$

$$\alpha_1 = (120/3) \cdot (1,25 \cdot 121,05 + 2 \cdot 114,7 - 0,25 \cdot 100,66) \cdot 10^{-7}$$

$$= 0,00142$$

$$\alpha_2 = (120/3) \cdot (121,05 + 4 \cdot 114,72 + 100,36) \cdot 10^{-7}$$

$$= 0,0027$$

$$\alpha_3 = 0,0027 + 10(120/3) \cdot (1,25 \cdot 100,36 + 2 \cdot 138,1 - 0,25 \cdot 273,72)$$

$$= 0,004$$

$$\alpha_4 = (120/3) \cdot (121,05 + 4 \cdot 114,72 + 2 \cdot 100,36 + 4 \cdot 138,1 + 273,72) \cdot 10^{-7} = 0,0064$$

- Flèche

$$f_0 = 0$$

$$f_1 = (120/3) \cdot (0 + 2 \cdot 0,00142 - 0,25 \cdot 0,0027)$$

$$= 0,086 \text{ cm}$$

$$f_2 = (120/3) \cdot (0 + 4 \cdot 0,00142 + 0,0027)$$

$$= 0,33 \text{ cm}$$

$$f_3 = 0,33 + (120/3) \cdot (1,25 + 0,0027 + 2 \cdot 0,004 - 0,25 \cdot 0,0064)$$

$$= 0,74 \text{ cm}$$

$$f_4 = (120/3) \cdot (0 + 4 \cdot 0,00142 + 2 \cdot 0,0027 + 4 \cdot 0,004 + 0,0064)$$

$$= 1,33 \text{ cm}$$

c-2 Sous surcharges d'exploitations (même marche à suivre)

$$\alpha_0 = 0 ; f_0 = 0$$

$$\alpha_1 = 0,00028 ; f_1 = 0,016 \text{ cm}$$

$$\alpha_2 = 0,00062 ; f_2 = 0,069 \text{ cm}$$

$$\alpha_3 = 0,00097 ; f_3 = 0,166 \text{ cm}$$

$$\alpha_4 = 0,0016 ; f_4 = 0,296 \text{ cm}$$

d) Vérifications

d-1 Contraintes tangentielles:

$$\sigma_b < \sigma_{b_0} \Rightarrow \bar{\sigma}_b = 3,5 \bar{\tau}_b = 31 \text{ kg/cm}^2$$

$$\bar{\sigma}_b = T/bz \text{ avec } T \text{ (encastrement)} = 11,97t, z = 49,86 \text{ cm}$$

$$\bar{\sigma}_b = 2,5 \text{ kg/cm}^2 \Rightarrow \bar{\sigma}_b < \bar{\sigma}_b$$

d-2 Calcul des Armatures transversales :

Les armatures sont formées de 10T12 soudée ,
Pour l'espacement nous dressons le tableau suivant :

Section	0	1,2	2,4	3,6	4,8
T(t)	11,97	8,16	4,91	2,24	0,15
A _t	10 T 12 soudé	8T12 soudé	6T12 soudé	4T12 soudé	4T12 soudé
Z _b	2,4	2,06	1,67	1,17	0,156
t _{adopté}	20	15	12	10	5

d-3 Non entraînement des armatures

$$\bar{Z}_d = 2\psi_d \cdot \bar{\sigma}_b = 26,55 \text{ kg/cm}^2 ; \quad Z_d = (T/z \cdot p_{u,i}) \cdot (A_i / A) \\ Z_d = 6,2 \text{ kg/cm}^2 \Rightarrow Z_d < \bar{Z}_d .$$

d-4 Conditions aux appuis c_o = largeur de la bielle du béton nécessaire pour transmettre les efforts de la poutre ou poteau
 $c_o = 2T / b \cdot \bar{\sigma}'_{b_o} = 3,85 \text{ cm} < c = 34 \text{ cm}$

avec c la distance de l'appui au point où commence l'ancrage .

d-5 Condition de non écrasement du béton :

$$r \geq 0,1 \varnothing \cdot (\sigma_a / \bar{\sigma}'_{b_o}) \cdot (1 + \varnothing/d) \cdot = 13 \text{ cm} \quad (\text{armatures tendues})$$

$$r \geq 5 \quad (\text{armatures comprimées})$$

d-6 Ancrage par courbure: l = x_l_d - x_r

$$\underline{\text{d-61 Armatures tendues}} \quad l_d = \varnothing \sigma_a / 4 \bar{Z}_d = 84 \text{ cm Soit } 100 \text{ cm}$$

$$\Theta = 5 \cdot \pi / 12, \quad l = 0,59 \cdot 100 - 1,02 \cdot 13 = 46,1 \text{ cm}$$

$$L = 4 + (5 \cdot \pi / 12) \cdot 12,67 + 46,5 = 67,21 \text{ soit } 70 \text{ cm} .$$

$$\underline{\text{d-62 Armatures comprimées}} \quad \Theta = 3 \pi / 4, \quad l = 12,5 \text{ cm}$$

$$L = 38 \text{ cm}$$

d-63 Les vérifications à la non fragilité , fissuration contraintes sont vérifiées (Tableau)

B-222 Petite Aile

Pour la petite Aile nous adoptons le même ferrailage que la grande , la flèche est vérifiée ainsi que les autres contraintes admissibles sont vérifiées .

C - SEISME , TORSION

C-1 Masses soumises au séisme:

Niveau 9,5 m - Charges permanentes :

Toiture + Poutres + Voiles + Poteaux
 $G = 304 \text{ t}$

- Charges d'exploitations : $P = 40 \text{ t}$

$$W = G + P = 344 \text{ t}$$

Niveau 5,24 m

- Charges permanentes : $G = 261 \text{ t}$

- Charges d'exploitations : $P = 42,4 \text{ t}$

$$W = G + P = 323,4 \text{ t}$$

C-2 Coefficients sismiques : étude statique , les efforts sont appliqués aux niveaux des planchers de chaque niveau, nos données vérifient les hypothèses de la méthode "statique équivalent" (P.S 69 , art 3,111-1

- Période : $T = 0,08 \cdot (H/L) \cdot \sqrt{H/(L+H)}$, (Voiles)

$$T_1 = 0,029 \text{ s} ; T_L = 0,042 \text{ s}$$

- $\alpha = 1,5$ moyenne sismosité , ouvrage important .

$$- \beta = 0,085 \sqrt[3]{T} \quad \rho_{l,L} = 0,13$$

$$- \gamma(h) = h \cdot \sum z \cdot M(z) / \sum z^2 \cdot M(z)$$

$$\gamma(9,5) = 1,165 ; \gamma(5,24) = 0,65$$

- $\delta = 1,15$ semelle superfcicilles , terrain consistance moyenne .

C-2-1 Coefficients sismiques (direction horizontale)

$$(\text{à } 9,5 \text{ m}) \quad \sigma_{Hl,L} = 0,261 \quad ; \quad \sigma'_{Hl,L} = 0,143 \quad (\text{à } 5,24 \text{ m})$$

C-2-2 Coefcients sismiques (direction verticales)

$$\sigma_{V9,5} = 0,213 \quad ; \quad \sigma'_{V5,24} = 0,116$$

C-3 Evaluation des forces sismiques verticales

Niveau	9,5 m		5,24 m		
Portique	W(t)	S _{IV}	W(t)	S _{IV}	S _{IV}
Long.(C.Proj)	39	8,19	138,5	15,2	Voile V ₁ 59,4
Trans. ----	16	3,36	45	4,95	Voile V ₃ 35,43
Portant la toiture	330,6	69,4	330,6	69,4	

C-4 Evaluation des forces sismiques horizontales

C-4-1 Torsion : Le rapport des dimensions horizontales est inférieure à 2,5 alors nous admettons l'excéntricité minimale de C.T.C (c = 5 % de la plus grande Portée)

Nous n'exposons pas les détails du calcul (même principe que précédemment)

C-4-2 Somme des efforts horizontaux (Seisme + Torsion)

Niveau	9,54 m		5,24 m	
Voiles	S _{IH} (t)	F _{Hcumulée} (t)	S _{IH} (t)	F _{H cumulée} (t)
Long V ₁	24,21	24,21	47,69	71,9
Trans V ₃	23,74	23,74	46,76	70,5

D - CALCUL DES VOILES

D-1 Voiles longitudinales

a) Charges verticales : G = 7,12 t/ml , P = 0,71 t/ml
 $S_{IV} = 3,72 \text{ t/ml}$

b) Charges horizontales : forces due au seisme

$$H_{9,54} = 24,21 \text{ t} ; H_{5,24} = 47,7 \text{ t}$$

c) Moment de flexion : M = $\sum H_i \cdot h_i = 24,21 \cdot 9,54 + 47,7 \cdot 5,24 = 481 \text{ tm}$

d) Calcul des efforts: SP2 : N = 184,5 t , M = 481 tm

$$\sigma_{1,2} = N/S \pm M.y/I = 184,5 \cdot 10^3 / 30 \cdot 1600 \pm \frac{481 \cdot 10^5 \cdot 12 \cdot 800}{30 \cdot 1600^3} = 7,64 \text{ kg/cm}^2 \text{ et } - 0,08 \text{ kg/cm}^2$$

IL n'est pas tolérable qu'un voile travaille à la traction
Par conséquent, la partie tendue sera ferraillée convenablement
sachant que

- La traction est admissible ($\sigma_b = 0,97 \text{ kg/cm}^2$)

- Le voile est fortement raidi avec les poteaux du
fait du monolithisme du béton .

e) Armatures longitudinales: (Méthode de P.CHARRON)

$$e_o = M/N = 260,7 \text{ cm}, e_1 = h_t/6 = 266,67 \text{ cm}, e_o < e_1$$

section entièrement comprimée ; $\sigma'_b = 149 \text{ kg/cm}^2$
 $d = 80 \text{ cm}, h = 1520 \text{ cm}, A_{\min} = 240 \text{ cm}^2$ (C.T.C)

Alors on adopte dans le sens vertical deux lits opposés de
5 T 14 par mètre , espacés de 20 cm

f) Armatures transversales: $T = 71,9 \text{ t}, \bar{T} = 1,5 \text{ T} = 107,85 \text{ t}$

$$\zeta_b = 1,1 \bar{T}/b.h = 2,46 \text{ kg/cm}^2 < 0,025 \sigma'_{28} = 6,75 \text{ kg/cm}^2$$

$$A_t = 0,15 b.h/100 = 0,15 \cdot 30 \cdot 1520/100 = 68,4 \text{ cm}^2$$

$$\text{soit } 10 \text{ T 10 / ml } = 7,85 \text{ cm}^2$$

D-2 Voiles transversales:

a) Charges verticales: $G = 7,12 \text{ t/m}; P = 0,7 \text{ t/m}; S_{IV} = 2,95 \text{ t/ml}$

b) Charges horizontales : forces dues au séisme et à la torsion :

$$H_{9,54} = 23,74 \text{ t} ; H_{5,24} = 46,76 \text{ t}$$

c) Moment de flexion : $M = 2H_i \cdot h_i = 471,5 \text{ t.m}$

d) Calcul des efforts: $SP2 ; N = 129,24 \text{ t} ; M = 471,5 \text{ t.m}$

$$\sigma_{1,2} = N/S \pm M.y/I = (10,13 ; -2,95) \text{ kg/cm}^2$$

voile partiellement comprimée .

e) Armatures longitudinales: $e_o = M/N = 364,82 \text{ cm}, e_1 = 200 \text{ cm}$

$e_o < h_t/2$; $\sigma'_b = 137,0 \text{ kg/cm}^2$, $h = 1150 \text{ cm}, A_{\min} = 180 \text{ cm}^2$
 soit 2 lits opposées 5 T 14 par mètre, espacées de 20 cm .

f) Armatures transversales : $T = 70,5 \text{ t}, \bar{T} = 105,75 \text{ t}$

$$\zeta_b = 1,1 \bar{T}/b.h = 3,7 \text{ kg/cm}^2 < 0,025 \sigma'_{28} = 6,75 \text{ kg/cm}^2$$

$$A_t = 0,15 b.h/100 = 51,75 \text{ cm}^2, \text{ Soit } 10 \text{ T 10 par mètre}$$

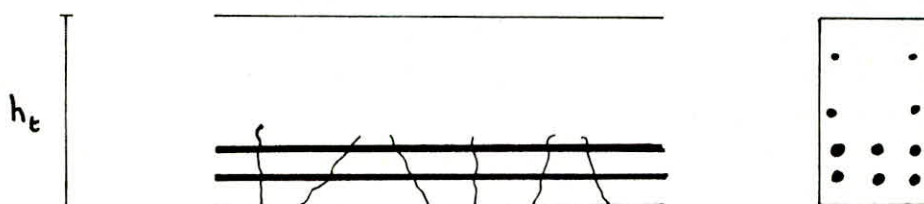
E-1 GENERALITES

E - PORTIQUE PORTANT LA TOITURE

La toiture de la salle est portée par un portique ($h = 8,94\text{m}$) ($l = 12\text{m}$), les poteaux ont pour dimension (50-50)cm , la traverse (50-140) . Les charges sont transmises de la toiture ainsi que des machines de climatisation .

- La jonction Aile, portique doit être bien étudié, de telle façon que les barres filantes des Ailes soient bien scellés la traverse .

- La hauteur de la traverse (140 cm) exige la disposition des armatures de peau sur toute la zone tendue: Le béton se trouve soumis au-dessus du faisceau d'armatures tendues à des efforts complexes de cisaillement et de traction .



Il est résulte des contraintes obliques qui provoquent la concentration de plusieurs fissures du tirant en une fissure unique , les pièces fléchies qui peuvent présenter une fissuration de ce type peuvent être définies comme celles pour lesquelle on a

$$\eta^2 \cdot m \cdot h_t / b_0 = 40$$

η^2 : coefficient de fissuration .

m : nombre des barres tendues .

b_0 : épaisseur de l'âme .

Dans notre cas nous implantons les armatures de peau sur toute la hauteur de la section à fin de résister aux moments de torsion accidentel . (CCBA 68 - art 81-82-83-84)

NOTA : - Pour le calcul des efforts : C'est par la méthode de KLINLOCEL simplifiée .

- Ferrailage est vérifiée : même méthode que précédemment

- Nous tenons à signaler que notre portique est encastré

E-2 CALCULS

a) Calcul des efforts:

a-1 -Charges et surcharges:

Poids propre de la traverse 1,75 t/ml , poids de la toiture 11,18 t/ml , charge d'exploitation 1,92 t/ml , effort sismique vertical : 5,78 t/ml , la combinaison la plus défavorable est

$$G + 1,2 P = 15,234 \text{ t/ml}$$

a-2 - Eléments de réduction:

l = la portée de la traverse .

h : la hauteur des poteaux .

I_t : moment d'inertie de la traverse .

I_p : moment d'inertie des poteaux .

$$K = (I_t / I_p) \cdot h/l$$

$$H_A = H_D = ql^2 / 4h(2+K)$$

$$M_A = M_D = ql^2 / 12(2 + K)$$

$$M_B = M_C = -ql^2 / 6(2 + K)$$

$$M_t = (ql^2 / 24)(2+3K) / (2+K)$$

M_t : Moment en traversée

$$I_t = 11433333,33 \text{ cm}^4$$

$$I_p = 520833,33 \text{ cm}^4$$

$$K = 16,35$$

$$H_A = H_D = 3341,4 \text{ kg} ; M_A = M_D = 9959,67 \text{ kg.m}$$

$$V_A = V_D = 97410 \text{ kg} ; N_B = 95200 \text{ kg}$$

b) Ferrailage de la traverse /

- Mode de sollicitation : Flexion composée.

b-1 Travée : $M_t = 254220,65 \text{ kg.m}$, $N = 3341,4 \text{ kg}$
section partiellement comprimée ; $\bar{\sigma}_b' = 137 \text{ kg/cm}^2$

$$A' = 6 \text{ HA } 25 = 29,45 \text{ cm}^2 ; A = 12 \text{ HA } 32 = 96,5 \text{ cm}^2$$

b-2 Aux appuis : $M_a = 19919,35 \text{ kg.m}$, $N = 3341,4 \text{ kg}$

Section partiellement comprimée :

$$A' = 3 \text{ HA } 32 = 24,125 \text{ cm}^2 ; A = 6 \text{ HA } 25 = 29,45 \text{ cm}^2$$

b-3 Vérifications des contraintes : $\bar{\sigma}_b' = 137 \text{ kg/cm}^2$; $\sigma_a = 2670 \text{ kg/cm}^2$

$$\sigma_a' = 2670 \text{ kg/cm}^2$$

b-3-1 Travée $\bar{\sigma}_b' = 125,8 \text{ kg/cm}^2$; $\sigma_a = 2280 \text{ kg/cm}^2$; $\sigma_a' = 1696 \text{ kg/cm}^2$

b-3-2 appuis $\bar{\sigma}_b' = 15,9 \text{ kg/cm}^2$; $\sigma_a = 300 \text{ kg/cm}^2$; $\sigma_a' = 200 \text{ kg/cm}^2$

b-4 Vérification à la fissuration :

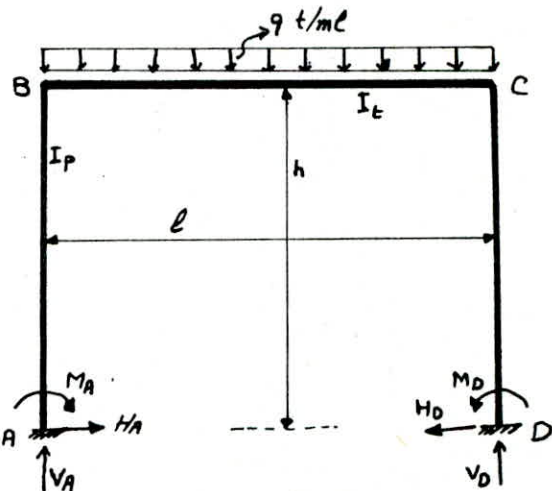
$$\sigma_f = 3200 \text{ kg/cm}^2 > \bar{\sigma}_a = 2670 \text{ kg/cm}^2$$

b-5 NON fragilité $A > A_{\min}$; $A > 0,69 \text{ b.h} \bar{\sigma}_b / \text{Cen} = 10,17 \text{ cm}^2$

b-6 Non entraînement : $\bar{\epsilon}_d = 2\psi_d \bar{\sigma}_b = 2 \cdot 1,5 \cdot 5,9 = 17,7 \text{ kg/cm}^2$

$$T_{\max} = 91,38 \text{ t} ; \bar{\epsilon}_d = T/n.p.z = 91,38 \cdot 10^3 / 6 \cdot 7,85 \cdot 116,375$$

$$\bar{\epsilon}_d = 16,67 \text{ kg/cm}^2 < \bar{\epsilon}_d$$



b-7 Vérification à la flèche

$A/b.h > 43/\sigma_a$ en , une justification de flèche est nécessaire (CCBA 68 - art 61,2)

Pour charge permanente

$$M_g = 20577256,77 \text{ kg.cm} , \sigma_a = 2286 \text{ kg/cm}^2 ; \lambda = 0,47 ; f' = 0,76$$

$$I_f = 13932136,25 \text{ cm}^4 ; f_0 = Ml^2/10EI = 1,52 \text{ cm}$$

Pour charge d'exploitation

$$M_p = 3204006,86 \text{ kg.cm} ; \sigma_a = 288,11 \text{ kg/cm}^2 ; \lambda = 1,18 ; f' = 0,12$$

$$I_f = 16616960,86 \text{ cm}^4 ; f_0 = 0,073 \text{ cm}$$

$$f_t = 1,52 + 0,073 = 1,59 \text{ cm} , \bar{f} = 1,25 \text{ cm}$$

NOTA : $I_f = I_t / (1 + \lambda f')$; $\lambda = \bar{\sigma}_b / 72(2 + 3b_0/b)$ -
(charge de courte durée)

$$\lambda = \bar{\sigma}_b / 180(2 + 3b_0/b) \bar{\omega} \quad (\text{charges permanentes})$$

$$f' = 1 - 5 \bar{\sigma}_b / (4 \bar{\omega} \sigma_a + 3 \bar{\sigma}_b) , (\sigma_a \text{ courte durée} ; \sigma_a \text{ charge permanente})$$

$$f_0 = Ml^2/10 E_i \cdot I_i , f_{00} = Ml^2/10 E_v \cdot I_v$$

$$E_i = 126000 \text{ kg/cm}^2 ; E_v = 378000 \text{ kg/cm}^2$$

b-8 Armatures transversales

$$\bar{c}_b = T/b.z = 91,38 \cdot 10^3 / 50 \cdot 116,375 = 15,704 \text{ kg/cm}^2$$

$$\bar{c}_b = (4,5 - 33,16/68,5) \cdot 5,9 = 23,7 \text{ kg/cm}^2$$

$$c_b < \bar{c}_b ; t = \max \left\{ \begin{array}{l} 133(1 - 0,5 \cdot 15,7/5,9) = 26,82 \text{ cm} \\ 0,2 \cdot 133 = 25 \text{ cm} \end{array} \right.$$

$$A_t = 4 T 14 = 6,14 \text{ cm}^2$$

d'après le C.T.C , zone courante $t = 25 \text{ cm}$;
zone nodale $t = 15 \text{ cm}$

b-9 Vérification aux appuis

$$T + M/z = 74263,48 \text{ kg} ; A \cdot \sigma_a = 82460$$

A. $\sigma_a > T + M/Z$ Vérifiée

b-10 Longueur de scellement

b-10-1 Longueur de scellement droit

- lit supérieur $l_d = 128,67 \text{ cm}$

- lit inférieur $l_d' = 85 \text{ cm}$

b -10-2 ANCrage courbe

$$1) l_d = 130 \text{ cm} , \Theta = 2\pi/3$$

$$l = x l_d - x'_r = 0,43 \cdot 130 - 1,42 \cdot 20 = 30 \text{ cm}$$

$$L = 102 \text{ cm}$$

$$2) l'_d = 85 \text{ cm} , \Theta = 2\pi/3$$

$$l = 20 \text{ cm} , L = 85 \text{ cm}$$

b - 11 Armatures de répartition

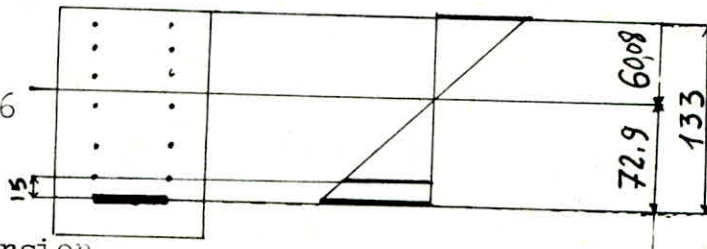
D'après la 1^e paragraphe de l'étude du portique nous prévoyons des armatures de peau. Soit 2 HA 14 tous les 20 cm.

$$\frac{l^2 \cdot m \cdot h_t}{b} / b = 1,6^2 \cdot 12 \cdot 140 / 50 = 86,02 > 40$$

$$\tilde{\omega}_f = 10,77 / 50 \cdot 140 = 0,00154 ; \sigma_f = 2413,7 \text{ kg/cm}^2$$

Contrainte au niveau de la nappe inférieure du tirant

$$\sigma_a = (72,9 - 15) / 72,9 \cdot 2286 \\ = 1840,88 \text{ kg/cm}^2 < 2413$$



b - 12 Vérification à la torsion

D'après C-I (CCBA 68, art 81-82), les armatures de peau favorisent la résistances nous avons un moments de torsion de 5,02 t.m

$$\zeta_{bm} = K \cdot M_t / a^2 b = 3,77 \cdot 5,02 / 50 \cdot 50 \cdot 140 = 5,4 \text{ kg/cm}^2$$

alors nous avons besoin de $6,104 \text{ cm}^2$ (armatures long) et $6,104 \text{ cm}^2$ armatures transversales, alors les armatures de peau résistent largement à ce moment.

$$A_p = 14 \text{ T } 14 = 21,56 \text{ cm}^2$$

C - FERRAILLAGE DU FILIER

- Mode de sollicitation : Flexion composée.

C-1 Partie inférieure $M = 995967 \text{ kg.cm} ; N = 97400 \text{ kg}$

$$e_0 = 18,4 \text{ cm} , e_1 = 8,33 \text{ cm} , e_0 < h_t / 2 ; \bar{\sigma}'_b = (1 + 2e_0 / h_t) \cdot \bar{\sigma}'_{b0}$$

$$\bar{\sigma}'_{b0} = 118,9 \text{ kg/cm}^2 , \text{ section entièrement comprimée, armée symétriquement} , A'_1 = A'_2 = 4 \text{ T } 25 = 19,63 \text{ cm}^2$$

C-2 Partie supérieure $M = 1991935 \text{ kg.cm} ; N = 95200 \text{ kg}$

$$\bar{\sigma}'_b = 125,85 \text{ (même principe que la partie inférieure)}$$

Section entièrement comprimée, armatures comprimée symétriques,

$$A'_1 = A'_2 = 4 \text{ T } 25 = 19,63 \text{ cm}^2 /$$

C-3 Vérifications des contraintes

C-3-1 Partie inférieure $\sigma'_{b1} = 57,5 \text{ kg/cm}^2$

$$\sigma'_{b2} = 6 \text{ kg/cm}^2 , \sigma'_a = 862,5 \text{ kg/cm}^2$$

C-3-2 Partie supérieure :

$$\sigma'_{b1} = 82,7 \text{ kg/cm}^2 ; \sigma'_{b2} = 0 \text{ kg/cm}^2 : \sigma'_a = 1240,5 \text{ kg/cm}^2$$

C-4 Pourcentage minimale des armatures

$$w_1 = (1,25/1000) \cdot \theta_1 \cdot \theta_2 \cdot \theta_3 \cdot \sigma'_m / \bar{\sigma}'_{b0} = 1,5 \cdot 10^{-5} \text{ (Vérifiée)}$$

C-5 Vérification au flambement (CCBA 68 . art 33,22)

$$\lambda = l_c / i = 40,1 \quad 35 ; f_{1c} = 8,17 \text{ cm}$$

$$\Rightarrow e_o = e + f_{1c} = 18,4 \text{ cm}$$

C-6 Vérification à l'effort tranchant

- Section supérieure $T + M/z < 0$

- Section inférieure $T + M/Z < 0$

aucune vérification n'est nécessaire en ce qui concerne la section sur appui et l'ancrage des armatures inférieures.

C-7 Armatures transversales

$$\bar{\sigma}_b = T/bz = 3341,4/50 \cdot 43,75 = 1,53 \text{ kg/cm}^2 \quad b$$

$$A_t = 4 T 12 = 4,52 \text{ cm}^2, t = 165,7 \text{ cm}$$

zone nodale $t = 15 \text{ cm}$; zone courante $t = 25 \text{ cm}$

Pourcentage minimale $\rho_t = 0,3$, $A_t / b \cdot t = 0,361 > \rho_t$

recouvrement $l_r = 125 \text{ cm}$

Le nombre de cours d'armatures à disposer sur la zone de recouvrement $\bar{v} \geq 4$, soit 5 cours.

C-8 Non entraînement

$$\bar{\sigma}_d = 17,7 \text{ kg/cm}^2 ; \bar{\sigma}_d = 3341,4/5 \cdot 7,85 \cdot 43,75 = 1,95 \text{ kg/cm}^2$$

C-9 Longueur de scellement $l_d = 98,87 \text{ cm}$

- Pour la partie inférieure du pilier, les armatures sont descendues suffisamment dans la fondation.

- Pour la partie supérieure: Un retour d'équerre n'est pas indispensable, on pourra en amorcer un pour faciliter la mise en place des barres de la traverse

REMARQUE : Sous SP2 toutes les contraintes sont largement vérifiées

F- BALCON :

F- 1 Généralités

Le balcon a pour dimension (12m. 4m), sera constituée par dalles reposantes sur des consoles et sur un portique (voir partie G)

Pour le dimensionnement de la poutre console portant du balcon nous procémons selon la même méthode déjà utilisé pour la toiture, la poutre adoptée a pour dimension: à l'encastrement (80cm . 30cm) , au bout (20. 30) cm².

F-2 Calcul

a) Calcul des efforts

a-1 Charges et surcharges : Dalle et revêtement 2,6 t/ml , poids propre: à l'encastrement 0,60t , au milieu 0,375 t, au bout 0,155 t, charges d'exploitation 2,5 t/ml (frappé par coef. dyn 1,25)

$$\text{a-2 Elements de réduction: } q = G + 1,2 P$$

$$M(\text{encastrement}) = 42,8 \text{ t.m} ; M(1/2) = 11,525 \text{ tm} ; M(\text{bout}) = 0 .$$

b) Ferrailage: Mode de sollicitation : Flexion simple .

(Méthode de P. CHARRON) $A = 9 \text{ T.} 20 = 28,27 \text{ cm}^2$ (à l'encastrement)
 $A = 3 \text{ T.} 20 = 9,42 \text{ cm}^2$ (au bout) .

$$\text{b-1 Vérifications des contraintes } \bar{\sigma}_b' = 137 \text{ kg/cm}^2 \\ \sigma_a = 2800 \text{ kg/cm}^2$$

$$\text{A l'encastrement } \bar{\sigma}_b' = 127,5 \text{ kg/cm}^2 ; \sigma_a = 2257 \text{ kg/cm}^2$$

$$\text{Au milieu } \bar{\sigma}_b' = 119,7 \text{ kg/cm}^2 ; \sigma_a = 2669 \text{ kg/cm}^2$$

b-2 Fissuration, non fragilité les conditions sont vérifiées
 (voir précédemment)

$$\text{b-3 Non entraînement: } \bar{\epsilon}_d = 17,7 \text{ kg/cm}^2 , T_{\max} = 24 \text{ t}$$

$$\bar{\epsilon}_d = 6,067 \text{ kg/cm}^2 ; \epsilon_d < \bar{\epsilon}_d$$

b-4 La flèche : (pour toute explication voir B-2-1)

$$\bar{f} = 1,3 \text{ cm} , f_{(\text{encast})} = 0, f_{(1/2)} = 0,13 \text{ cm} , f_{(\text{bout})} = 0,8 \text{ cm} \\ f_{(\text{bout})} < \bar{f}$$

b-5 Armatures transversales: 3 T 12 , t = 15 cm zone nodale
 t = 20 cm zone courante

b-6 Vérification à l'encastrement $T + M/z < 0$

Aucune vérification n'est nécessaire en ce qui concerne la section d'encastrement et l'ancre des armatures inférieures

b-7 Longueur de scellement

$$\bar{\epsilon}_d = 16,6 \text{ kg/cm}^2 ; l_d = 80 \text{ cm} .$$

b-8 Armatures de répartition: Nous prévoyons des armatures de peau (E2- b11) ; $\frac{\gamma \cdot m \cdot h_t}{b} = \frac{1,6^2 \cdot 9 \cdot 80}{30} = 61,44 > 40$
soit 2 T 14 tous les 20 cm

- Dans le lit inférieur nous disposons 3T14 filantes .

G - PORTIQUES DE LA CABINE DE PROJECTION

G - 1 PORTIQUE LONGITUDINAL

(même méthode que précédemment) Nous exposons seulement le ferrailage, toutes les contraintes sont admissibles .

- FERRAILLAGE DES POUTRES

Niveau 7,94 dimension (30-40) cm^2

Travée	1,99 cm^2		Soit 3 T 14 (4,62 cm^2)
Appui	2 cm^2		

Niveau 2,24 dimension (40-50) cm^2

Travée	3,92 cm^2		Soit 6 T 14 (9,23 cm^2)
Appui	3,77 cm^2		

- FERRAILLAGE DES POTEAU dimension (30-30) cm^2

Les poteaux seront ferraillés au minimum

Soit 2 T 20 (6,28 cm^2)

G - 2 PORTIQUE TRANSVERSAL

- FERRAILLAGE DES POUTRES

Niveau 7,94 (30-40) cm^2

Travée	1,1 cm^2		Soit 3 T 14 (4,62 cm^2)
Appui	1,7 cm^2		

Niveau 5,24 (30-80) cm^2

Travée	6,75 cm^2	⇒ soit 3 T 20 (9,42 cm^2)
Appui	A = 24,77 cm^2	⇒ soit 8 T 20 (25,13 cm^2)
	A' = 4 cm^2	⇒ soit 2 T 20 (6,28 cm^2)

- FERRAILLAGE DES POTEAUX dimension (30-30)

Ferraillé au minimum Soit 2 T 20 (6,28 cm^2)

H - TECHNOLOGIE D'EXECUTION

- La conception de la construction de la salle, demande une technologie précise de réalisation .
- La salle sera constituée avant les blocs voisins : l'utilisation des machines de construction : (grue ...) est nécessaire pour l'installation de la toiture : ferraillage réalisé par terre , soulevé par grue \Rightarrow Une étude lors de soulevement sera exigé.
- Nous prévoyons coffrage reposant sur des sapines .
- Nous installons coffrage symétriquement de deux ailes .
- Coulage symétrique de deux ailes (2 équipes qui travaillent)
- Decoufrage symétrique .
- Etude continue des moules .

REMARQUE : On allège au maximum l'effet de fluage en augmentant le pourcentage des aciers de peau .

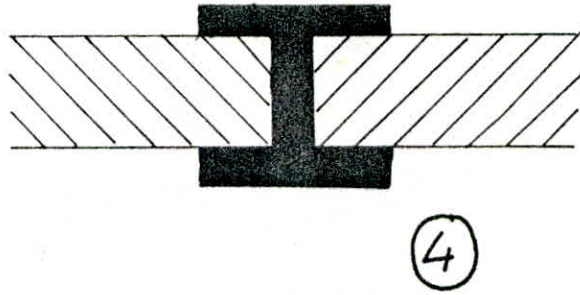
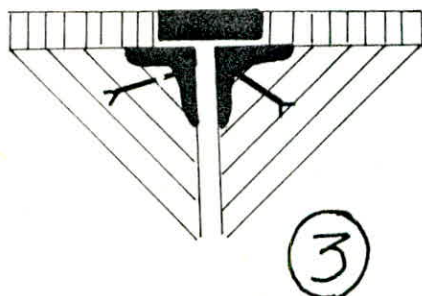
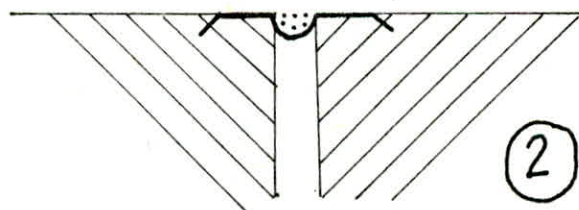
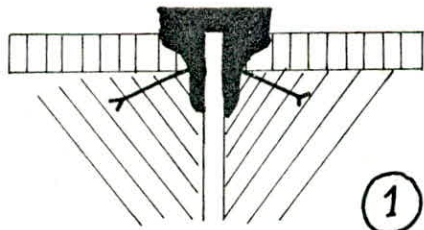
I - EVACUATION PLUVIALE

Il faut examiner avec attention les pentes et les dispositifs d'évacuation de façon que les accumulations éventuelles de l'eau (ou de neige) rentrent dans le cadre des hypothèses de nos calculs

Alors nous prévoyons des pentes transversales, a fin de réduire au maximum les zones de rétention qui ne peuvent être acceptées (Voir fig: évacuation pluviale) .

J - JOINTS DE LA TOITURE

Les joints peuvent être réalisés par l'un des dispositifs suivants .



Les dispositifs (3)&(4) conviennent pour notre construction:
(3): L'étanchéité est complète par une feuille de métal avec matière plastique, mais l'introduction des matériaux métalliques (cuivre) dans les joints d'étanchéité n'est pas sans inconvenients matériaux coûteux pouvant mal supporter, sans rupture, les efforts de cisaillement à la manutention auxquels ils peuvent être soumis fragile au transport, à la manutention et à la mise en place .

On peut y substituer des garnitures en caoutchouc ou en matière plastique (nous utilisons le caoutchouc) .

Pour le caoutchouc : les caractéristiques exigées du caoutchouc à joint sont les suivantes :

- Résistance de rupture en traction : 250 kg/cm² (minimum)
- Allongement de rupture : 500 % (minimum)
- Diminution de ces caractéristiques après essais de durabilité accélérés : 25 %(minimum)
- Dureté : 50 à 70 shore .

NOTA 1: Le caoutchouc adhère mal au béton, la figure suivante précise 2 formes usuelles des bourrelets d'extrémité qui peuvent assurer l'ancrage dans le béton .



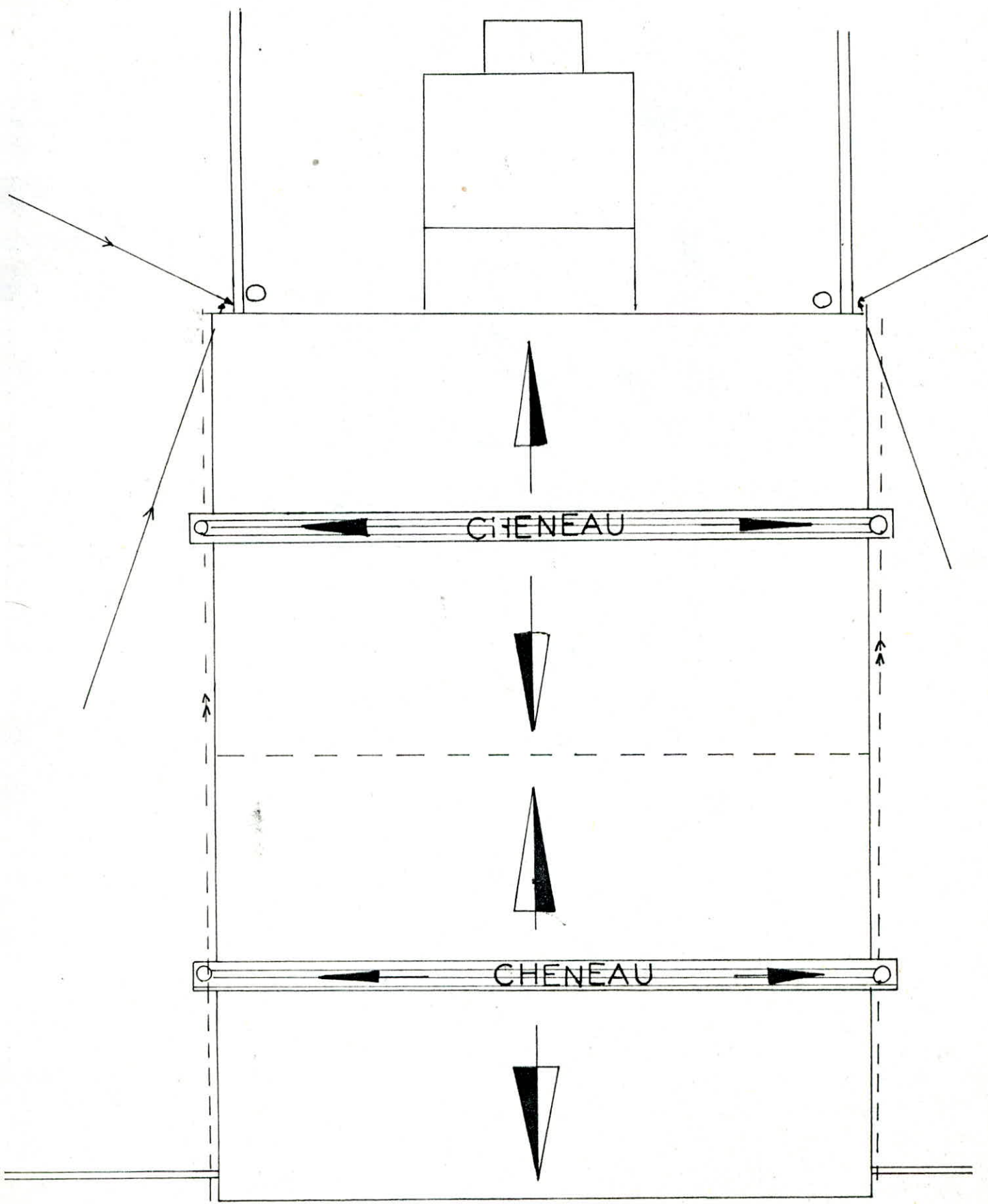
Les jonctions et assemblages se font par colle adhésive ou par soudure vulcanisées .

NOTA 2 : A la place de caoutchouc, nous pouvons utiliser des plastiques : ce sont des chlorures de polyvinyle de caractéristiques inférieures à celles du caoutchouc, mais suffisantes .

NOTA 3 : Le coulage de caoutchouc se fait sur place et sans repos .

(4) : C'est le même principe que le (3) mais il assure une isolation dynamique parfaite, (nous adoptons cette solution) .

- EVACUATION PLUVIALE (E.P)



Chapitre IV

B L O C S :

- H A L L (H : CHARPENTE METALLIQUE)

- L O G E M E N T S (L)

BLOCS : HALL (H) , LOGEMENTS (L)

A- Introduction Ces deux blocs seront étudiés ensemble, puisque la toiture du hall s'appuie sur le bloc (L)

A-1 Description de (H)

- a) Dimensions : 16 m. 54 m , hauteur variable (4,3 : 11,5 m)
Alors sa toiture est inclinée (pente : 45 %)
- b) Il est destiné à garer les voitures et camions de secours .
- c) Il est muni des portes WARNER : Portails lourds, basculants et automatiques pour faciliter la sortie des voitures de secours .
- d) L'éclairage est assurée par rayons solaires à travers de fermes sheds (charpente métallique)
- e) Aucun poteau sera implanté sur toute la section 16.54 .
- f) L'entrée a pour dimensions 8,00 . 10,00, hauteur 9,89 m, sa toiture est constituée de 2 demies fermes américaines (charpente métallique).

A-2 Description de (L)

- a) Dimensions : 12 . 54 m , hauteur variable (7,94 : 12,99m)
Capacité : 600 pompiers .
- b) Dans ce bâtiment : Un grand magasin au R.D.C .
R+1, R+2 : Les logements des pompiers et des sous officiers, une passerelle d'alerte , les secouriers descendent au hall sur des mâts de descente (16 mâts) de diamètre 200 mm et de hauteur(11,40 m).

B- CHOIX DE LA CONCEPTION CONVENABLE

Les plans d'architecture ne respectent pas les normes alors, nous étions obligés à changer le système de contreventement de telle façon ne pas contredire les règlements .

L'architecte propose un système mixte pour (L) voiles dans un sens et portiques dans un autre sens, nous avons adopté un système de contreventement économique (portique), dans les 2 sens .

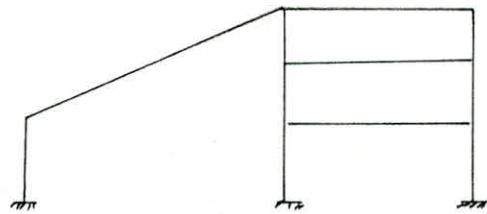
Une étude dynamique pour l'effet sismique est nécessaire (decrochement vertical) . (soit méthode de Railegh)

Pour le hall : En réalité nous avons plusieurs conceptions , à nous de choisir le mode moins risqué et la plus économique .

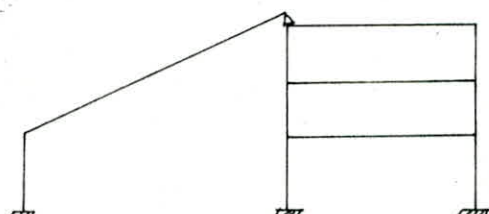
Nous citons quelques conceptions

- 1) - (H) et (L) forment un seul bâtiment, système de contreventement portiques dans les 2 sens (B.A) .

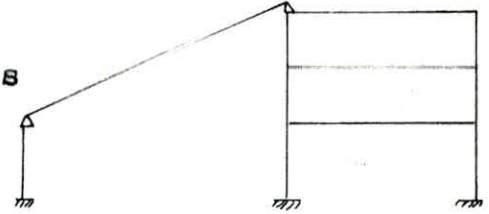
- 2) (H) et (L) forment un seul bâtiment, système de contreventement portiques et voiles (B.A) dans les deux sens .



- 3) (H) encastré en extrémité et appuyée d'un autre (B.A)



- 3') (H) encastrée d'un extrémité et appuyée d'un autre (C.M)



- 4) (H) poutres principales appuyées à ses extrémités (B.A) ou précontrainte .

- 4') (H) poutre principale appuyée à ses extrémités (C.M) ou bois .

- 5) (H) poutre principale en treillis en B.A

Alors et pour des raisons économiques et pratiques nous choisissons le 4' choix : (L) en portiques B.A , (H) toiture charpente métallique appuyée sur les poteaux (portants les portes WARNER) d'un côté et sur des consoles courtes encastrées sur les portiques de (L) de l'autre côté, une étude correcte des appareils d'appui sera exigée

REMARQUE : - Vu le choix du système de contreventement dans (L) nous n'allons pas exposer les calculs puisqu'ils se ressemblent aux blocs (T.G.M et C.S) .

- Nous calculons la toiture de l'entrée(C.M) et celle du hall (C.M) : Dans ce cas nous aurons 3 types des fermes à calculer ; l'entrée, le shed et la poutre pratt .

C - CHARGES ET CALCUL

C-1 Charges et surcharges : Couverture éternit 20 kg/m^2
Plafond en plâtre (3cm) 40 kg/m^2 ; Eclairage 20 kg/m^2 .
Surcharges d'exploitation 100 kg/m^2 ; surcharge due au vent et séisme

C- 2 Etude au vent a) toiture de l'entrée

a-1 Pression dynamique On admet que les pressions dynamiques sont constantes sur toute la hauteur de la construction , elles seront évaluées par l'expression $Q = (48 + 0,6 H) \cdot K_s \cdot K_r$

dont K_r est le coefficient de région ($K_r = 1,4$ pression normale, et $K_r = 2,35$ pression extrême), ($K_s = 1$ coefficient de site) $H = 10 \text{ m}$ $Q_N = 75,6 \text{ kg/m}^2$; $Q_E = 126,9 \text{ kg/m}^2$

a-2 Coefficient de Réduction (δ) Le coefficient est donné en fonction de la plus grande dimension; $L = 10 \text{ m}$, $h = 10 \text{ m}$

$$\delta = 0,83 \quad Q_N = 0,83 \cdot 75,6 = 62,75 \text{ kg/m}^2$$

$$Q_E = 105,3 \text{ kg/m}^2$$

a-3 Action extérieure $\alpha = 11,3^\circ$; $C_e = -0,67$

a-4 Action intérieure $C_i = \pm 0,3$

a-5 Resultante sera calculée en adoptant la combinaison la plus défavorable pour chaque élément des charges extérieures et intérieures moyennes ($C_e - C_i$).Q

$$Q_N = -0,97 \cdot 62,75 = -60,9 \text{ kg/m}^2; Q_E = -0,97 \cdot 105,3 = -102,1 \text{ kg/m}^2$$

b) Toiture du Hall ($h = 12 \text{ m}$)

b-1 Pression dynamique: $Q_N = 75,6 \text{ kg/m}^2$; $Q_E = 126,9 \text{ kg/m}^2$

b-2 Coefficient de Réduction (δ): $L = 17 \text{ m}$, $h = 12 \text{ m}$

$$\delta = 0,83 \quad Q_N = 62,75 \text{ kg/m}^2, Q_E = 105,3 \text{ kg/m}^2$$

b-3 Action extérieure: $\alpha = 20^\circ 33'$, $C_e = -0,5$

b-4 Action intérieure: $C_i = \pm 0,3$ (construction fermée)

b-5 Resultante: $Q_N = 60,5 \text{ kg/m}^2$; $Q_E = 84,24 \text{ kg/m}^2$.

C - 3 Effet du seisme

a) Toiture de l'entrée:

a-1 Coefficient d'intensité $\alpha = 1,5$ (zone II, ouvrage important)

a-2 Coefficient de reponse: $T = 0,09 \cdot H/V_L$

$\beta = 0,105 / \sqrt[4]{T^3}$ amortisseur faible, toiture isolée.

$$T_L = 0,28 \text{ s}, \beta = 0,27; T_L = 0,31 \text{ s}, \beta = 0,25$$

$$\beta_{\max} = 0,2$$

a-3 Coef. de distribution $\gamma = 1$

a-4 Coef. de fondation $\delta = 1,15$ semelle isolée

a-5 Les coef. sismiques $\sigma_H = \alpha \cdot \beta \cdot \gamma \cdot \delta$

$$\sigma_L = \sigma_V = 0,345 \quad \alpha > 1 \Rightarrow \sigma_V = \sigma_H / \sqrt{\alpha} = 0,281$$

a-6 Calcul de la masse soumise au séisme

- charges permanentes : couvertures + poutre = $951,4 + 1435,5 = 1908,4 \text{ kg/ml}$
- Surcharges d'exploitation : 815 kg/ml

$$W = G + P/5 = 2071,4 \text{ kg/ml}$$

- charges revenant à chaque poutre : $1035,7 \text{ kg/ml}$
- Séisme vertical sur chaque poutre : $291,03 \text{ kg/ml}$

b) Toiture du Hall

b-1: $\alpha = 1,5$; b-2 : $\beta = 0,0105/\sqrt{T^3}$, $T_L = 0,29 \text{ s}$, $\beta_L = 0,2 = \beta_1$

b-3: $\gamma = 4/3$; b-4 : $\delta = 1,15$; b-5 : $\sigma_H = 0,46$, $\sigma_V = 0,37$

b-6 Calcul de la masse soumise au séisme

- Charges permanentes couverture + poutre = $1920 + 705,06 \cdot 3 + 508,8 = 4543,98 \text{ kg/ml}$

- surcharge d'exploitation : 2400 kg/ml

$$W = G + P/5 = 5023,98 \text{ kg/ml}$$

- Charges revenant à la poutre du milieu (Plus défavorable) = 2512 kg/ml

- Séisme vertical sur la poutre $929,44 \text{ kg/ml}$

C-4 ETUDE DE LA PANNE

Elles portent la couverture .

a) Toiture de l'entrée (7 pannes)

La panne sera calculée par la combinaison la plus défavorable des charges suivantes :

$$\text{Charges permanentes } C_p = 1,67 \cdot 80,4 + 42,4 = 176,67 \text{ kg/ml}$$

$$\text{Vent normal } V_n = 1,67 \cdot 60,9 = 101,7 \text{ kg/ml}$$

$$\text{Vent extrême } V_e = 1,67 \cdot 102,1 = 177,97 \text{ kg/ml}$$

$$\text{Surcharge d'exploitation } C_e = 1,67 \cdot 100 = 167 \text{ kg/ml}$$

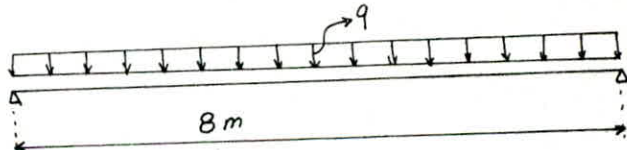
Les pannes seront calculées sous $(4/3) \cdot C_p + (3/2) \cdot C_e$ et seront supposées appuyées, elles sont espacées de $1,67 \text{ m}$

$$q = 4 \cdot C_p / 3 + 3C_e / 2 = 4 \cdot 134,3/3 + 3 \cdot 167/2 = 430 \text{ kg/ml} \text{ (sans le poids propres de la panne)}$$

$$q_x = 430 \cdot \cos \alpha = 421,65 \text{ kg/ml}$$

$$q_y = 430 \cdot \sin \alpha = 84,33 \text{ kg/ml}$$

$$M_x = q_x \cdot l^2 / 8 = 3373,2 \text{ kg.m} ; M_y = q_y \cdot l^2 / 8 = 674,64 \text{ kg.m}$$



Dimensionnement : $M_x / W_x + M_y / W_y < \sigma_{en}$ avec $W_x = 7W_y$
 $W_x \geq (M_x + 7M_y) / \sigma_{en} = (3373,2 + 7 \cdot 674,64) \cdot 100 / 2400 = 337,32 \text{ cm}^3$

IPE 300 $p = 42,4 \text{ kg/ml}$

Vérifications : $q = 471,8 \text{ KG/ml}$; $q_x = 462,6 \text{ kg/ml}$

$q_y = 92,5 \text{ kg/ml}$; $M_x = 3700,8 \text{ kg.m}$; $M_y = 740,0 \text{ kg.m}$

$T = q \cdot l / 2 = 1887,2 \text{ kg}$.

à la résistance : $\sigma = M_x / W_x + M_y / W_y < \sigma_{en}$

$$\sigma = 1583,7 \text{ KG/cm}^2 < 2400 \text{ kg/cm}^2 \text{ (Vérifiée)}$$

à la déformabilité : flèche admissible : $f_a = 800 / 200 = 4 \text{ cm}$

$$f = 5ql^4 / 384 EI ; f_x = 1,4 \text{ cm} , f_y = 3,8 \text{ cm} \text{ (Vérifié)}$$

NOTA : q = somme des charges et surcharges sans pondération
 (CM 66 ; art 3,912)

au déversement :

- Semelle supérieure : ne se déverse pas (la couverture y est posée)
- Semelle inférieure : étude du déversement dû au vent,
 (CM 66 méthode simplifiée art 13,611)

$$L = L - 0,4h C.b/e = 800 - 0,4 \cdot 30 \cdot 1 \cdot 1,132 \cdot 15 / 1,07 = 609,6 \text{ cm}$$

$$\frac{1}{1000} \frac{L h}{C b e} \frac{\sigma_{en}}{24} = \frac{1 \cdot 609,6 \cdot 30 \cdot 24}{1000 \cdot 1,132 \cdot 15 \cdot 1,07 \cdot 24} = 1,0065$$

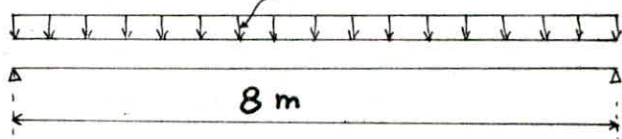
$$K_d = 2 \cdot \frac{1}{1000} \frac{L h}{C b e} \frac{\sigma_{en}}{24} = 2,013$$

calcul de σ_f : $q = V_e - C_p = 177,7 - 176,67 = 1,03 \text{ kg/ml}$

$$M = q \cdot l^2 / 8 = 10,4 \text{ kg.m} ; \sigma_f = 1,86 \text{ kg/cm}^2 ; K_d \cdot \sigma_f = 3,75 < \sigma_{en}$$

pas de risque de déversement

b) Toiture du Hall



$$C_p = 108,83 + 42,4 = 151,25 \text{ kg/ml}$$

$$V_n = 1,35 \cdot 60,5 = 81,6 \text{ kg/ml}$$

$$V_e = 142,8 \text{ kg/ml} ; C_e = 1,35 \cdot 100 = 135 \text{ kg/ml} ; q = 347,6 \text{ kg/ml}$$

Dimensionnement : $f_a = 4 \text{ cm} = 5ql / 384 \cdot EI$ $I_x = 2171 \text{ cm}^4$
 $I_y = 535,2 \text{ cm}^4$

soit IPE 300

Nota : q = somme des charges et surcharges sans pondération
 (CM 66 art 3,912)

Vérification

à la résistance : $\frac{M_x}{W_x} + \frac{M_y}{W_y} = 1482 \text{ kg/cm}^2 + 2400 \text{ kg/cm}^2$

($q_x = 378 \text{ kg/ml}$; $q_y = 94,5 \text{ kg/ml}$; $M_x = 3024 \text{ kNm}$; $M_y = 756 \text{ kNm}$; $T = 1560 \text{ kg}$)

à la déformabilité: $f_a = 4 \text{ cm}$; $f_x = 1,15 \text{ cm}$; $f_y = 3,9 \text{ cm}$

au deversement

- Semelle supérieure : ne deverse pas.

- Semelle inférieure : sous le vent de succion c'est toujours la semelle supérieure

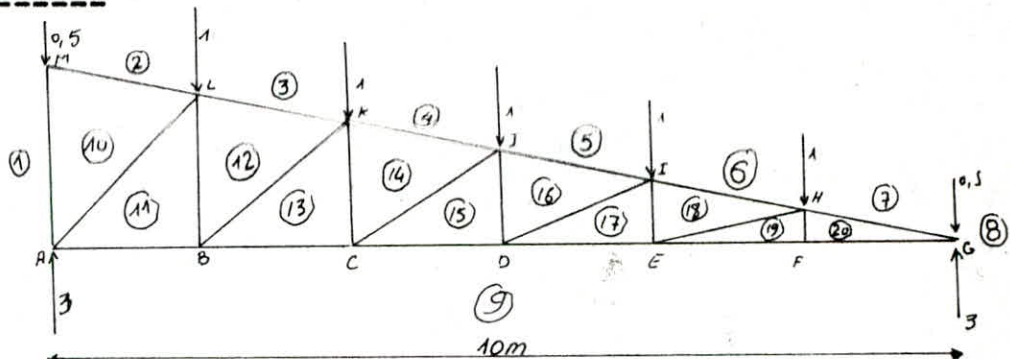
qui est comprimée pas de deversement de la semelle inférieure toujours tendue sous les différents combinaisons des charges.

C-5 ETUDE DES POUTRES, FERMES.

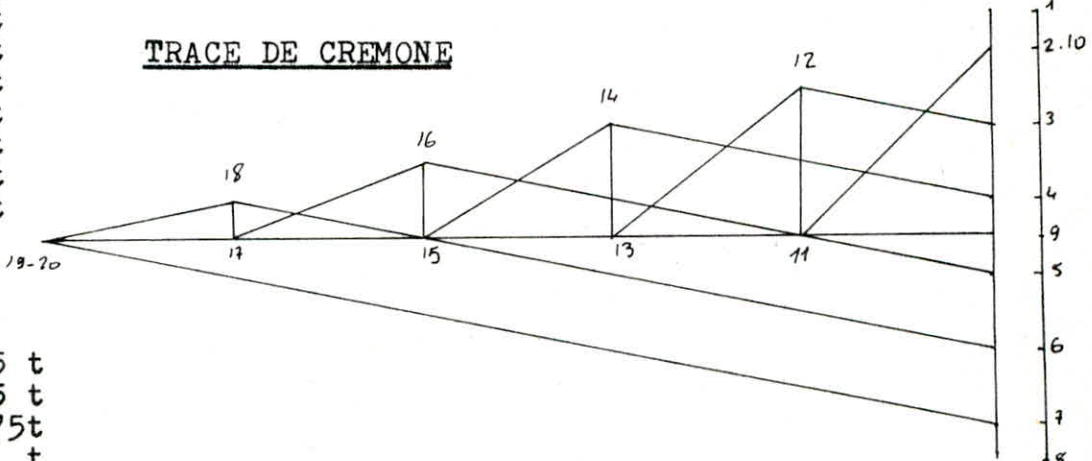
a) Toiture de l'entrée :

a-1 Calcul des efforts :

1-10	= 0,5 t
2-10	= 0 t
11-9	= 2,5 t
10-11	= -3,5 t
11-12	= 2 t
3-12	= -2,5 t
12-13	= -4/3 t
13-9	= 5 t
13-14	= 1,5 t
15-9	= 7,5 t
14-15	= 2,9 t
4-14	= -5,1 t
15-16	= 1 t
5-16	= -7,65 t
16-17	= -2,6 t
17-9	= 10 t
17-18	= 0,5 t
6-18	= -10,2 t
18-19	= -2,5 t



TRACE DE CREMONA



19-9	= 12,5 t
20-9	= 12,5 t
7-20	= -12,75 t
19-20	= 0 t

- Les charges seront transmises par les pannes.

- La détermination des efforts se fait par le diagramme de CREMONA

a-2 Dimensionnement des barres (à partir le critère de l'elancement et de la résistance)

- Membrure supérieure : Le plus sollicité : 7-20 (comprimée)

$$N = 12,75 \cdot 4 \cdot 0,472 = 24,072 \text{ t}.$$

$$A = \frac{N}{\text{en}} = 10,03 \text{ cm}^2 \text{ soit L } 100-100-10; I_x = 167,7 \text{ cm}^4$$

$$A = 19,13 \text{ cm}^2; i_x = \frac{I_x}{A} = 3,037 \text{ cm}; l_x = 167 \text{ cm}$$

$$\lambda_x = \frac{l_x}{i_x} = 55; \lambda_y = 44 \Rightarrow \lambda = 55 \quad K = 1,51$$

$$K.N/A = 1898 \text{ kg/cm}^2 < 2400 \text{ kg/cm}^2$$

- Diagonale : Le plus sollicité : 10-11 ; $N = 6,68 \text{ t}$; $l_x = 236 \text{ cm}$
 $l_y = 190 \text{ cm}$; soit L 70-70-7; $I_x = 42,3 \text{ cm}^4$; $A = 9,4 \text{ cm}^2$
 $\lambda_x = 111,3$; $K = 2,2$; $K.N/A = 1577 \text{ kg/cm}^2 < 2400 \text{ kg/cm}^2$

- Membrure inférieure : Le plus sollicité 19-9 , 20-9

$$N = 23,6 \text{ t}; l_x = 167 \text{ cm}; l_y = 133,6 \text{ cm}; \text{ soit L } 100-100-10$$

$$A = 19,11 \text{ cm}^2; I_x = 178 \text{ cm}^4; \lambda_x = 55; K = 1,51;$$

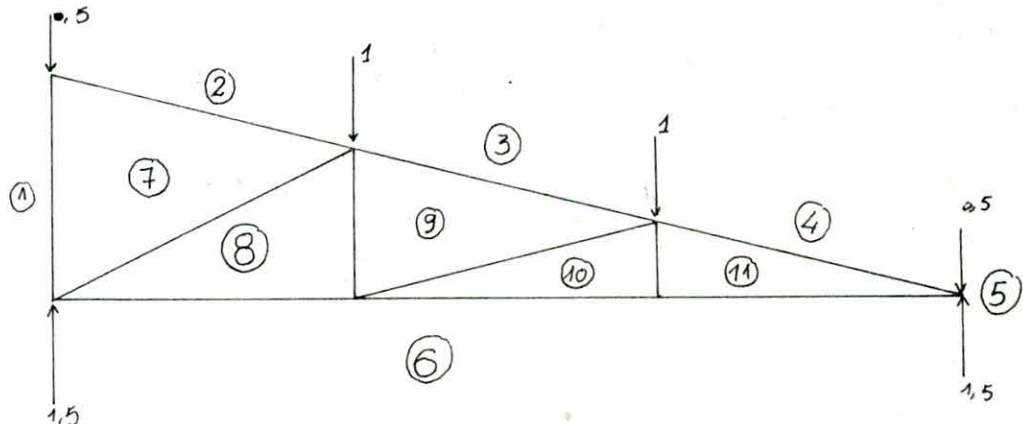
$$K.N/A = 1861 \text{ kg/cm}^2 < 2400 \text{ kg/cm}^2$$

- Montant/ Le plus sollicité 11-12 ; $N = 3,77 \text{ t}$; $l_x = 167 \text{ cm}$
 $l_y = 133,6 \text{ cm}$; soit L 50-50-5 ; $A = 4,78 \text{ cm}^2$; $I_x = 11,15 \text{ cm}^4$
 $\lambda_x = 110,6$; $K = 2,19$; $K.N/A = 1727 \text{ kg/cm}^2 < 2400 \text{ kg/cm}^2$

b) Toiture du hall :

b-I Ferme SHED

b-I-1 Efforts



$$1 - 7 = -0,5 \text{ t}$$

$$2 - 7 = 0 \text{ t}$$

$$7 - 8 = 2,24 \text{ t}$$

$$8 - 6 = 2 \text{ t}$$

$$8 - 9 = 0,5 \text{ t}$$

$$3 - 9 = -2,06 \text{ t}$$

$$9 - 10 = -2,06 \text{ t}$$

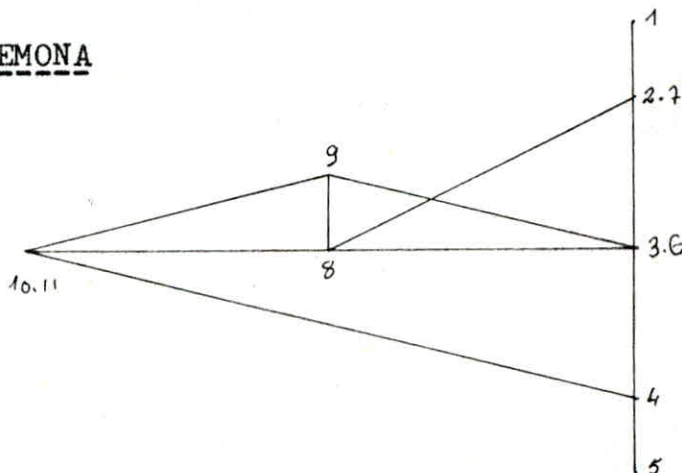
$$10 - 6 = 4 \text{ t}$$

$$11 - 6 = 4 \text{ t}$$

$$10-11 = 0 \text{ t}$$

$$4 - 11 = 4,12 \text{ t}$$

TRACE DE CREMONA



- Les charges seront transmises par les pannes .
 - La détermination des efforts se fait par la trace de CREMONA
- b-II-2 Dimensionnement des barres (même méthode que précédemment)

- Membrure supérieure : $N = 12,86 \text{ t}$, $L 70-70-7$

$$K.N/A = 1678 \text{ kg/cm}^2 < 2400 \text{ kg/cm}^2$$

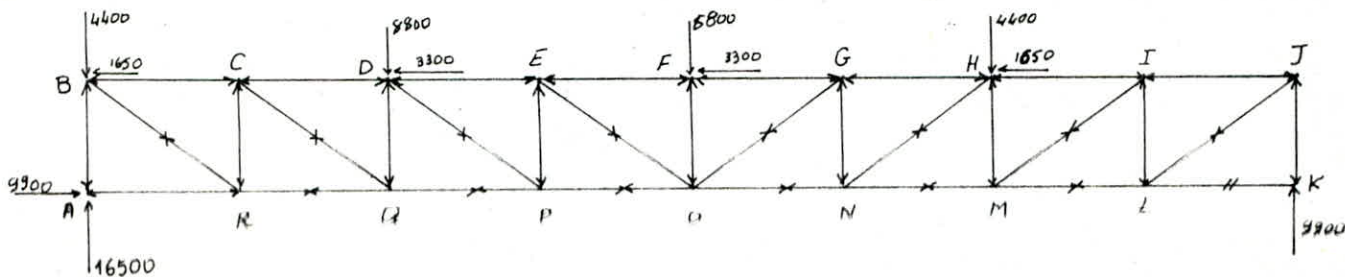
- Diagonale : $N = 7\text{t}$; $L 50-50-5$; $K.N/A = 1734 \text{ kg/cm}^2 < 2400 \text{ kg/cm}^2$

- Membrure inférieure: $N = 12,48 \text{ t}$; $L 70-70-7$; $K.N/A = 1616 \text{ kg/cm}^2$

- Montant: $N = 1,56 \text{ t}$; $L 30-30-3$; $A = 1,72 \text{ cm}^2$; $I_x = 1,44 \text{ cm}^4$

$$K.N/A = 1975,4 \text{ kg/cm}^2 < 2400 \text{ kg/cm}^2$$

b-II CALCUL DE LA TRAVERSE PORTANT LES FERMES SHED



b-II-1 Efforts

- Les charges sont transmises par les pannes et les sheds .
- La détermination des efforts est faite par la méthode des noeuds

Tableau

Barres	Efforts	Barres	Efforts
A-R	- 8250	D-E	- 54175
A-B	-16500	D-P	7825
B-R	28691	P-O	54175
B-C	- 24365	P-E	- 3300
R-Q	17765	E-F	- 61270
R-C	- 12100	E-O	7825
C-D	- 50380	F-G	- 5797
C-Q	28691	F-O	- 8800
Q-P	47080	O-N	52745
Q-D	- 12100	O-G	13041
G-H	- 46145	M-L	21285
G-N	- 5500	M-I	23475
N-M	40920	I-J	- 11385
N-H	13041	I-L	- 9900
H-I	- 32670	L-K	00000
H-M	- 9900	L-J	23475
		K-J	- 9900

b-II-2 Dimensionnement des barres (même méthode que précédemment)

- Membrure supérieure $N = 61270 \text{ kg}$; $2L 100-100-10$
 $A = 38,22 \text{ cm}^2$; $2I_x = 356 \text{ cm}^2$; $i_x = 3,05 \text{ cm}$; $\lambda_x = 41,35$
 $K = 1,315$; $K.N/A = 2108 \text{ kg/cm}^2$ (vérifiée)
- Diagonale: $N = 28691 \text{ kg}$; $2L 80-80-8$; $A = 24,46 \text{ cm}^2$
 $2I_x = 145,8 \text{ cm}^2$; $i_x = 2,44 \text{ cm}$; $\lambda_x = 97$; $K = 1,817$
 $K.N/A = 2131 \text{ kg/cm}^2$ (vérifiée)
- Membrure inférieure: $N = 54175 \text{ kg}$; $2L 100-100-10$ (vérifiée)
- Montant: $N = 16500 \text{ kg}$; $2L 45-45-6$; $A = 10,12 \text{ cm}^2$
 $2I_x = 18,3 \text{ cm}^4$; $i_x = 1,344 \text{ cm}$; $\lambda_x = 74,36$
 $K = 1,357$; $K.N/A = 2212,5 \text{ kg/cm}^2$ (Vérifiée)

c) Déformation de la ferme et de la traverse

c-1 Vérification à la flèche (ferme de l'entrée)

Méthode de CASTIGLIANO $f = 1,99 \text{ cm}$ $\bar{f} = 5 \text{ cm}$ (voir page suivante)

c-2 Vérification à la flèche (traverse du hall)

La vérification de la flèche se fait en considérant une poutre à lame pleine de même hauteur que la poutre plate considérée, et ayant à tout point la même déformation sous l'action des charges verticales.

NOTA Les déformations de 2 poutres sont les mêmes si leur énergie potentielle de déformation élastique est la même : Ceci résulte du calcul des déformations par CASTIGLIANO

$$I = h^2 \frac{A \cdot A'}{A + A'}; \quad ; \quad A = A' = 38,22 \text{ cm}^2$$

$$I = 429975 \text{ cm}^4 \quad ; \quad f = 5 \cdot p \cdot l^4 / 384 \cdot E \cdot I = 2,54 \text{ cm}$$

avec $E = 1,6 \cdot 10^6 \text{ Kg/cm}^2$.

$$\bar{f} = 8,5 \text{ cm}$$

NOTA La notation de l'âme équivalente permet d'estimer le supplément de la flèche provenant de l'effort tranchant.

Tableau de déformabilité de c-1

N°	1	S	m ₁	m ₂	m ₃	m ₄	m ₅
1-10	200	4,8	0	0	0	0	0
2-10	170	19,15	0	0	0	0	0
11-9	167	19,15	18168	14534	10901	77267	3633
10-11	236	9,4	105447	82600	62135	41423	20712
11-12	167	4,8	69582	55667	41751	27831	13915
3-12	170	19,15	18864	15091	11318	75456	3773
12-13	213	9,4	0	96811	72608	47649	25211
13-9	167	19,15	36336	72672	54504	36336	18168
13-14	133	4,8	0	41563	31171	20782	10389
15-14	195	9,4	0	0?	-87653	-58235	-28817
4-14	170	19,15	38483	76966	57498	37728	18864
15-9	167	19,15	54504	109008	163512	109008	54504
15-16	100	4,8	0	0	30833	13889	6944
5-16	170	19,15	57724	115449	173173	115449	56592
16-17	180	9,4	0	0	0	88621	44311
17-9	137	19,15	59617	119234	178851	238468	119234
17-18	67	4,8	0	0	0	6978	3489
6-18	170	19,15	76966	153932	230898	301526	153932
18-19	170	9,4	0	0	0	0	113909
19-9	167	19,15	90840	181680	272519	363359	446932
20-9	167	19,15	90840	181680	272519	363359	446932
7-20	170	19,15	96207	192415	288623	376907	471983
19-20	0,33	4,8	0	0	0	0	0
<u>4.0.472</u> <u>E</u>			0,73	1,357	1,668	1,99	1,8

$$m_i = N_x \cdot \bar{N}_{xi} \cdot 1 / 4 \cdot 0,472 \cdot S$$

d - Deversement de la traverse

Pas de deversement de la membrure comprimée sous les différents combinaisons des charges .

e - Flambement $\frac{9}{8}(K' \sigma + \sigma_f) K_m \leq \sigma_e$

$$K' = 1,27, \sigma_e = 129,5; \sigma_f = 988,42; K_m = 1,025$$

$$\frac{9}{8}(K' \sigma + \sigma_f) K_m = 1330 \text{ kg/cm}^2$$

f - Vérifications sous circonstances exceptionnelles

Vent extrême, séisme

1°) Toiture de l'entrée : Les critères de la résistance et de stabilité sont toujours valables .

2°) Hall : On doit avoir une panne IPE 330 , le critère de la résistance et de stabilité sont vérifiées.

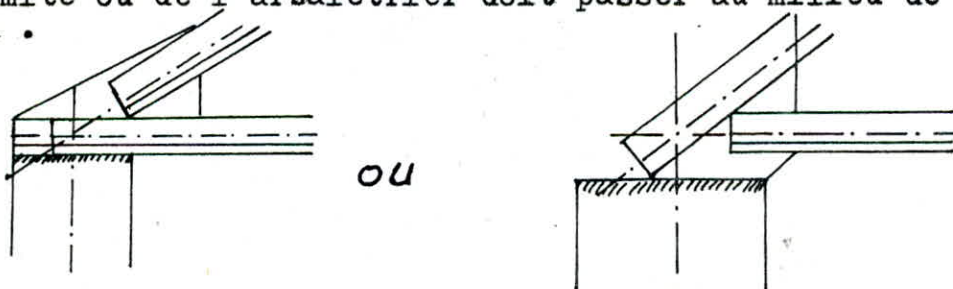
La liaison traverse surface d'assiette sera encore à vérifier au séisme .

D - CONTREVENTEMENTS

- Horizontaux : Seront placés dans les travées de rive. les diagonales tendues sont à prendre en compte
 $\lambda(\text{traction}) = 200$
soit $1 L 100-100-10 \Rightarrow \lambda = 86 < 200$

E - LIAISON TOITURE-SURFACE D'APPUI

E - 1 Liaison ferme-mur : vu le choix de la ferme, nous exigeons que la verticale de l'épure de la diagonale d'extremité ou de l'arbalétrier doit passer au milieu de la surface d'appui .



Si cette condition n'est pas réalisée le noeud est soumis à l'action d'un couple égal au produit de la réaction d'appui par sa distance à l'épure . Le gousset a pour seul effet de répartir les moments fléchissants entre les barres proportionnellement à leur raideur Il peut resulter de cet effort se conduire des déformations permanentes au moins disgracieuses, souvent dangereuses si l'on n'y porte remède.

NOTA : Les ailes des cornières seront placer toutes du même côté .

E - 2 Liaison poutre-mur: dans le cas où les dimensions du poteau ne suffisent pas pour assurer une bonne assise de la poutre, une console courte sera à adopter .

E-2-a Appareil d'appui

NOTA : nous calculons l'assiette de la poutre, (pour la ferme, la même méthode sera à suivre).

La liaison poutre-mur est établie à l'aide d'un appareil d'appui assurant une bonne transmission des efforts à la surface d'appui et par suite aux fondations.

- On a recourt aux articulations, (celles-ci permettent de s'opposer éventuellement à des efforts de soulèvement)

- Pour diminuer les efforts parallèles à la platine, il est avantageux d'orienter la surface d'assise perpendiculairement aux résultantes d'appui,

- L'ancrage des efforts peut se faire par un axe tournant dans des flasques en tôle ou des coussinets en acier moulé ou simplement par boulons traversant les platines avec jeu suffisant,

Prenant appui sur plaque par l'intermédiaire d'une rondelle plastique (Bellville, néoprène) permettant un mouvement de rotation de l'appui sans entraîner de flexion excessive de la tige de boulons, soit par effet de rotule, soit par distraction.

NOTA : il est possible d'adopter des appareils d'appui ^{d'une} technologie poussée, pouvant résister aux effets horizontaux :

- Appareil hydromécanique, à Bielle, ...etc. Ce sont des appareils coûteux, qui demandent un entretien annuel.

- Puisque le budget du projet nous est inconnu nous adoptons l'appareil d'appui à rondelle plastique.

E - 2a1 Dimensionnement

La plaque est perpendiculaire à $T = 16500 \text{ kg}$ la force parallèle est alors 9900 kg , $T/bc < \sigma_{b_0}$

$$c = 10 + 10 + 2 + 4 + 4 = 30 \text{ cm} \quad 9900 \rightarrow$$

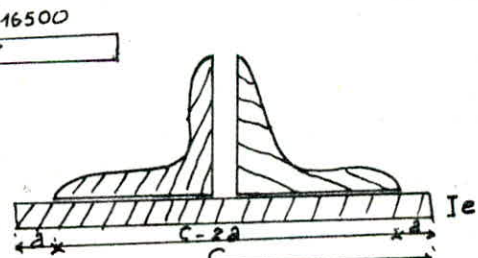
$$b > T/c \cdot \sigma_{b_0} = 16500/30.67,5 = 8,5 \text{ cm}$$

épaisseur de la platine $M = P \cdot a^2 / 2$

$$M = 2012 \cdot 0,04^2 / 2 = 1,61 \text{ kg.m}$$

$$e > \sqrt{6 \cdot M / b \cdot \sigma_{en}} = \sqrt{6 \cdot 1,61 / 8,2.2400} = 0,22 \text{ cm}$$

nous choisissons une plaque de, $b = 15 \text{ cm}$; $c = 30 \text{ cm}$; $e = 1 \text{ cm}$



Calcul des boulons

Les boulons reprennent les efforts horizontaux, ils seront disposés sur une seule file. L'effort de cisaillement (circonstances normales) est de 9900 kg , l'effort total de cisaillement par boulon est 4950 kg .

$$1,54 \cdot 4950/0,8 \cdot 4,52 = 2106,3 \text{ kg/cm}^2 < e$$

NOTA : sous l'effet sismique horizontal $S_{IH} = 1155,52 \text{ kg}$

$$\text{proj(horiz)} = 4050,84 \text{ kg} \quad S_{IH} + \text{proj(hor)} = 5195,36 \text{ kg}$$

$$(1,54 \cdot 5195,4/2 \cdot 0,8 \cdot 4,52 = 1106,3 \text{ kg/cm}^2 < e)$$

F - Assemblage

(vu la similitude des assemblages, celle de la traverse du hall sera calculée)

- Les treillis seront soudés, alors pour limiter les effets secondaires, on élargisse l'ame de la membrure (au moyen d'un gousset), la barre est encastrée aux noeuds le centre de gravité des cordons doit coincider avec la fibre neutre de la barre attachée.

Soudures

Montant - membrures

$$N = 16500 \text{ kg}$$

$$l_1 = 16 \text{ cm}$$

$$l_2 = 8 \text{ cm}$$

$$a = 8 \text{ mm} ; a \cdot \alpha = 7,2 \text{ mm}$$

$$16500 / 0,75 \cdot 24 \cdot 0,72 = 1273,15 \text{ kg/cm}^2$$

Diagonals membrures

$$N = 28691,3 \text{ kg}$$

$$l_1 = 25 \text{ cm}$$

$$l_2 = 15 \text{ cm}$$

$$a = 8 \text{ mm} ; a \cdot \alpha = 7,2 \text{ mm}$$

$$28691,3 / 0,75 \cdot 40 \cdot 0,72 = 1328,3 \text{ kg/cm}^2$$

Chapitre V

B L O C S

- T O U R D ' E N T R A I N E M E N T

T O U R (T)

GENERALITES

- C'est une tour d'entraînement , de hauteur 26 m et de section 6 m - 6 m , composée de 7 étages, munie de grandes ouvertures et un escalier hélicoïdal, elle sera étudiée comme un pylône .

- Le système de contreventement est en portiques (B.A).

Ce système a été adopté pour plusieurs raisons, surtout les grandes ouvertures , alors les inerties des poteaux étaient calculées en se référant sur celles des voiles d'une tour équivalente dont les ouvertures étaient plus petite (une artifice de calcul à fin d'avoir une construction relativement rigide) .

- Pour les fondations, d'après des calculs préliminaires nous avons déterminé la largeur des semelles, il s'est avéré nécessaire de choisir un radier général (chevochement des semelles) .

NOTA : Nous détaillerons l'étude dynamique .

Pour le calcul de notre structure, nous exposerons le nécessaire, les méthodes ont été déjà exposées .

A - Etude Dynamique :

A-1 Préambule: L'étude dynamique d'une structure est nécessaire quand celle-ci présente un élançement considérable ou une dimension en plan importante .

- Evaluation des sollicitations

La méthode de calcul à l'aide des coefficients sismiques (P.S 69 art 3,112) dérive de la réponse élastique des oscillateurs multiples et de la considérations des spectres de réponse .

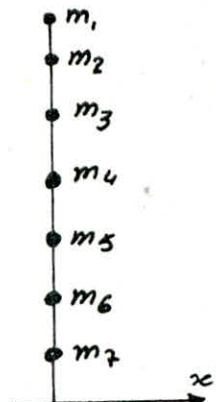
- Prépondérance du mode fondamental, importance des modes supérieurs

Généralement, le premier mode est le plus prépondérant, la réponse maximale est obtenue pour un temps voisin de celui de maximum de réponse du mode fondamental, ainsi les réponses dues aux modes supérieurs sont affaiblies, il sera alors permis de ne pas en tenir compte .

Mais dans notre cas (Pylône; structure à faible amortissement) et quelque soit le degré d'amortissement de la structure, si la période fondamentale est longue, la période du 2^e mode et celle du 3^e mode seront considérables .

Le premier mode reste important, mais il ne sera plus possible de considérer qu'il règle seul le comportement de la construction .

Les règles imposent la considération effective des deux ou trois premiers modes de vibration .



A-2 Choix du modèle mathématique, méthode de calcul

- Un système à masses concentrées m_1, \dots, m_7
- Le système présente autant de degrés de liberté qu'il y a des masses concentrées.
- Il existe méthodes exactes laborieuses des méthodes approchées mais donnant des résultats suffisants. Méthode de RAYLEIGH, STODOLA, MOLZER

A-3 Méthode de RAYLEIGH

La période du premier mode est déterminée d'une manière approchée en partant d'une déformée arbitraire mais plausible, la précision obtenue est suffisante en pratique.

A-4 Méthode de STODOLA

La déformée et la période du premier mode de vibration sont évaluées par itération, les modes suivants peuvent ensuite être déterminés tout en se basant sur l'orthogonalité des vecteurs propres.

A-5 Matrice de rigidité

La structure est supposée élastique, il existe donc des relations linéaires entre les forces extérieures et déplacements.

$$U = \begin{vmatrix} u_1 \\ \vdots \\ u_j \\ \vdots \\ u_n \end{vmatrix} = \text{vecteur des déplacements} ; \quad F = \begin{vmatrix} f_1 \\ \vdots \\ f_j \\ \vdots \\ f_n \end{vmatrix} = \begin{array}{l} \text{vecteur} \\ \text{des forces} \\ \text{extérieures} \end{array}$$

$$F = K \cdot U$$

$$f_1 = K_{11}u_1 + \dots + K_{1j}u_j + \dots + K_{1n}u_n$$

⋮

$$f_j = K_{11} \cdot u_1 + \dots + K_{ij} \cdot u_j + \dots + K_{jn} \cdot u_n$$

⋮

$$f_n = K_{n1} \cdot u_1 + \dots + K_{nj} \cdot u_j + \dots + K_{nn} \cdot u_n$$

K représente la matrice de rigidité de dimension (n.n) (n degrés de liberté)

$$K = \begin{vmatrix} K_{11} & K_{12} & \dots & K_{1j} & \dots & K_{1n} \\ \vdots & & & & & \\ K_{i1} & K_{i2} & \dots & K_{ij} & \dots & K_{jn} \\ \vdots & & & & & \\ K_{n1} & \dots & & K_{nj} & \dots & K_{nn} \end{vmatrix}$$

A-6 Matrice des masses

- La masse de la structure est concentrée aux noeuds,
- Lorsque les masses sont accélérées, les forces d'inertie ont pour valeur $f_1 = m_1 \cdot \ddot{u}_1$
- \vdots
- $f_j = m_j \cdot \ddot{u}_j$ ou $F = M \cdot \ddot{u}$
- \vdots
- $f_n = m_n \cdot \ddot{u}_n$

\ddot{u} représente le vecteur des accélérations .

M est la matrice des masses. diagonale de dimension (n.n)

A-7 REMARQUES

1) Les méthodes sont basées sur le conservation d'énergie, elles ne seront applicables qu'aux systèmes conservatifs.

2) La recherche du mode fondamental : $T = 2\pi/\omega$

3) La recherche des modes supérieurs; (STODOLA) quelque soit la déformation hypothétique de départ choisie, les itérations convergent vers le mode fondamental, alors si on désire rechercher les caractéristiques du $j^{\text{ème}}$ mode il convient .

- De chercher les caractéristiques des modes de rang inférieur à j .

- D'expurger les déformées approchées successives des composantes parasites correspondant aux modes inférieures jusqu'à $j-1$ inclusivement, cette élimination basée sur les propriétés d'orthogonalité des vecteurs propres, s'effectue suivant le processus indiqué ci-après .

- Les modes 2 et 3 seront explicités convenablement durant le calcul .

B Calcul de la période par méthode forfaitaire de P.S 69

$$T = 0,09 \cdot H / \sqrt{L} = 0,946 \text{ s}$$

REMARQUES:

- Pour les sollicitations, Σ , la sollicitation la plus défavorable résultant du mode 1, Σ_1 , et Σ_2 des modes 2 et 3 respectivement .

La sollicitation résultante

$$\Sigma = \sqrt{\Sigma_1^2 + \lambda_2 \cdot \Sigma_2^2 + \lambda_3 \cdot \Sigma_3^2}$$

dans notre cas et d'après P.S 69 art 3,114-13

$$\lambda_2 = 0 \quad ; \quad \lambda_3 = 0 \Rightarrow \Sigma = \Sigma_1$$

C- CARACTERISTIQUES DE LA STRUCTURE

a) Calcul de la rigidité, souplesse

$K = 12 \cdot E \cdot I/h^3$; assimilée à la force T produisant le déplacement unitaire de l'étage.

$$u = 1 = h^3 \cdot T/12EI$$

$$K_i = 12E \cdot I_{i=1..7} / h^3 \quad ; \quad R+1, \dots, R+6 : \quad K = 12 \cdot 3,6 \cdot 10^6 \cdot I / 3,6^3 \\ R : \quad K = 12 \cdot 3,6 \cdot 10^6 \cdot I / 4,14^3$$

$$\text{Souplesses } S_i = 1/K_i \text{ en m/t}$$

Niv	Etage	h (m)	section	I pour 1 pot	I pour 9 pot	$K_i \cdot (10^6)$	$S_i \cdot (10^{-6})$
1	R+6	3,6	40-40	0,00213	0,0192	0,01778	56,25
2	R+5	3,6	40-40	0,00213	0,0192	0,01778	56,25
3	R+4	3,6	50-50	0,0052	0,0468	0,0434	23,04
4	R+3	3,6	50-50	0,0052	0,0468	0,0434	23,04
5	R+2	3,6	50-50	0,0052	0,0468	0,0434	23,04
6	R+1	3,6	60-60	0,0108	0,0972	0,09	11,111
7	R	4,14	60-60	0,0108	0,0972	0,05918	16,8986

Matrice de rigidité de la structure

$$[K] = \begin{bmatrix} K_1 & -K_1 & 0 & 0 & 0 & 0 & 0 \\ -K_1 & K_1 + K_2 & -K_2 & 0 & 0 & 0 & 0 \\ 0 & -K_2 & K_2 + K_3 & -K_3 & 0 & 0 & 0 \\ 0 & 0 & -K_3 & K_3 + K_4 & -K_4 & 0 & 0 \\ 0 & 0 & 0 & -K_4 & K_4 + K_5 & -K_5 & 0 \\ 0 & 0 & 0 & 0 & -K_5 & K_5 + K_6 & -K_6 \\ 0 & 0 & 0 & 0 & 0 & -K_6 & K_6 + K_7 \end{bmatrix}$$

$$[K] = 10^6 \begin{bmatrix} 0,01778 & -0,01778 & 0 & 0 & 0 & 0 & 0 \\ -0,01778 & 0,03556 & -0,01778 & 0 & 0 & 0 & 0 \\ 0 & -0,01778 & 0,06118 & -0,0434 & 0 & 0 & 0 \\ 0 & 0 & -0,0434 & 0,0868 & -0,0434 & 0 & 0 \\ 0 & 0 & 0 & -0,0434 & 0,0868 & -0,0434 & 0 \\ 0 & 0 & 0 & 0 & -0,0434 & 0,1334 & -0,09 \\ 0 & 0 & 0 & 0 & 0 & -0,09 & 0,1492 \end{bmatrix}$$

b) Matrice de la souplesse

$$[S] = \begin{bmatrix} S_1 + \dots + S_7 & S_2 + \dots + S_7 & S_3 + \dots + S_7 & S_4 + \dots + S_7 & S_5 + \dots + S_7 & S_6 + S_7 & S_7 \\ S_2 + \dots + S_7 & // & // & // & // & // & S_7 \\ S_3 + \dots + S_7 & S_3 + \dots + S_7 & // & // & // & // & S_7 \\ S_4 + \dots + S_7 & S_4 + \dots + S_7 & S_4 + \dots + S_7 & // & // & // & S_7 \\ S_5 + \dots + S_7 & // & // & S_7 \\ S_6 + S_7 & // & S_7 \\ S_7 & S_7 & S_7 & S_7 & S_7 & S_7 & S_7 \end{bmatrix}$$

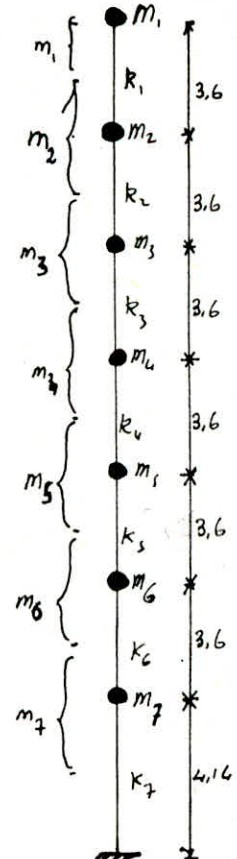
$$[S] \pm 10^{-3} = \begin{bmatrix} 20,963 & 15,338 & 9,713 & 7,409 & 5,105 & 2,801 & 1,6899 \\ 15,338 & // & // & // & // & // & // \\ 9,713 & 9,713 & // & // & // & // & // \\ 7,409 & 7,409 & 7,409 & // & // & // & // \\ 5,105 & 5,105 & 5,105 & 5,105 & // & // & // \\ 2,801 & 2,801 & 2,801 & 2,801 & 2,801 & // & // \\ 1,6899 & 1,6899 & 1,6899 & 1,6899 & 1,6899 & 1,6899 & // \end{bmatrix}$$

c) Masse

	$m_1(t)$	$m_2(t)$	$m_3(t)$	$m_4(t)$	$m_5(t)$	$m_6(t)$	$m_7(t)$
Plancher	29,5	18	18	18	18	18	18
Surcharge	22,5	22,5	22,5	22,5	22,5	22,5	22,5
Mur ext	9	11,5	11,5	11,5	11,5	11,5	11,5
Poteau	6,5	13	16,6	20,2	20,2	24,7	31,4
Poutre	21,6	21,6	21,6	21,6	21,6	21,6	21,6
Escalier	2	4	4	4	4	4	4
\sum	91,1	90,6	94,2	97,8	97,8	102,3	109

c-1 Matrice de masse

$$[M] = \begin{bmatrix} 91,1 & 0 & 0 & 0 & 0 & 0 & 0 \\ 0 & 90,6 & 0 & 0 & 0 & 0 & 0 \\ 0 & 0 & 94,2 & 0 & 0 & 0 & 0 \\ 0 & 0 & 0 & 97,8 & 0 & 0 & 0 \\ 0 & 0 & 0 & 0 & 97,8 & 0 & 0 \\ 0 & 0 & 0 & 0 & 0 & 102,3 & 0 \\ 0 & 0 & 0 & 0 & 0 & 0 & 109,0 \end{bmatrix}$$

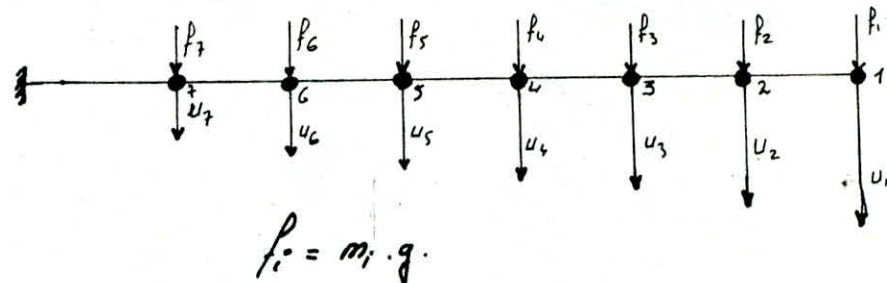


d) Evaluation des déplacements de la structure sous charges nodaux statique

$$[U] = [K]^{-1} \cdot [P]$$

modélisation.

$$[U] = [S] \cdot \begin{bmatrix} f_1 \\ \vdots \\ f_7 \end{bmatrix}$$



$$f_i = m_i \cdot g$$

$$u_i = f_i \cdot S_{i,j}$$

$$U = \begin{bmatrix} u_1 \\ \vdots \\ u_7 \end{bmatrix}$$

etage	f _{1,1}	f _{1,6}	f _{1,2}	f _{4,8}	f _{5,8}	f _{6,3}	f ₇	u ₁
[S]	R+6 20,963	15,338	9,713	7,409	5,105	2,801	1,6899	5,909
	R+5 15,338	//	//	//	//	//	//	5,396
	R+4 9,713	9,713	//	//	//	//	//	4,374
	R+3 7,409	7,409	7,409	//	//	//	//	3,739
	R+2 5,105	5,105	5,105	5,105	//	//	//	2,878
	R+1 2,801	2,801	2,801	2,801	2,801	//	//	1,791
	R 1,6899	1,6899	1,6899	1,6899	1,6899	1,6899	1,6899	1,154

e) Analyse dinamique

e-1 Calcul de T et par la méthode de RAYLEIGH

Pour le mode fondamental

$$\omega_1^2 = \sum_i f_i \cdot u_i / \sum_i m_i \cdot u_i^2 ; \text{ comme } f_i = m_i \cdot g \equiv \text{force statique}$$

$$\omega_1^2 = 981 \cdot 2395,3662 / 10271,704 = 228,76966$$

$$\omega = 15,125133 \quad T = 2 \cdot \pi / \omega = 0,415 \text{ s}$$

$$\underline{T = 0,415 \text{ s}}$$

e-2 Méthode de STODOLA

Par la méthode de STODOLA on peut trouver le mode fondamental, et les modes supérieurs, l'influence des modes supérieurs sera appréciable.

Caractéristiques nécessaires

Sont les matrices des rigidités, souplesses, masses, et la matrice dynamique $[D] = [S] \cdot [M]$

$$[D] = \begin{bmatrix} 1,909729 & 1,389623 & 0,914965 & 0,724600 & 0,499269 & 0,286523 & 0,184199 \\ 1,389623 & // & // & // & // & // & // \\ 0,884854 & 0,879998 & // & // & // & // & // \\ 0,674960 & 0,671255 & 0,697928 & // & // & // & // \\ 0,465065 & 0,462513 & 0,480891 & 0,499269 & // & // & // \\ 0,255171 & 0,253770 & 0,263854 & 0,273939 & 0,273939 & // & // \\ 0,153950 & 0,153105 & 0,159188 & 0,165272 & 0,165272 & 0,172877 & // \end{bmatrix}$$

On détermine le vecteur de déplacement $\{U_1\}$ par la formule :

$$\{U_1\} = \omega^2 [S][M]\{U_0\} \text{ et à un coefficient près}$$

$$(1/\omega^2) \cdot \{U_1\} = [S][M]\{U_0\} \text{ est équivalent au vecteur propre } \{\phi_1\}$$

e-21 Calcul du mode fondamental

On part d'une déformée approchée normalisée $\{U_0\}$.

Dans nos calculs on prendra la déformée déjà calculée sous les charges nodaux statiques.

$$\{U_0\} = \begin{bmatrix} 5,909 \\ 5,396 \\ 4,374 \\ 3,739 \\ 2,878 \\ 1,791 \\ 1,154 \end{bmatrix} \Rightarrow \{U_1\} = \begin{bmatrix} 1 \\ 0,913183 \\ 0,740227 \\ 0,632764 \\ 0,487053 \\ 0,303097 \\ 0,195295 \end{bmatrix}$$

$$\left\{ \begin{array}{c} U_1^{(1)} \\ U_1^{(2)} \end{array} \right\} = \begin{bmatrix} 4,680480 \\ 4,168043 \\ 3,190224 \\ 2,629052 \\ 1,925300 \\ 1,111800 \\ 0,685044 \end{bmatrix} \Rightarrow \left\{ \begin{array}{c} U_1^{(1)} \\ U_1^{(2)} \end{array} \right\} = \begin{bmatrix} 1 \\ 0,890516 \\ 0,681602 \\ 0,561706 \\ 0,411347 \\ 0,237540 \\ 0,146362 \end{bmatrix}$$

Iterations:

$$\left\{ \begin{array}{c} \bar{U}_1^{(2)} \\ \hline U_1 \end{array} \right\} = \begin{bmatrix} 4,478258 \\ 3,965822 \\ 2,999554 \\ 2,455838 \\ 1,785552 \\ 1,022578 \\ 0,627639 \end{bmatrix} \Rightarrow \left\{ \begin{array}{c} \bar{U}_1^{(2)} \\ \hline U_1 \end{array} \right\} = \begin{bmatrix} 1 \\ 0,885519 \\ 0,669804 \\ 0,548391 \\ 0,398716 \\ 0,228343 \\ 0,140152 \end{bmatrix}$$

$$\left\{ \begin{array}{c} \bar{U}_1^{(3)} \\ \hline \end{array} \right\} = [D] \cdot \left\{ \begin{array}{c} U_1^{(2)} \\ \hline \end{array} \right\} = \begin{bmatrix} 4,440786 \\ 3,928350 \\ 2,964628 \\ 2,424516 \\ 1,760834 \\ 1,007310 \\ 0,617974 \end{bmatrix} \Rightarrow \left\{ \begin{array}{c} U_1^{(3)} \\ \hline \end{array} \right\} = \begin{bmatrix} 1 \\ 0,884607 \\ 0,667591 \\ 0,545965 \\ 0,396514 \\ 0,226831 \\ 0,139159 \end{bmatrix}$$

$$\left\{ \begin{array}{c} \bar{U}_1^{(4)} \\ \hline \end{array} \right\} = [D] \cdot \left\{ \begin{array}{c} U_1^{(3)} \\ \hline \end{array} \right\} = \begin{bmatrix} 4,434566 \\ 3,922130 \\ 2,958873 \\ 2,419432 \\ 1,756421 \\ 1,004611 \\ 0,616272 \end{bmatrix} \Rightarrow \left\{ \begin{array}{c} U_1^{(4)} \\ \hline \end{array} \right\} = \begin{bmatrix} 1 \\ 0,884445 \\ 0,667229 \\ 0,545585 \\ 0,396075 \\ 0,226541 \\ 0,138970 \end{bmatrix}$$

$$\left\{ \begin{array}{c} \bar{U}_1^{(5)} \\ \hline \end{array} \right\} = [D] \cdot \left\{ \begin{array}{c} U_1^{(4)} \\ \hline \end{array} \right\} = \begin{bmatrix} 4,432851 \\ 3,920415 \\ 2,957241 \\ 2,417912 \\ 1,755646 \\ 1,004132 \\ 0,615970 \end{bmatrix} \Rightarrow \left\{ \begin{array}{c} U_1^{(5)} \\ \hline \end{array} \right\} = \begin{bmatrix} 1 \\ 0,884400 \\ 0,667119 \\ 0,545453 \\ 0,396053 \\ 0,226520 \\ 0,138956 \end{bmatrix}$$

$$\left\{ \begin{array}{c} \bar{U}_1^{(6)} \\ \hline \end{array} \right\} = [D] \cdot \left\{ \begin{array}{c} U_1^{(5)} \\ \hline \end{array} \right\} = \begin{bmatrix} 4,432573 \\ 3,920137 \\ 2,956986 \\ 2,417690 \\ 1,755486 \\ 1,004041 \\ 0,615914 \end{bmatrix} \Rightarrow \left\{ \begin{array}{c} U_1^{(6)} \\ \hline \end{array} \right\} = \begin{bmatrix} 1 \\ 0,884393 \\ 0,667104 \\ 0,545437 \\ 0,396042 \\ 0,226514 \\ 0,138951 \end{bmatrix}$$

$$\left\{ \begin{array}{c} \bar{U}_1^{(7)} \\ \hline \end{array} \right\} = [D] \cdot \left\{ \begin{array}{c} U_1^{(6)} \\ \hline \end{array} \right\} = \begin{bmatrix} 4,432530 \\ 3,920094 \\ 2,956946 \\ 2,417655 \\ 1,755460 \\ 1,004025 \\ 0,615904 \end{bmatrix} \Rightarrow \left\{ \begin{array}{c} U_1^{(7)} \\ \hline \end{array} \right\} = \begin{bmatrix} 1 \\ 0,884392 \\ 0,667101 \\ 0,545434 \\ 0,396040 \\ 0,226513 \\ 0,138951 \end{bmatrix}$$

$$\frac{1}{\omega_1^2} = \{f\} = [K] \cdot [U_1] ; [U_1] = [\emptyset_1] = [U_1^{(7)}]$$

$$\{f\} = \begin{vmatrix} f_1 \\ \vdots \\ \vdots \\ \vdots \\ f_7 \end{vmatrix} = \begin{vmatrix} 20,5551 \\ 18,0792 \\ 14,1691 \\ 12,0335 \\ 8,7377 \\ 5,2311 \\ 3,4532 \end{vmatrix} ; \omega_1^2 = 981 \cdot \sum_i f_i \cdot U_i / \sum_i m_i \cdot U_i^2 \\ = 981 \cdot 57,685117 / 255,67231 = \\ = 981 \cdot 0,2256213 = 221,33449$$

$$\omega_1 = 14,877314 \Rightarrow T = 2\pi/\omega = 0,422 \text{ s}$$

Comparaison

$$\beta = 0,09/4 \sqrt{T^3}$$

- 1) RAYLEIGH $T = 0,415 \text{ s} ; \beta = 0,174$
- 2) STODOLA $T = 0,422 \text{ s} ; \beta = 0,172$
- 3) P.S. 69 $T = 0,946 \text{ s} ; \beta = 0,094$

e - 2-2 Calcul des modes superieurs

1) Mode 2

deformée statique initiale

$$\{\bar{U}_o\} = \begin{bmatrix} 5,909 \\ 5,396 \\ 4,374 \\ 3,739 \\ 2,878 \\ 1,791 \\ 1,154 \end{bmatrix} \Rightarrow \{U_o\} = \begin{bmatrix} 1 \\ 0,913183 \\ 0,740227 \\ 0,632764 \\ 0,487053 \\ 0,303097 \\ 0,195295 \end{bmatrix} \text{ et } \{\emptyset_1\} = \begin{bmatrix} 1 \\ 0,884392 \\ 0,667101 \\ 0,545434 \\ 0,396040 \\ 0,226513 \\ 0,138951 \end{bmatrix}$$

Principe

$$\{\bar{U}_o\} = \underbrace{Y_1 \cdot \{\emptyset_1\}}_{M.F} + \underbrace{Y_2 \cdot \{\emptyset_2\}}_{M.2} + \underbrace{Y_3 \cdot \{\emptyset_3\}}_{M.3}$$

$$\text{Pour } 2^{\circ} \text{ mode } \{U_o - Y_1 \emptyset_1\} = \underbrace{Y_2 \emptyset_2}_{\rightarrow = 0} + \underbrace{Y_3 \emptyset_3}_{\rightarrow = 0}$$

$$Y_1 = \{\emptyset_1^T\} \cdot [M] \cdot \{U_o\} / \{\emptyset_1^T\} \cdot [M] \cdot \{\emptyset_1\}$$

$$\phi_1^T = 1 ; \begin{bmatrix} 0,884392 ; 0,667101 ; 0,545434 ; 0,39604 ; 0,226513 ; 0,1389 \end{bmatrix}$$

$$y_1^{(0)} = 273,38613 / 255,67227 = 1,0692835$$

$$\bar{U}_2^{(0)} = \begin{vmatrix} -0,069283 \\ -0,032483 \\ 0,026907 \\ 0,049540 \\ 0,060890 \\ 0,046717 \end{vmatrix} \Rightarrow U_2^{(0)} = \begin{vmatrix} -1 \\ -0,468842 \\ 0,388361 \\ 0,715034 \\ 0,917593 \\ 0,878853 \\ 0,674288 \end{vmatrix}$$

$$\bar{U}_2^{(1)} = D \cdot \bar{U}_2^{(0)} = \begin{vmatrix} -0,853652 \\ -0,341216 \\ 0,410157 \\ 0,633630 \\ 0,695983 \\ 0,551570 \\ 0,382054 \end{vmatrix} \Rightarrow U_2^{(1)} = \begin{vmatrix} -1 \\ -0,399713 \\ 0,480473 \\ 0,742258 \\ 0,815300 \\ 0,646157 \\ 0,447552 \end{vmatrix}$$

$$y_1^{(1)} = -3,8099 \cdot 10^{-5} \quad \bar{U}_2^{(1)c} = \begin{vmatrix} -0,99996 \\ -0,39968 \\ 0,480498 \\ 0,742279 \\ 0,815315 \\ 0,646145 \\ 0,447557 \end{vmatrix} \Rightarrow U_2^{(1)c} = \begin{vmatrix} -1 \\ -0,399695 \\ 0,480516 \\ 0,742307 \\ 0,815346 \\ 0,646170 \\ 0,447574 \end{vmatrix}$$

$$\bar{U}_2^{(2)} = D \cdot \bar{U}_2^{(1)c} = \begin{vmatrix} -0,812961 \\ -0,300525 \\ 0,415608 \\ 0,604646 \\ 0,626420 \\ 0,464472 \\ 0,512934 \end{vmatrix} \Rightarrow U_2^{(2)} = \begin{vmatrix} -1 \\ -0,369667 \\ 0,511227 \\ 0,743757 \\ 0,770541 \\ 0,571334 \\ 0,384931 \end{vmatrix}$$

$$y_1^{(2)} = -2,0112 \cdot 10^{-5} \quad \bar{U}_2^{(2)c} = \begin{vmatrix} -0,999980 \\ -0,369649 \\ 0,511240 \\ 0,743768 \\ 0,770549 \\ 0,571339 \\ 0,384934 \end{vmatrix} \Rightarrow U_2^{(2)c} = \begin{vmatrix} -1 \\ -0,369656 \\ 0,511250 \\ 0,743783 \\ 0,770564 \\ 0,571350 \\ 0,384942 \end{vmatrix}$$

$$\bar{U}_2^{(3)} = D \cdot \bar{U}_2^{(2)c} = \begin{vmatrix} -0,797361 \\ -0,284925 \\ 0,415900 \\ 0,591997 \\ 0,600497 \\ 0,435366 \\ 0,290797 \end{vmatrix} \Rightarrow U_2^{(3)} = \begin{vmatrix} -1 \\ -0,357335 \\ 0,521596 \\ 0,742445 \\ 0,753105 \\ 0,546009 \\ 0,364699 \end{vmatrix}$$

$\bar{Y}_1^{(3)} = -1,5733 \cdot 10^{-5}$	$\bar{U}_2^{(3)c} =$	$\begin{vmatrix} -0,999984 \\ -0,357321 \\ 0,521606 \\ 0,742453 \\ 0,753111 \\ 0,546012 \\ 0,364701 \end{vmatrix} \Rightarrow \bar{U}_2^{(3)c} =$	$\begin{vmatrix} -1 \\ -0,357327 \\ 0,521614 \\ 0,742465 \\ 0,753123 \\ 0,546021 \\ 0,364707 \end{vmatrix}$
$\bar{U}_2^{(4)} = D \cdot \bar{U}_2^{(3)c}$	$=$	$\begin{vmatrix} -0,791393 \\ -0,278957 \\ 0,415585 \\ 0,586859 \\ 0,590833 \\ 0,425106 \\ 0,283128 \end{vmatrix} \Rightarrow \bar{U}_2^{(4)} =$	$\begin{vmatrix} -1 \\ -0,352489 \\ 0,525131 \\ 0,741552 \\ 0,746573 \\ 0,537162 \\ 0,357759 \end{vmatrix}$
$\bar{Y}_1^{(4)} = -1,6999 \cdot 10^{-5}$	$\bar{U}_2^{(4)c} =$	$\begin{vmatrix} -0,999983 \\ -0,352474 \\ 0,525142 \\ 0,741561 \\ 0,746580 \\ 0,537166 \\ 0,357761 \end{vmatrix} \Rightarrow \bar{U}_2^{(4)c} =$	$\begin{vmatrix} -1 \\ -0,352480 \\ 0,525151 \\ 0,741574 \\ 0,746593 \\ 0,537175 \\ 0,357767 \end{vmatrix}$
$\bar{U}_2^{(5)} = D \cdot \bar{U}_2^{(4)c}$	$=$	$\begin{vmatrix} -0,788319 \\ -0,275883 \\ 0,415368 \\ 0,584862 \\ 0,587258 \\ 0,421424 \\ 0,280399 \end{vmatrix} \Rightarrow \bar{U}_2^{(5)} =$	$\begin{vmatrix} -1 \\ -0,349964 \\ 0,526904 \\ 0,741910 \\ 0,744950 \\ 0,534586 \\ 0,355692 \end{vmatrix}$
$\bar{Y}_1^{(5)} = 6,83021 \cdot 10^{-4}$	$\bar{U}_2^{(5)c} =$	$\begin{vmatrix} -1,000683 \\ -0,350568 \\ 0,526448 \\ 0,741537 \\ 0,744679 \\ 0,534431 \\ 0,355597 \end{vmatrix} \Rightarrow \bar{U}_2^{(5)c} =$	$\begin{vmatrix} -1 \\ -0,350329 \\ 0,526089 \\ 0,741031 \\ 0,744171 \\ 0,534066 \\ 0,355354 \end{vmatrix}$
$\bar{U}_2^{(6)} = D \cdot \bar{U}_2^{(5)c}$	$=$	$\begin{vmatrix} -0,788249 \\ -0,275813 \\ 0,415181 \\ 0,584023 \\ 0,585888 \\ 0,420069 \\ 0,279406 \end{vmatrix} \Rightarrow \bar{U}_2^{(6)} =$	$\begin{vmatrix} -1 \\ -0,349906 \\ 0,526713 \\ 0,740912 \\ 0,743278 \\ 0,532914 \\ 0,354464 \end{vmatrix}$
$\bar{Y}_1^{(6)} = 5,2983 \cdot 10^{-5}$	$\bar{U}_2^{(6)c} =$	$\begin{vmatrix} -0,999947 \\ -0,349859 \\ 0,526748 \\ 0,740941 \\ 0,743299 \\ 0,532926 \\ 0,354471 \end{vmatrix} \Rightarrow \bar{U}_2^{(6)c} =$	$\begin{vmatrix} -1 \\ -0,349877 \\ 0,526776 \\ 0,740980 \\ 0,743338 \\ 0,532954 \\ 0,354490 \end{vmatrix}$

$$\bar{U}_2^{(7)} = D \cdot U_2^{(6)c} = \begin{vmatrix} -0,787905 \\ -0,275469 \\ 0,415276 \\ 0,583875 \\ 0,585508 \\ 0,419645 \\ 0,279087 \end{vmatrix} \Rightarrow \bar{U}_2^{(7)} = \begin{vmatrix} -1 \\ -0,349622 \\ 0,527064 \\ 0,741048 \\ 0,743120 \\ 0,532609 \\ 0,354214 \end{vmatrix}$$

$$Y_4^{(7)} = 1,057 \cdot 10^{-4}; \bar{U}_2^{(7)c} = \begin{vmatrix} -1,000106 \\ -0,349715 \\ 0,526993 \\ 0,740990 \\ 0,743078 \\ 0,532585 \\ 0,354199 \end{vmatrix} \Rightarrow U_2^{(7)c} = \begin{vmatrix} -1,000000 \\ -0,349678 \\ 0,526937 \\ 0,740912 \\ 0,742999 \\ 0,532529 \\ 0,354162 \end{vmatrix}$$

$$\bar{U}_2^{(8)} = D \cdot U_2^{(7)c} = \begin{vmatrix} -0,787881 \\ -0,275445 \\ 0,415198 \\ 0,583720 \\ 0,585292 \\ 0,419445 \\ 0,278942 \end{vmatrix} \Rightarrow U_2^{(8)} = \begin{vmatrix} -1,000000 \\ -0,349602 \\ 0,526980 \\ 0,740873 \\ 0,742868 \\ 0,532371 \\ 0,354041 \end{vmatrix}$$

$$Y_1^{(8)} = -1,7219 \cdot 10^{-5}; \bar{U}_2^{(8)c} = \begin{vmatrix} -0,999983 \\ -0,349587 \\ 0,526991 \\ 0,740882 \\ 0,742875 \\ 0,532375 \\ 0,354043 \end{vmatrix} \Rightarrow U_2^{(8)c} = \begin{vmatrix} -1,000000 \\ -0,349593 \\ 0,527000 \\ 0,740895 \\ 0,742888 \\ 0,532384 \\ 0,354049 \end{vmatrix}$$

$$U_2 = U_2^{(8)c} \Rightarrow \{f\} = \begin{vmatrix} -115,6424 \\ -40,2159 \\ 63,0278 \\ 91,9655 \\ 92,2237 \\ 69,1428 \\ 49,0955 \end{vmatrix}$$

$$\omega_2^2 = g \cdot \sum_{i=1}^7 f_i \cdot U_1 / \sum_{i=1}^7 m_i \cdot U_1^2 = 981 \cdot 353,75864 / 278,65219 = 1245,4136$$

$$\Rightarrow \omega_2 = 35,290418 \Rightarrow T_2 = 2\pi / \omega_2 = 0,178 \text{ s}$$

$$\underline{T_2 = 0,178 \text{ s}}$$

Mode 3

$$U_0 = \begin{vmatrix} 1,000000 \\ 0,913183 \\ 0,740227 \\ 0,632764 \\ 0,487053 \\ 0,303097 \\ 0,195295 \end{vmatrix}; \quad \phi_1 = \begin{vmatrix} 1,000000 \\ 0,884392 \\ 0,667101 \\ 0,545434 \\ 0,396040 \\ 0,226040 \\ 0,138951 \end{vmatrix}; \quad \phi_2 = \begin{vmatrix} -1,000000 \\ -0,349593 \\ 0,527000 \\ 0,740895 \\ 0,742888 \\ 0,532384 \\ 0,354049 \end{vmatrix}$$

$$Y_1 = \phi_1^T \cdot M \cdot U_1 / \phi_1^T \cdot M \cdot \phi_1$$

$$Y_1 = 1,0692835 \\ Y_2 = 0,0789679$$

$$\bar{U}_3^{(0)c} = \begin{vmatrix} 0,009684 \\ -0,000408 \\ -0,014709 \\ -0,008966 \\ 0,004909 \\ 0,019355 \\ 0,018758 \end{vmatrix} \Rightarrow U_3^{(0)c} = \begin{vmatrix} -1,000000 \\ 0,042131 \\ 1,518918 \\ 0,925857 \\ -0,506919 \\ -1,998658 \\ -1,937009 \end{vmatrix}$$

Iterations

$$\bar{U}_3^{(1)} = \begin{vmatrix} -0,973096 \\ -0,460660 \\ 0,118308 \\ -0,098253 \\ -0,435439 \\ -0,658400 \\ -0,538784 \end{vmatrix} \Rightarrow U_3^{(1)} = \begin{vmatrix} -1,000000 \\ -0,473397 \\ 0,121579 \\ -0,100970 \\ -0,447478 \\ -0,676604 \\ -0,553680 \end{vmatrix}$$

$$Y_1^{(1)} = -0,6577703$$

$$Y_2^{(1)} = 0,050547$$

$$\bar{U}_3^{(1)c} = \begin{vmatrix} -0,291683 \\ 0,126000 \\ 0,537393 \\ 0,220350 \\ -0,224525 \\ -0,554832 \\ -0,480178 \end{vmatrix} \Rightarrow U_3^{(1)c} = \begin{vmatrix} -1,000000 \\ 0,431976 \\ 0,842387 \\ 0,755440 \\ -0,769757 \\ -1,902175 \\ -1,646232 \end{vmatrix}$$

$$\bar{U}_3^{(2)} = \begin{vmatrix} -0,308901 \\ 0,203535 \\ 0,495828 \\ 0,215684 \\ -0,234682 \\ -0,511600 \\ -0,428969 \end{vmatrix} \Rightarrow U_3^{(2)} = \begin{vmatrix} -1,000000 \\ 0,658901 \\ 1,605137 \\ 0,698231 \\ -0,759733 \\ -1,656195 \\ -1,388695 \end{vmatrix}$$

$$Y_1^{(2)} = 0,0429156$$

$$Y_2^{(2)} = 5,44697 \cdot 10^{-3}$$

$$\bar{U}_3^{(2)c} = \begin{vmatrix} -1,037468 \\ 0,622851 \\ 1,573637 \\ 0,670788 \\ -0,780776 \\ -1,668795 \\ -1,396587 \end{vmatrix} \Rightarrow U_3^{(2)c} = \begin{vmatrix} -1,000000 \\ 0,600356 \\ 1,516804 \\ 0,645622 \\ -0,752578 \\ -1,608526 \\ -1,346149 \end{vmatrix}$$

$$\bar{U}_3^{(3)} = D \cdot U_3^{(2)c} = \begin{vmatrix} -0,318476 \\ 0,193959 \\ 0,400442 \\ 0,155813 \\ -0,234292 \\ -0,448467 \\ -0,368949 \end{vmatrix} \Rightarrow U_3^{(3)} = \begin{vmatrix} -1,000000 \\ 0,609214 \\ 1,257368 \\ 0,489245 \\ -0,735665 \\ -1,408164 \\ -1,158481 \end{vmatrix}$$

$$Y_1^{(3)} = -0,0619724$$

$$Y_2^{(3)} = -0,0185698$$

$$\bar{U}_3^{(3)c} = \begin{vmatrix} -0,956597 \\ 0,657554 \\ 1,308514 \\ 0,536820 \\ -0,697315 \\ -1,384263 \\ -1,143291 \end{vmatrix} \Rightarrow U_3^{(3)c} = \begin{vmatrix} -1,000000 \\ 0,687388 \\ 1,367884 \\ 0,561177 \\ -0,728954 \\ -1,447070 \\ -1,195165 \end{vmatrix}$$

$$U_3^{(4)} = D \cdot U_3^{(3)c} = \begin{vmatrix} -0,295035 \\ 0,217401 \\ 0,379530 \\ 0,149055 \\ -0,207869 \\ -0,400538 \\ -0,328999 \end{vmatrix} \Rightarrow U_3^{(4)} = \begin{vmatrix} -1,000000 \\ 0,736865 \\ 1,286389 \\ 0,505211 \\ -0,704557 \\ -1,357594 \\ -1,115118 \end{vmatrix}$$

$$Y_1^{(4)} = 3,61365 \cdot 10^{-4}$$

$$Y_2^{(4)} = 2,4311400 \cdot 10^{-4}$$

$$\bar{U}_3^{(4)c} = \begin{vmatrix} -1,000118 \\ 0,736630 \\ 1,286020 \\ 0,504833 \\ -0,704881 \\ -1,357805 \\ -1,115252 \end{vmatrix} \Rightarrow U_3^{(4)c} = \begin{vmatrix} -1,000000 \\ 0,736543 \\ 1,285868 \\ 0,504773 \\ -0,704798 \\ -1,357645 \\ -1,115120 \end{vmatrix}$$

$$\bar{U}_3^{(5)} = D \cdot U_3^{(4)c} = \begin{vmatrix} -0,290214 \\ 0,222222 \\ 0,359301 \\ 0,136365 \\ -0,200309 \\ -0,378172 \\ -0,309655 \end{vmatrix}$$

$$\Rightarrow U_3^{(5)} = \begin{vmatrix} -1,000000 \\ 0,765719 \\ 1,238057 \\ 0,469878 \\ -0,690212 \\ -1,303082 \\ -1,066990 \end{vmatrix}$$

$$Y_1^{(5)} = 1,175145 \cdot 10^{-4}$$

$$Y_2^{(5)} = 2,249988 \cdot 10^{-4}$$

$$\bar{U}_3^{(5)c} = \begin{vmatrix} -0,999892 \\ 0,765694 \\ 1,237860 \\ 0,469647 \\ -0,690426 \\ -1,303228 \\ -1,067086 \end{vmatrix} \Rightarrow U_3^{(5)c} = \begin{vmatrix} -1,000000 \\ 0,765777 \\ 1,237994 \\ 0,469698 \\ -0,690500 \\ -1,303369 \\ -1,067201 \end{vmatrix}$$

$$\bar{U}_3^{(6)} = D \cdot U_3^{(5)c} = \begin{vmatrix} -0,287291 \\ 0,225145 \\ 0,347325 \\ 0,128678 \\ -0,195805 \\ -0,364699 \\ -0,298024 \end{vmatrix} \Rightarrow U_3^{(6)} = \begin{vmatrix} -1,000000 \\ 0,783682 \\ 1,208965 \\ 0,447901 \\ -0,681556 \\ -1,269440 \\ -1,037359 \end{vmatrix}$$

$$Y_1^{(6)} = 1,269899 \cdot 10^{-4}$$

$$Y_2^{(6)} = 2,214937 \cdot 10^{-4}$$

$$\bar{U}_3^{(6)c} = \begin{vmatrix} -0,999905 \\ 0,783647 \\ 1,208763 \\ 0,447667 \\ -0,681771 \\ -1,269586 \\ -1,037455 \end{vmatrix} \Rightarrow U_3^{(6)c} = \begin{vmatrix} -1,000000 \\ 0,783721 \\ 1,208878 \\ 0,447709 \\ -0,681836 \\ -1,269707 \\ -1,037554 \end{vmatrix}$$

$$\bar{U}_3^{(7)} = D \cdot U_3^{(6)c} = \begin{vmatrix} -0,285497 \\ 0,226938 \\ 0,339974 \\ 0,123900 \\ -0,193054 \\ -0,356372 \\ -0,290834 \end{vmatrix} \Rightarrow U_3^{(7)} = \begin{vmatrix} -1,000000 \\ 0,794887 \\ 1,190815 \\ 0,433980 \\ -0,676203 \\ -1,248251 \\ -1,018694 \end{vmatrix}$$

$$Y_1^{(7)} = 1,10082 \cdot 10^{-4}$$

$$Y_2^{(7)} = 2,16492 \cdot 10^{-4}$$

$$\bar{U}_3^{(7)c} = \begin{vmatrix} -0,999893 \\ 0,794865 \\ 1,190627 \\ 0,433759 \\ -0,676407 \\ -1,248391 \\ -1,018786 \end{vmatrix} \Rightarrow U_3^{(7)c} = \begin{vmatrix} -1,000000 \\ 0,794950 \\ 1,190754 \\ 0,433805 \\ -0,676479 \\ -1,248524 \\ -1,018895 \end{vmatrix}$$

$$\bar{U}_3^{(8)} = D \cdot U_3^{(7)c} = \begin{vmatrix} -0,284370 \\ 0,228066 \\ 0,335378 \\ 0,120894 \\ -0,191337 \\ -0,351139 \\ -0,286313 \end{vmatrix} \Rightarrow U_3^{(8)} = \begin{vmatrix} -1,000000 \\ 0,802004 \\ 1,179371 \\ 0,425129 \\ -0,672845 \\ -1,234795 \\ -1,006832 \end{vmatrix}$$

$$Y_1^{(8)} = 1,11993 \cdot 10^{-4}$$

$$Y_2^{(8)} = 2,15478 \cdot 10^{-4}$$

$$\bar{U}_3^{(8)c} = \begin{vmatrix} -0,999896 \\ 0,801980 \\ 1,179183 \\ 0,424908 \\ -0,673049 \\ -1,234935 \\ -1,006924 \end{vmatrix} \Rightarrow U_3^{(8)c} = \begin{vmatrix} -1,000000 \\ 0,802063 \\ 1,179305 \\ 0,424952 \\ -0,673119 \\ -1,235063 \\ -1,007029 \end{vmatrix}$$

$$\bar{U}_3^{(9)} = D \cdot U_3^{(8)c} = \begin{vmatrix} -0,283656 \\ 0,228780 \\ 0,332468 \\ 0,118984 \\ -0,190231 \\ -0,347817 \\ -0,283442 \end{vmatrix} \Rightarrow \bar{U}_3^{(9)} = \begin{vmatrix} -1,000000 \\ 0,806540 \\ 1,172082 \\ 0,419466 \\ -0,670640 \\ -1,226193 \\ -0,999246 \end{vmatrix}$$

$$Y_1^{(9)} = 1,235449 \cdot 10^{-4}$$

$$Y_2^{(9)} = 2,615824 \cdot 10^{-4}$$

$$\bar{U}_3^{(9)c} = \begin{vmatrix} -0,999862 \\ 0,806522 \\ 1,171862 \\ 0,419205 \\ -0,670883 \\ -1,226360 \\ -0,999356 \end{vmatrix} \Rightarrow \bar{U}_3^{(9)c} = \begin{vmatrix} -1,000000 \\ 0,806633 \\ 1,172024 \\ 0,419263 \\ -0,670975 \\ -1,226529 \\ -0,999494 \end{vmatrix}$$

$$\bar{U}_3^{(10)} = D \cdot U_3^{(9)c} = \begin{vmatrix} -0,283186 \\ 0,229250 \\ 0,330609 \\ 0,117751 \\ -0,189577 \\ -0,345717 \\ -0,281624 \end{vmatrix} \Rightarrow \bar{U}_3^{(10)} = \begin{vmatrix} -1,000000 \\ 0,809539 \\ 1,167463 \\ 0,415808 \\ -0,669444 \\ -1,220813 \\ -0,994484 \end{vmatrix}$$

$$Y_1^{(10)} = 1,15761 \cdot 10^{-4}$$

$$Y_2^{(10)} = 1,4386 \cdot 10^{-4}$$

$$\bar{U}_3^{(10)c} = \begin{vmatrix} -0,999972 \\ 0,809487 \\ 1,167310 \\ 0,415638 \\ -0,669600 \\ -1,220916 \\ -0,994551 \end{vmatrix} \Rightarrow \bar{U}_3^{(10)c} = \begin{vmatrix} -1,000000 \\ 0,809510 \\ 1,167343 \\ 0,415650 \\ -0,669619 \\ -1,220950 \\ -0,994579 \end{vmatrix}$$

Par suite on va déterminer f tel que

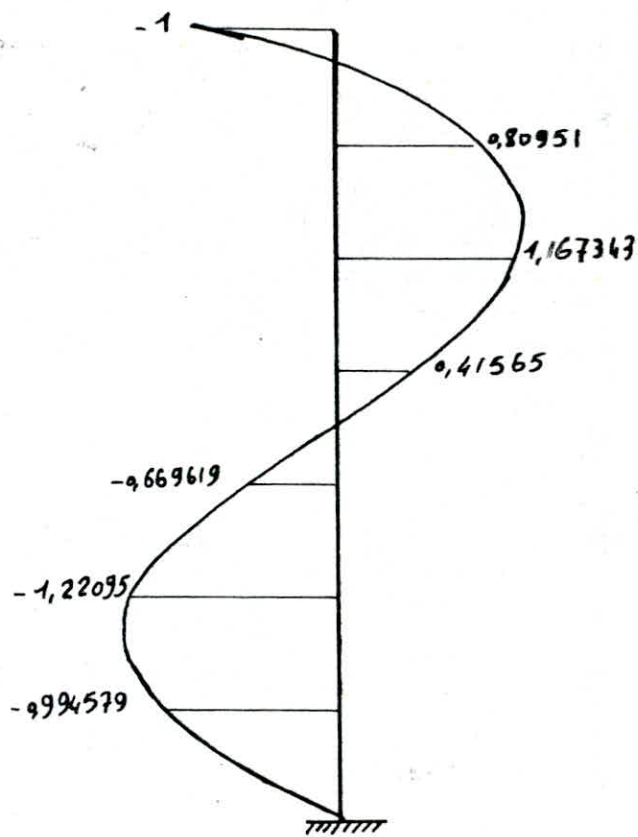
$$\{f\} = [K] \cdot \{U_3\} = \begin{vmatrix} -321,73088 \\ 258,10817 \\ 389,85747 \\ 144,77198 \\ -231,72909 \\ -443,01155 \\ -385,05686 \end{vmatrix} \Rightarrow \omega_3^2 = g \cdot \sum_{i=1}^7 f_i \cdot U_i / \sum_{i=1}^7 m_i \cdot U_i^2$$

$$\omega_3^2 = 981 \cdot 1780,3572 / 599,90701 = 2911,3351$$

$$\omega_3 = 53,95679 ; T_3 = 2 \cdot \pi / \omega_3 = 0,116 \text{ s}$$

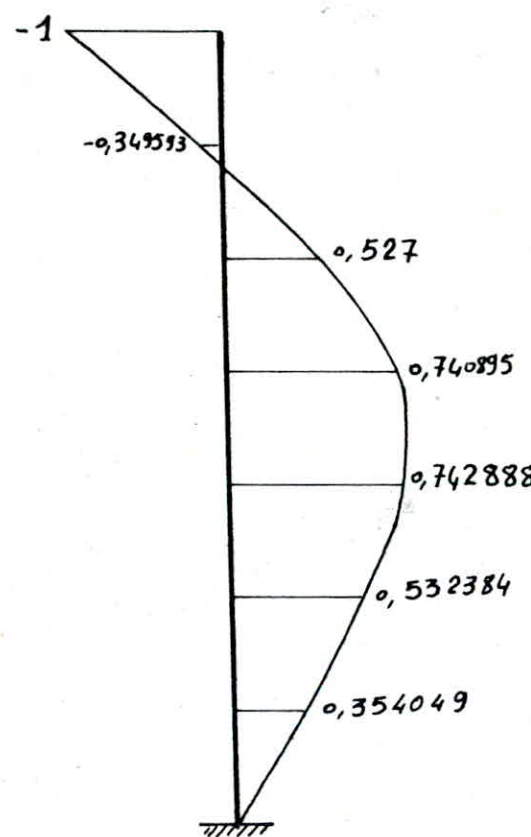
$$\underline{T_3 = 0,116 \text{ s}}$$

MODE 3



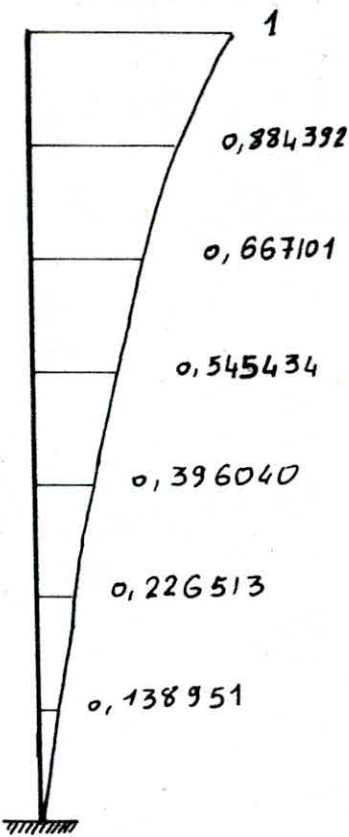
$$T_3 = 0,1164485 \text{ s}$$

MODE 2



$$T_2 = 0,17804 \text{ s}$$

MODE 1



$$T_1 = 0,4223 \text{ s}$$

D - CALCUL DES COEFICIENTS SISMIQUES

- Coeficient d'intensité : $\alpha = 1,5$ (zone II, ouvrage important)
- Coeficient de réponse : $\beta = 0,09 \sqrt[4]{T^3} = 0,174$
- Coeficient de fondation : $\delta = 1$ radier
- Coeficient de distribution : $\gamma = A(h) \cdot \sum M(h) \cdot a(h) / \sum M(h) \cdot A^2(h)$

Niv	M(h)	A(h)	M.A	M.A ²	γ	G _H	F _H	S _{IH}
7	91,1	5,909	538,31	3180,87	1,379	0,36	32,79	10,93
6	90,6	5,396	479,82	2589,09	1,259	0,33	29,79	9,93
5	94,2	4,374	412,03	1802,22	1,021	0,27	25,10	8,37
4	97,8	3,739	365,67	1367,25	0,873	0,23	22,28	7,43
3	97,8	2,878	281,47	810,06	0,672	0,17	17,15	5,72
2	102,3	1,791	183,22	328,14	0,418	0,11	11,16	3,72
1	109	1,154	125,78	145,16	0,269	0,07	7,66	2,55
Σ		2386,3	10222,79					

Calcul de W pour la portique intermédiaire

$$S = 3 \cdot 6 = 18 \text{ m}^2$$

terrasse

Plancher	0,82. 18	= 14,76 t
Acroterre		= 1,5 t
Poutres long		= 3,6 t
Poutre trans		= 3,6 t
Poteaux		= 2,16 t
Escalier		= 1 t
		G = 26,6 t
		P = 11,25 t

$$W = G + P = 37,85 \text{ t}$$

Niveau 6

Plancher	9 t
Poutres	7,2 t
Murs	5,75 t
Escalier	2 t
Poteaux	4,32 t

$$\begin{aligned} G &= 28,27 \text{ t} \\ P &= 11,25 \text{ t} \end{aligned} \quad W = G + P = 39,52 \text{ t}$$

Niveau 5

Plancher	9	t
Poutres	7,2	t
Poteaux	5,55	t
Murs	5,75	t
Escalier	2	t
G =	29,5	t
P =	11,25	t
		<u>W = 40,75 t</u>

Niveau 4 et 3

Plancher	9	t
Poutres	7,2	t
Poteaux	6,8	t
Murs	5,75	t
Escalier	2	t
G =	30,75	t
P =	11,25	t
		<u>W = 42 t</u>

Niveau 2

Plancher	9	t
Poutres	7,2	t
Poteaux	8,23	t
Murs	5,75	t
Escalier	2	t
G =	33,18	t
P =	11,25	t
		<u>W = 43,43 t</u>

Niveau 1

Plancher	9	t
Poutres	7,2	t
Poteaux	10,45	t
Murs	5,75	t
Escalier	2	t
G =	34,4	t
P =	11,25	t
		<u>W = 45,65 t</u>

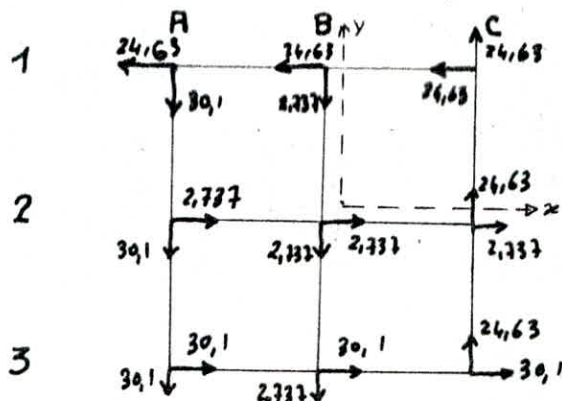
$$\text{Coef. sismique } \kappa > 1 \Rightarrow \bar{\tau}_V = \bar{\tau}_H / \sqrt{\kappa}$$

Niveau	$\bar{\tau}_V$	W	F_V (t)	f_V (t/ml)
7	0,294	37,85	11,125	1,854
6	0,268	39,52	10,606	1,768
5	0,217	40,75	8,850	1,475
4	0,186	42	7,819	1,303
3	0,143	42	6,001	1,00
2	0,089	43,43	3,865	0,644
1	0,057	45,65	2,609	0,435

$$I = TORSION \quad I = 6/6 = 1 \Rightarrow e = 5.6/100 = 0,3 \text{ m}$$

P	x	y	$I \cdot 10^4$	$x^2 \cdot I$	$y^2 \cdot I$	x.I	y.I	K.yI	K.xI
A1	-3,3	2,7	108	1176,12	787,32	-356,4	291,6	24,63	30,1
B1	-0,3	//	//	9,72	//	-32,4	//	//	2,737
C1	2,7	//	//	787,32	//	291,6	//	//	24,63
A2	-3,3	-0,3	//	1176,12	9,72	-356,4	-32,4	2,737	30,1
B2	-0,3	-0,3	//	9,72	//	-32,4	//	//	2,737
C2	2,7	//	//	787,32	//	291,6	//	//	24,63
A3	-3,3	-3,3	//	1176,12	1176,12	-356,4	-356,4	30,1	30,1
B3	-0,3	//	//	9,72	//	-32,4	//	//	2,737
C3	2,7	//	//	787,32	//	291,6	//	//	24,63
Σ				5919,48	5919,48				

$$J = 11838,96 \cdot 10^{-4} ; K = 0,8447$$



$$S_{Tx} = S_{Ty} = 90,3 \cdot 10^{-3} \cdot M_T ; M_T = F_H \cdot e = 0,3 \cdot F_H$$

	7	6	5	4	3	2	1
M _T	9,234	7,683	7,137	6,342	5,067	3,216	2,214
S _T	0,83	0,69	0,64	0,57	0,46	0,29	0,2

Forces horizontales totals agissant sur la super structure

	7	6	5	4	3	2	1
S _{IH}	10,93	9,93	8,37	7,43	5,72	3,72	2,55
S _{TH}	0,83	0,69	0,64	0,57	0,46	0,29	0,2
F _H	11,76	10,62	9,01	8,10	6,18	4,01	2,75

Moments en tête et à la base des poteaux

Niv	F _j	f ₁	f ₂	x.h	M _{S1}	M _{S2}	β.h	M _{n1}	M _{n2}
7	11,76	3,618	4,523	2,34	8,467	10,584	1,26	4,558	5,699
6	22,38	6,886	8,607	2,16	14,874	18,592	1,44	9,916	12,395
5	31,39	9,658	12,073	1,98	19,124	23,905	1,62	15,647	19,558
4	39,49	12,151	15,188	1,8	21,871	27,339	1,8	21,871	27,339
3	45,67	14,052	17,565	1,8	25,294	31,617	1,8	25,294	31,617
2	49,68	15,286	19,108	1,8	27,515	34,394	1,8	27,515	34,394
1	52,43	16,132	20,165	1,66	26,780	33,474	2,48	40,008	50,010

Moments dans les traverses

Niv	Noeud	M _n	M _s	Kw Kw+Ke	Mw	Ke Kw+Ke	Me
7	1	0	8,467	0	0	1	- 8,467
	2	0	10,584	0,5	-5,292	0,5	- 5,292
6	1	4,558	14,874	0	0	1	-20,432
	2	5,699	18,592	0,5	-12,145	0,5	-12,145
5	1	9,916	19,124	0	0	1	-29,04
	2	12,395	23,905	0,5	-18,15	0,5	-18,15
4	1	15,647	21,971	0	0	1	-37,518
	2	19,558	27,339	0,5	-23,448	0,5	-23,448
3	1	21,871	25,294	0	0	1	-47,165
	2	27,339	31,617	0,5	-29,478	0,5	-29,478
2	1	25,294	27,515	0	0	1	-52,809
	2	31,617	34,394	0,5	-33,005	0,5	-33,005
1	1	27,515	26,78	0	0	1	-54,295
	2	34,394	33,474	0,5	-33,934	0,5	-33,934

Moments en travée

Niv	tra	1	M _e ¹⁻¹	M _w ¹	M _t	T _e ¹⁻¹	T _w ¹
7	1-2	2,6	-8,467	-5,292	1,587	9,292	- 9,292
6	1-2	2,6	-20,432	-12,124	4,143	12,529	-12,529
5	1-2	2,6	-29,04	-18,15	5,487	18,182	-18,182
4	1-2	2,6	-37,518	-23,448	7,035	23,448	-23,448
3	1-2	2,6	-47,165	-29,478	8,843	29,478	-29,478
2	1-2	2,6	-52,809	-33,005	9,902	33,005	-33,005
1	1-2	2,6	-54,295	-33,934	10,180	33,965	-33,965

Efforts normaux sous S_{TH}

Niv	Poteau	T ¹ _w	T ¹ _e	N	N _{cumulé}
7	1	0	9,292	9,292	9,292
	2	-9,292	9,292	18,584	18,584
6	1	0	12,529	12,529	21,821
	2	-12,529	12,529	25,058	43,642
5	1	0	18,182	18,182	40,003
	2	-18,182	18,182	36,364	80,006
4	1	0	23,448	23,448	63,451
	2	-23,448	23,448	46,896	126,902
3	1	0	29,478	29,478	92,929
	2	-29,478	29,478	58,956	185,858
2	1	0	33,005	33,005	125,934
	2	-33,005	33,005	66,01	251,868
1	1	0	33,965	33,965	159,899
	2	-33,965	33,965	67,130	319,798

ETUDE AU VENT

$$q = (46 + 0,7 h) \cdot K_r \cdot K_s$$

Region II ; Site exposé

$$K_r = 1,4 ; K_s = 1,3$$

$$h = 25,74 \text{ m}$$

$$q = 118 \text{ kg/m}^2$$

Portique intermédiaire

$$P = 1,25 \cdot p \cdot l / 2 = 442,5 \text{ kg}$$

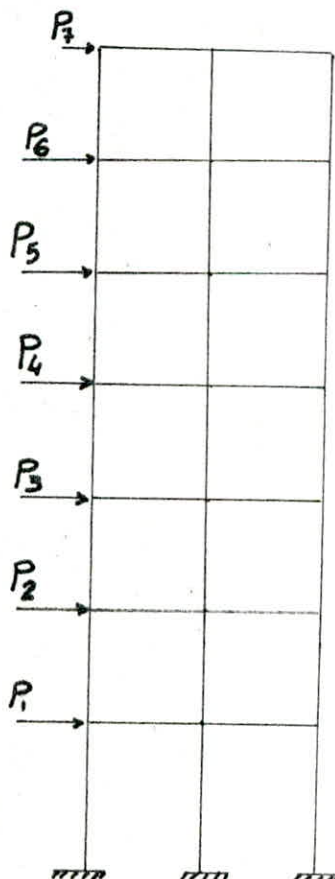
$$P_7 = p \cdot h / 2 = 0,8 \text{ t}$$

$$P_6 = P_5 = P_4 = P_3 = P_2 = 1,6 \text{ t}$$

$$P_1 = 0,5 \cdot p \cdot (3,6 + 4,14) = 1,7 \text{ t}$$

$$f_1 = f'_1 = 0,8 \cdot \sum F_j / 2,6$$

$$f_2 = \sum F_j / 2,6$$



Moments en tête et à la base des poteaux

Niv	F _j	f ₁ =f' ₁	f ₂	$\alpha \cdot h$	M _{S1}	M _{S2}	$\beta \cdot h$	M _{n1}	M _{n2}
7	0,80	0,25	0,31	2,35	0,58	0,72	1,26	0,31	0,39
6	2,4	0,74	0,92	2,16	1,59	1,99	1,44	1,06	1,33
5	4	1,23	1,54	1,98	2,44	3,05	1,62	1,99	2,49
4	5,6	1,72	2,15	1,8	3,1	3,87	1,8	3,10	3,87
3	7,2	2,21	2,77	1,8	3,99	4,98	1,8	3,99	4,98
2	8,8	2,7	3,38	1,8	4,87	6,09	1,8	4,87	6,09
1	10,5	3,23	4,04	1,66	5,36	6,70	2,48	8,01	10

Moments dans les traverses

Niv	Noeud	M _n	M _s	K _w K _{w+Ke}	M _w	K _e K _{w+Ke}	M _e
7	1	0	0,58	0	0	1	- 0,58
	2	0	0,72	0,5	-0,36	0,5	- 0,36
6	1	0,31	1,59	0	0	1	- 1,90
	2	0,39	1,99	0,5	-1,19	0,5	- 1,19
5	1	1,06	2,44	0	0	1	- 3,5
	2	1,33	3,05	0,5	-2,19	0,5	- 2,19
4	1	1,99	3,10	0	0	1	- 5,09
	2	2,49	3,87	0,5	-3,18	0,5	- 3,18
3	1	3,10	3,99	0	0	1	- 7,09
	2	3,87	4,98	0,5	-4,42	0,5	- 4,42
2	1	3,99	4,87	0	0	1	- 8,86
	2	4,98	6,09	0,5	-5,53	0,5	- 5,53
1	1	4,87	5,36	0	0	1	-10,23
	2	6,09	6,70	0,5	-6,40	0,5	- 6,40

Moments en travée efforts tranchants

Niv	Noeud	I	M _t	T _e ¹⁻¹	T _w ¹
7	1-2	2,6	0,11	0,363	-0,363
6	1-2	2,6	0,355	1,184	-1,184
5	1-2	2,6	0,655	2,180	-2,180
4	1-2	2,6	0,955	3,177	-3,177
3	1-2	2,6	1,335	4,413	-4,413
2	1-2	2,6	1,665	5,535	-5,535
1	1-2	2,6	1,915	6,397	-6,397

Niv	Poteau	N	N _t
7	1	0,363	0,363
	2	0,726	0,726
6	1	1,184	1,547
	2	2,368	3,094
5	1	2,18	3,727
	2	4,36	7,454
4	1	3,177	6,904
	2	6,354	13,808
3	1	4,413	11,317
	2	8,826	22,634
2	1	5,535	16,852
	2	11,07	33,704
1	1	6,397	23,249
	2	12,794	46,498

Niv	7	6	5	4 et 3	2	1	
Noeud	1	2	1	2	1	2	1
l_w	0	2,6	0	2,6	0	2,6	0
l_e	2,6	2,6	2,6	2,6	2,6	2,6	2,6
h_n	0	0	3,6	3,6	3,6	3,6	3,6
h_s	3,6	3,6	3,6	3,6	3,6	3,6	3,6
$10^4 I_{ew}$	72	72	72	72	72	72	72
$10^4 I_n$	0	0	21,33	21,33	21,33	52,08	52,08
$10^4 I_s$	21,33	21,33	21,33	21,33	52,08	52,08	108
l'_w	0,00	2,08	00	2,08	00	2,08	0,00
l'_e	2,08	2,08	2,08	2,08	2,08	2,08	2,08
h'_n	00	00	3,24	3,24	2,88	2,88	2,88
h'_s	2,88	2,88	2,88	2,88	2,88	2,88	4,14
$10^4 K_w$	00	3,46	00	3,46	00	3,46	00
$10^4 K_e$	3,46	3,46	3,46	3,46	3,46	3,46	3,46
$10^4 K_n$	00	00	6,58	6,58	7,4	18,08	18,08
$10^4 K_s$	7,4	7,4	7,4	7,4	18,08	18,08	37,75
$10^4 D$	10,86	14,32	17,44	20,90	28,94	32,40	39,62
					43,08	59,29	62,75
						67,29	70,75

103

CARACTERISTIQUES GEOMETRIQUES

MOMENTS SOUS CHARGES VERTICALES G . P . S_{IV}

Niveau	Noeud	q_w	q_e	M_w	M_e	M_n	M_s
G	7	1 00 2 4,43	4,43 4,43	00 2,255	1,574 2,255	00 00	1,574 00
	6	1 00 2 4,70	4,70 4,70	00 2,390	1,915 2,390	0,902 00	1,015 00
	5	1 00 2 4,91	4,91 4,91	00 2,499	2,20 2,499	0,639 00	1,57 00
	4	1 00 2 5,125	5,125 5,125	00 2,608	2,38 2,608	1,19 00	1,19 00
	3	1 00 2 5,125	5,125 5,125	00 2,608	2,38 2,608	1,19 00	1,19 00
	2	1 00 2 5,53	5,53 5,53	00 2,815	2,65 2,815	0,858 00	1,792 00
	1	1 00 2 5,73	5,73 5,73	00 2,916	2,766 2,916	1,636 00	1,13 00
P	7	1 00 2 1,875	1,875 1,875	00 0,954	0,65 0,954	00 00	0,65 00
	6	1 00 2 1,875	1,875 1,875	00 0,954	0,765 0,954	0,36 00	0,405 00
	5	1 00 2 1,875	1,875 1,875	00 0,954	0,84 0,954	0,244 00	0,596 00
	4	1 00 2 1,875	1,875 1,875	00 0,954	0,871 0,954	0,435 00	0,435 00
	3	1 00 2 1,875	1,875 1,875	00 0,954	0,871 0,954	0,435 00	0,435 00
	2	1 00 2 1,875	1,875 1,875	00 0,954	0,898 0,954	0,291 00	0,607 00
	1	1 00 2 1,875	1,875 1,875	00 0,954	0,905 0,954	0,509 00	0,352 00
S _{IV}	7	1 00 2 1,854	1,854 1,854	00 0,943	0,64 0,943	00 00	0,64 00
	6	1 00 2 1,768	1,768 1,768	00 0,9	0,72 0,9	0,339 00	0,382 00
	5	1 00 2 1,475	1,475 1,475	00 0,75	0,661 0,75	0,192 00	0,469 00
	4	1 00 2 1,303	1,303 1,303	00 0,663	0,605 0,663	0,302 00	0,302 00
	3	1 00 2 1	1 1	00 0,509	0,464 0,509	0,232 00	0,232 00
	2	1 00 2 0,644	0,644 0,644	00 0,328	0,308 0,328	0,1 00	0,209 00
	1	1 00 2 0,435	0,435 0,435	0,0 0,221	0,210 0,221	0,124 00	0,086 00

*	Niveau	T_e^{i-1}	T_w^i	M_t	Poteau	N	$N_{cumulé}$
G	7	5,497	-6,021	1,829	1 2	-5,497 12,042	5,497 12,042
	6	5,927	-6,292	1,819	1 2	5,927 12,584	11,424 24,626
	5	6,268	-6,498	1,799	1 2	6,268 12,992	17,692 37,622
	4	6,575	-6,750	1,836	1 2	6,575 13,50	24,267 51,122
	3	6,575	-6,750	1,836	1 2	6,575 13,50	30,842 64,622
	2	7,125	-7,252	1,94	1 2	7,125 14,504	37,967 79,126
	1	7,391	-7,436	2,00	1 2	7,391 14,872	45,358 93,998
P	7	2,32	-2,554	0,782	1 2	2,32 5,008	2,32 5,008
	6	2,365	-2,51	0,725	1 2	2,363 5,02	4,685 10,028
	5	2,393	-2,481	0,687	1 2	2,393 4,962	7,078 14,99
	4	2,405	-2,469	0,672	1 2	2,405 4,938	9,483 19,928
	3	2,405	-2,469	0,672	1 2	2,405 4,938	11,888 24,866
	2	2,416	-2,459	0,658	1 2	2,416 4,918	14,304 29,784
	1	2,418	-2,456	0,655	1 2	2,418 4,912	16,722 34,696
S _{IV}	7	2,293	-2,526	0,775	1 2	2,293 5,052	2,293 5,052
	6	2,229	-2,368	0,684	1 2	2,229 4,736	4,522 9,788
	5	1,883	-1,951	0,625	1 2	1,883 3,902	6,405 13,69
	4	1,671	-1,716	0,467	1 2	1,671 3,432	8,076 17,122
	3	1,282	-1,317	0,358	1 2	1,282 2,634	9,358 19,756
	2	0,829	-0,845	0,226	1 2	0,829 1,690	10,187 21,446
	1	0,451	-0,570	0,152	1 2	0,451 1,140	10,638 22,586

EFFORTS TRANCHANTS . MOMENTS EN TRAVEE . EFFORTS NORMAUX

SUPERPOSITION DES SOLlicitATIONS DES MOMENTS
FLECHISSANTS DANS LES POUTRES

	Niv	7	6	5	4	3	2	1
	Tr	1-2	1-2	1-2	1-2	1-2	1-2	1-2
G	M _w	- 2,255	- 2,390	- 2,499	- 2,608	- 2,608	- 2,815	- 2,766
	M _e	- 1,574	- 1,915	- 2,2	- 2,38	- 2,38	- 2,65	- 2,916
P	M _w	- 0,954	- 0,954	- 0,954	- 0,954	- 0,954	- 0,954	- 0,954
	M _e	- 0,65	- 0,765	- 0,84	- 0,871	- 0,871	- 0,898	- 0,905
V	M _w	- 0,36	- 1,19	- 2,19	- 3,18	- 4,42	- 5,53	- 6,4
	M _e	- 0,58	- 1,9	- 3,5	- 5,09	- 7,09	- 8,86	- 10,23
S↓	M _w	- 0,943	- 0,9	- 0,75	- 0,663	- 0,509	- 0,328	- 0,221
	M _e	- 0,64	- 0,72	- 0,661	- 0,605	- 0,464	- 0,308	- 0,21
S→	M _w	- 5,292	- 12,145	- 18,15	- 23,448	- 29,478	- 33,005	- 33,934
	M _e	- 8,467	- 20,432	- 29,124	- 37,518	- 47,165	- 52,809	- 54,295
G+1,2P	M _w	- 3,4	- 3,53	- 3,644	- 3,753	- 3,753	- 3,960	- 3,911
	M _e	- 2,345	- 2,833	- 3,208	- 3,425	- 3,425	- 3,728	- 4,002
G+P+V	M _w	- 3,569	- 4,531	- 5,643	- 6,742	- 7,982	- 9,299	- 10,120
	M _e	- 2,804	- 4,58	- 6,54	- 8,341	- 10,341	- 12,408	- 14,051
G+P+S↓+S→	M _w	- 9,444	- 16,389	- 22,353	- 27,673	- 33,549	- 37,102	- 37,875
	M _e	- 11,331	- 23,832	- 32,825	- 41,374	- 50,88	- 55,946	- 58,326
G*P*S↓	M _w	0,78	7,901	13,947	19,223	25,407	28,908	29,993
	M _e	5,603	17,032	25,423	33,662	43,45	48,953	50,264
G*P*S↑	M _w	- 8,724	- 14,589	- 20,853	- 26,347	- 32,531	- 36,446	- 37,433
	M _e	- 10,051	- 22,392	- 31,503	- 40,164	- 49,952	- 55,33	- 57,906
G*P*S↑	M _w	1,5	9,701	15,447	20,549	26,425	29,564	30,435
	M _e	0,883	18,472	26,745	34,872	44,378	49,569	50,684
G ^{1,5(Px)}	M _w	- 4,226	- 5,601	- 7,215	- 8,809	- 10,669	- 12,541	- 13,797
	M _e	- 3,419	- 5,912	- 8,710	- 11,321	- 13,321	- 17,287	- 19,618

	Niv	7	6	5	4	3	2	1
	tra	1 - 2	1 - 2	1 - 2	1 - 2	1 - 2	1 - 2	1 - 2
G	Tw	- 6,021	- 6,292	- 6,498	- 6,750	- 6,750	- 7,252	- 7,436
	Te	5,497	5,927	6,268	6,575	6,575	7,125	7,391
	Mt	1,829	1,819	1,799	1,836	1,836	1,940	2
P	Tw	- 2,554	- 2,51	- 2,481	- 2,469	- 2,469	- 2,459	- 2,456
	Te	2,320	2,365	2,392	2,405	2,405	2,416	2,418
	Mt	0,782	0,725	0,687	0,672	0,672	0,658	0,655
V	Tw	- 0,363	- 1,184	- 2,180	- 3,177	- 4,413	- 5,535	- 6,397
	Te	- 0,363	- 1,184	- 2,180	- 3,177	- 4,413	- 5,535	- 6,397
	Mt	0,11	0,355	0,655	0,955	1,335	1,665	1,915
S↓	Tw	- 2,526	- 2,368	- 1,951	- 1,716	- 1,317	- 0,845	- 0,57
	Te	2,293	2,229	1,883	1,671	1,282	0,829	0,451
	Mt	0,775	0,684	0,625	0,467	0,358	0,226	0,152
S↑	Tw	- 9,292	- 12,529	- 18,182	- 23,448	- 29,478	- 33,005	- 33,965
	Te	- 9,292	- 12,529	- 18,182	- 23,448	- 29,478	- 33,005	- 33,965
	Mt	1,587	4,143	5,487	7,035	8,843	9,902	10,18
G+1,2P	Tw	- 9,086	- 9,304	- 9,475	- 9,713	- 9,713	- 10,203	- 10,383
	Te	8,281	8,765	9,138	9,636	9,636	10,024	10,293
	Mt	2,767	2,689	2,623	2,642	2,642	2,730	2,982
GxPxN	Tw	- 8,938	- 9,986	- 11,159	- 12,395	- 13,568	- 15,246	- 16,289
	Te	8,18	9,476	11,84	12,395	13,568	15,076	16,206
	Mt	2,721	2,899	3,141	3,463	3,843	4,263	4,57
GxPxSxS	Tw	- 20,393	- 23,699	- 29,112	- 34,383	- 40,014	- 43,563	- 44,427
	Te	- 0,818	- 2,008	- 7,639	- 12,797	- 19,216	- 22,635	- 23,705
	Mt	4,973	7,381	8,598	10,01	11,709	12,716	12,978
GxPxSxS'	Tw	- 1,809	- 1,359	7,252	12,513	18,942	22,449	23,503
	Te	19,402	23,05	28,725	34,009	39,740	43,375	44,225
	Mt	1,799	- 0,915	- 2,376	- 4,060	- 5,977	- 7,088	- 7,373
GxPxSxS''	Tw	- 15,341	- 18,963	- 25,210	- 30,951	- 37,380	- 41,873	- 43,287
	Te	3,768	- 6,466	- 11,405	- 16,139	- 21,78	- 24,293	- 24,607
	Mt	3,423	6,013	7,348	9,076	10,993	12,264	12,683
GxPxSxS'''	Tw	3,243	6,095	11,154	15,945	22,576	24,139	24,643
	Te	14,816	18,592	24,959	30,757	37,176	41,717	43,323
	Mt	0,249	- 2,283	- 3,626	- 4,994	- 6,693	- 7,54	- 7,677
GxPxPx	Tw	- 10,396	- 11,833	- 13,490	- 15,219	- 16,977	- 19,243	- 21,515
	Te	9,521	11,250	13,126	14,948	16,802	19,051	21,413
	Mt	3,167	3,439	3,812	4,276	4,846	5,424	5,855

EFFORTS TRANCHANTS . MOMENTS EN TRAVEE

Niveau			7		6		5		4	
Poteau			1	2	1	2	1	2	1	2
G	Mn	0,902	0	0,639	0	1,19	0	1,19	0	
	Ms	1,574	0	1,015	0	1,57	0	1,19	0	
	N	25,497	12,042	11,424	24,626	17,692	37,622	24,267	51,122	
P	Mn	0,36	0	0,244	0	0,435	0	0,435	0	
	Ms	0,65	0	0,405	0	0,596	0	0,435	0	
	N	2,32	5,008	4,685	10,028	7,078	14,99	9,483	19,928	
V	Mn	0,31	0,39	1,06	1,33	1,99	2,49	3,1	3,87	
	Ms	0,58	0,72	1,59	1,99	2,44	3,05	3,1	3,87	
	N	0,363	0,726	1,547	3,094	3,227	7,454	6,904	13,808	
S+	Mn	0,339	0	0,192	0	0,302	0	0,232	0	
	Ms	0,64	0	0,382	0	0,469	0	0,302	0	
	N	2,293	5,052	4,522	9,788	6,405	13,69	8,076	12,122	
S-	Mn	4,558	5,699	9,916	12,395	15,647	19,558	21,871	27,339	
	Ms	8,567	10,584	14,874	18,592	19,124	23,905	21,871	27,339	
	N	9,292	18,584	21,821	43,642	40,003	80,006	63,451	126,902	
G _{12,0}	Mn	1,334	0	0,925	0	1,712	0	1,712	0	
	Ms	2,354	0	1,622	0	2,285	0	1,712	0	
	N	8,281	18,051	17,046	36,66	26,186	55,61	35,647	75,036	
G _{12,L}	Mn	1,572	0,39	1,936	1,33	3,615	2,49	4,725	3,87	
	Ms	2,804	0,72	3,01	1,99	4,606	3,05	4,725	3,87	
	N	8,18	17,776	17,656	37,748	27,992	60,066	40,654	84,858	
G _{12,S4,7}	Mn	6,159	5,699	10,991	12,395	17,574	19,558	23,728	27,339	
	Ms	11,431	10,584	16,676	18,592	21,759	23,903	23,798	27,339	
	N	19,402	40,686	42,452	88,084	71,179	146,308	105,277	210,074	
G _{12,S4,7}	Mn	-2,957	-5,699	-8,841	-12,395	-13,72	-19,558	-20,014	-27,339	
	Ms	-5,703	-10,584	-13,072	-18,592	-16,489	-23,905	-19,944	-27,339	
	N	0,818	40,686	-1,19	88,084	-8,828	146,308	-21,625	210,074	
G _{12,S4,7}	Mn	5,481	5,699	10,607	12,395	16,97	19,558	23,264	27,339	
	Ms	10,151	10,584	15,912	18,592	20,821	23,905	23,194	27,339	
	N	14,816	30,582	33,408	68,508	58,368	118,928	89,125	185,83	
G _{12,S4,7}	Mn	-3,635	-5,699	-9,033	-12,395	-14,324	-19,558	-20,478	-27,339	
	Ms	-6,983	-10,584	-13,836	-18,592	-17,427	-23,905	-20,548	-27,339	
	N	-3,766	30,582	-10,236	68,508	-21,638	118,928	-37,777	185,83	
G _{12,P4,V}	Mn	1,907	0,54	2,588	1,995	4,827	3,73	6,492	5,805	
	Ms	3,419	1,08	4,008	2,985	6,124	4,575	6,492	5,805	
	N	9,521	20,643	20,772	44,309	33,150	71,288	48,850	101,726	

EFFORTS NORMAUX . MOMENTS DANS LES POTEAUX

Niveau	3		2		1	
Poteau	1	2	1	2	1	2
G	Mn	0,858	0	1,636	0	0
	Ms	1,119	0	1,792	0	1,13
	N	30,842	64,622	37,967	79,126	45,358
P	Mn	0,291	0	0,509	0	0
	Ms	0,435	0	0,607	0	0,352
	N	11,888	24,866	14,304	29,784	16,722
V	Mn	3,99	4,98	4,87	6,09	8,01
	Ms	3,99	4,98	4,87	6,09	5,36
	N	11,317	22,634	16,852	33,704	33,249
S↓	Mn	0,1	0	0,124	0	0
	Ms	0,232	0	0,209	0	0,086
	N	9,358	19,756	10,187	21,446	10,638
S↑	Mn	25,294	31,617	27,515	34,394	40,008
	Ms	25,294	31,617	27,515	34,394	26,78
	N	92,929	185,858	125,868	251,868	159,899
G _{1/2,P}	Mn	1,207	0	2,247	0	0
	Ms	1,712	0	2,520	0	1,552
	N	45,108	94,461	55,132	114,867	65,424
G _{P,V}	Mn	5,139	4,98	7,015	6,09	8,01
	Ms	5,615	4,98	7,269	6,09	6,842
	N	54,047	112,122	69,123	142,614	85,329
G _{P,S+5}	Mn	26,543	31,617	29,784	34,394	40,008
	Ms	27,151	31,617	30,123	34,394	28,384
	N	145,017	295,102	188,392	381,802	232,617
G _{P,S+5} ↑	Mn	-24,045	-31,617	-25,246	-34,394	-40,008
	Ms	-23,437	-31,617	-24,907	-34,394	-25,212
	N	-40,841	295,102	-63,476	381,802	-87,181
G _{P,S+5}	Mn	26,343	31,617	29,536	34,394	40,008
	Ms	26,687	31,617	29,705	34,394	28,176
	N	126,301	255,59	168,018	338,91	211,341
G _{P,S+5} ↑	Mn	-21,245	-31,617	-25,494	-34,394	-40,008
	Ms	-23,901	-31,617	-25,323	-34,394	-25,384
	N	-59,557	255,59	-83,85	338,91	-108,457
G _{1,5(P,V)}	Mn	7,28	7,47	8,705	9,135	12,015
	Ms	7,828	7,47	10,008	9,135	9,698
	N	65,65	135,872	84,701	174,358	105,314

EFFORTS NORMAUX . MOMENTS DANS LES POTEAUX

FERRAILLAGE DES POUTRES

Niv	3		2		1	
	tra	ap	tra	ap	tra	ap
M	11,709	50,880	12,716	55,946	12,978	58,326
μ'	0,0345	0,1502	0,0375	0,1651	0,0383	0,1721
ε	0,9194	0,8532	0,9172	0,8473	0,9167	0,8445
K	47,000	18,900	45,500	17,650	45,000	17,150
α	0,2419	-	0,2483	-	0,2500	-
$\alpha \cdot h$	13,300	-	13,600	-	13,750	-
\bar{K}		20,430		20,43		20,43
μ'		0,1819		0,1819		0,1819
ε		0,8588		0,8588		0,8588
α		0,4237		0,4237		0,4237
y_1		23,300		23,300		23,300
M_1		45,230		45,230		45,230
M		5,6500		10,716		13,096
A	5,5	25,5	6	27,9	6,1	29
A'	-	4,7	-	8,86	-	10,81
A_{ad}	10T16	8T20 2T14	10T16	10T20	10T16	10T20
A'_{ad}		5T16		5T16		6T16

FERRAILLAGE DES POUTRES

Niv	7		6		5		4	
.	tra	ap	tra	ap	tra	ap	tra	ap
M	4,9730	11,3310	7,3810	23,832	8,5980	32,825	10,010	41,374
σ	0,0146	0,0334	0,0217	0,0703	0,0253	0,0969	0,0295	0,1221
ε	0,9463	0,9215	0,9355	0,8913	0,9308	0,9757	0,9259	0,8638
K	78,300	48,700	62,500	31,000	57,300	25,250	52,500	21,700
α	0,1613	-	0,1935	-	0,2075	-	0,2222	-
$\alpha \cdot h$	8,9000	-	11,410	-	12,221	-	13,300	-
A	2,3	5,32	3,4	11,6	4	16,2	4,7	20,7
A_{ad}	10 T 16 (20,1 cm ²)						8T20 (25,13cm ²)	

VERIFICATION

19 à la fissuration

Niveau	ϕ	B_f	A	w_f	σ_1	σ_2
7	16	500	21,10	0,0402	4301	3387
6	16	500	21,10	0,0402	4301	3387
5	16	500	21,10	0,0402	4301	3387
4	20	500	25,13	0,0503	4214	3028
3	20	500	28,21	0,0564	4328	3028
2	20	500	31,41	0,0628	4630	3028
1	20	500	31,41	0,0628	4630	3028

20) à la contrainte

Niv	.	M	A	w	ε	K	σ_a	σ_b'
7	tra ap	4,973 11,331	20,10 20,10	0,914	0,8652	22,1	1185	53,6
6	tra ap	7,381 23,832	/	/	/	/	2492	112,7
5	tra ap	8,598 32,825	/	/	/	/	3432	155,3
4	tra ap	10,01 41,374	/	/	/	/	1046 3451	47,3 152
3	tra ap	11,708 50,88	20,10 28,21	0,914 1,282	0,8652 0,8611	22,1 21,0	1224 3853	55,4 183,5
2	tra ap	12,978 55,946	20,10 31,41	0,914 1,428	0,8652 0,8551	22,1 19,5	1330 3787	60,1 194,0
1	tra ap	22,978 58,326	20,10 31,41	0,914 1,428	0,8652 0,8551	22,1 19,5	2402 3948	108,7 202,5

3°) Condition de non fragilité

$$A > 0,69 \cdot \bar{\sigma}_b \cdot b \cdot h / \sigma_{en} = 2,13 \quad (\text{vérifiées})$$

4°) à la flèche

$$\cdot h_t / l > 1/16 ; \quad 60/300 = 0,2 > 0,062$$

$$\cdot A < 43 \cdot b \cdot h / \sigma_{en} = 22,52 \quad \text{en travée A} = 20,10 \text{ cm}^2 \quad (\text{vérifiées})$$

La vérification au flèche est unitile

ARMATURES TRANSVERSALES

Niv	T _{max}	Z _b	A _t	T _{at}	t̄	t	t _{ad}
7	20,393	10,59	3,01	2241	25,4	19,9	15
6	23,699	12,31	3,01	2150	20,6	17,11	15
5	29,112	15,12	3,01	2003	12,7	13,9	13
4	34,383	17,86	3,01	1867	12,7	11,8	11
3	40,014	20,8	3,01	1867	12,7	10,13	10
2	43,563	22,6	3,01	1867	12,7	9,3	9
1	44,427	23,07	3,01	1867	12,7	9,13	9

NON ENTRAINEMENT

Niv	T	Z _d	Z̄d	b	c	2T/b · σ'₀
7	20,393	8,42	17,7	40	15	9,92
6	23,669	9,79	17,7	40	15	11,50
5	29,112	12,03	17,7	40	20	14,17
4	34,383	14,22	17,7	40	20	16,70
3	40,014	14,08	17,7	40	25	19,50
2	43,563	14,40	17,7	40	25	21,20
1	44,427	14,70	17,7	40	25	21,60

ARMATURES INFÉRIEURES

$$A \cdot \bar{\sigma}_a > T + M/z$$

T + M/z < 0 dans tous les cas, M étant pris avec son signe

Les armatures inférieures sont ancrées totalement au delà de l'appui et peuvent équilibrer un effort admissible égal à T + M/z.

FERRAILLAGE DES POTEAUX

1°) Flexion composée avec compression

Niv	7			6			5		
P	1		2	1		2	1		2
(*)	S_1	S_2	S_2	S_1	S_2	S_2	S_1	S_2	S_2
M	2,804	11,431	10,584	3,010	16,676	18,592	4,606	21,759	23,905
N	8,18	19,402	30,582	17,656	42,452	68,508	27,992	71,179	118,93
e _o	34,28	58,90	34,60	17,05	39,28	27,14	16,45	30,57	20,10
e	6,67	6,67	6,67	6,67	6,67	6,67	6,67	6,67	6,67
σ'_b	137	205,5	205,5	137	205,5	205,5	113,6	205,5	185,4
M _{at}	4,11	14,53	15,477	5,835	23,468	29,553	10,204	35,995	47,69
A	0,0446	0,1051	0,1119	0,0633	0,1698	0,2138	0,0567	0,1333	0,1766
E	0,9108	0,8718	0,8684	0,8960	0,8453	0,8045	0,9012	0,8590	0,8430
K	41	24	23	31,1	17,3	14,7	35,6	20,45	16,85
K̄	19,46	19,46	19,46	19,46	19,46	19,46	23,47	19,46	21,57
M _{ac}				9,88	7,63				0,119
f'_1				0,2203	0,2774				0,254
f'_2				0,0927	0,0716				0,0006
k				17	15				10,5
$\tilde{\omega}'$				0,21	0,68				0,18
$\tilde{\omega}$				0,66	0,62				0,32
A ₁	4,7	11,57	12,38	6,78			9,43	23,28	
A	1,63	6,7	4,73	0,16	9,5	8,9	0	5,48	7,2
A'					3	9,8			4,05
A _{ad}	3 T 20			3 T 25			3 T 32		
A _{ad}	3 T 20			3 T 25			3 T 32		

(SUITE)

Niv	4		3			2	
P	1	2	1	2	1	2	
(*)	S_1	S_2	S_1	S_2	S_1	S_2	S_2
M	4,725	23,798	27,339	5,615	27,151	31,617	7,269
M	40,654	105,28	185,83	54,047	145,02	255,59	69,123
e _o	11,62	22,6	14,71	10,39	18,72	12,37	10,516
e	8,33	8,33	8,33	8,33	8,33	8,33	10
σ'_b	100,3	195,6	163,2	104,08	179,7	153,59	97,3
M_a^t	12,856	44,85	64,505	16,42	56,154	82,735	23,858
M'	0,0714	0,1661	0,2389	0,0912	0,2080	0,3064	0,0767
E	0,8906	0,8465	0,8252	0,8788	0,8333	0,8099	0,8873
K	30,7	17,6	13,6	26,27	15	11,3	29,35
\bar{K}	26,58	20,45	24,50	25,62	22,26	26,04	27,50
M_a^c		2,743	-9,827		-1,852	-19,50	
M'_1		0,2264	0,3904		0,3086	0,532	0,2556
M'_2		0,8906	-0,060		-0,010	-0,125	-0,051
K		11	6		9	3	7
$\tilde{\omega}'$		0	1,04		0,54	1,70	0,06
$\tilde{\omega}$		0,52	0,64		0,26	0,00	0
A_1	12,03			15,57			18,67
A	0	11,7	14,4	0	6	0	0
A'		0	23,4		12,15	42,5	2,16
A_{ad}	3 T 32		3 T 32			8 T 32	
A'_{ad}	3 T 32		3 T 32			8 T 32	

Pour le poteau 2 sous S₂ on va calculer le ferrailage à partir de méthode de P. CHARROM

$$M = 50,01 \text{ t.m}$$

$$N = 426,102 \text{ t}$$

$$\rho = 1,736204 \quad | \Rightarrow C = 0,3000161$$

$$\beta = 1,1736636 \quad | \Rightarrow D = 0,5928159$$

$$E = -1,5808467$$

$$\omega' = 1,511 \quad A_1 = A_2' = 54,4 \text{ cm}^2$$

2°) Flexion composée avec traction poteau (1)

Niv	7	6	5	4	3	2	1
M	6,983	13,836	17,427	20,548	24,245	25,494	40,008
N	3,766	10,234	21,638	37,777	59,557	83,850	108,457
M _a ^t	6,380	12,198	13,100	12,993	12,336	5,370	13,978
M _a ^s	7,58	15,473	21,755	28,103	36,156	45,618	66,038
μ_1	0,0461	0,0882	0,0485	0,0481	0,0457	0,0115	0,0299
μ_2	0,0548	0,1119	0,0806	0,1040	0,1339	0,0978	0,1415
K	40,500	27,000	39,000	39,000	41,000	77,000	52,000
$\tilde{\omega}'$	0	0	0	0	0	0	0
ω	0,54	0,83	0,66	0,74	0,96	1,04	1,04
A	7,8	11,90	14,85	16,65	21,60	33,70	33,70
σ_b'	98,8	148,15	102,56	102,56	97,560	51,95	76,92
A _{ad}	3T20	3T25	3 T 32			8 T 32	

Chapitre VI

F O N D A T I O N S

F O N D A T I O N S

A - BLOCS ; T.G.M , C.S , S.P

Introduction: - Les fondations sont constituées par les ouvrages de transition entre les éléments porteurs de l'ossature et le sol . Dans notre cas, les fondations sont superficielles, on en trouve; semelles isolées, semelles continues sous mur, semelles à poutres de redressement, et radier (le cas de la tour) .

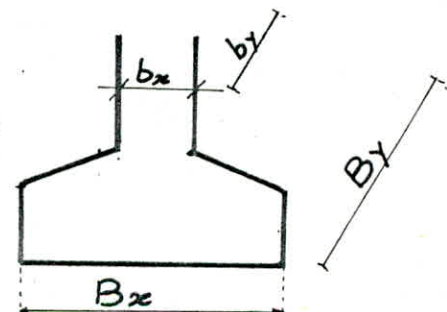
- Le rapport des sol a donné une contrainte admissible de 2 kg/cm^2 à 1,5 m .

- Les contraintes admissibles sont données pour des charges permanentes et variables normales (sans majoration des charges variables), sous l'effet sismique, on admet une majoration de 33 % sur les contraintes admissibles .

- La méthode de calcul est celle des bielles: Alors il n'est pas nécessaire de vérifier les conditions de poinçonnement de compression maximale du béton dans les bielles, de cisaillement maximal du béton et que, par surcroit il n'est pas nécessaire d'armer la semelle à l'effort tranchant par des cadres étrier et épingle s .

A -1 - Semelles isolées sous poteaux

- $b_x / b_y = B_x / B_y ; \sigma_s' > N'/S ; S = B_x \cdot B_y$
- $h \geq \max((B_y - b_y)/4 ; (B_x - b_x)/4)$
- $F_x = N(B_x - b_x)/8h ; F_y = N(B_y - b_y)/8h$
- Armatures : $A_x = F_x / \sigma_a ; A_y = F_y / \sigma_a$



a) Semelle sous voile longitudinal et poteaux (S.P, C.S)

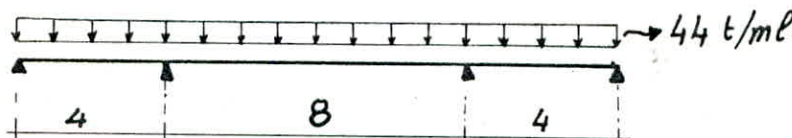
- Dimensionnement: $L = 16 \text{ m} ; B = N'/L = 150 \text{ cm}$ soit 250 cm .
 $h_t = 80 \text{ cm} ; h = 72 \text{ cm}$.

- Stabilité: $N_t = 603,82 \text{ t}$ (y compris poids de la semelle et remblai) ; $M = 537 \text{ t.m} ; e = M/N = 88,93 \text{ cm}$

$e < L/4 \Rightarrow$ La semelle est stable ; $e < L/6 \Rightarrow$ elle est entièrement compressée . $\sigma_1 = 2,01 \text{ kg/cm}^2$, $\sigma_2 = 1,00 \text{ kg/cm}^2$, $\sigma_{\max} = 2,01 < 1,33 \sigma_s$

$$\bar{\sigma}_s = 2 \text{ kg/cm}^2 \Rightarrow 1,33 \bar{\sigma}_s = 2,66 \text{ kg/cm}^2 .$$

$$- \sigma(L/4) = (\sigma_2 + 3\sigma_1)/4 = 1,76 \text{ kg/cm}^2 \Rightarrow q' = 44 \text{ t/ml}$$



- $M_t = 0,85 M_o = 299,2 \text{ t.m} ; M_a = 140,8 \text{ t.m}$
- Ferraillage à travée : $A = 28 \text{ T } 25 = 137,48 \text{ cm}^2$
appui : $A = 16 \text{ T } 25 = 78,56 \text{ cm}^2$.
- Armatures transversales : des barres T 12 , $t = 15 \text{ cm}$.

b) Semelle sous voile transversale (S.P) et poteaux(T.G.M)

- Dimensionnement $L = 12 \text{ m} , B = 250 \text{ cm} , h_t = 80 \text{ cm} , h = 72 \text{ cm}$
- Stabilité $N_t = 314,64 \text{ t}$ (y compris poids de la semelle et du remblai) , $M = 522 \text{ t.m} , e = 165,9 \text{ cm} < L/4 \Rightarrow$
la semelle est stable , $e < L/6 \Rightarrow$ elle est entièrement comprimée .
 $\sigma_1 = 1,918 \text{ kg/cm}^2 ; \sigma_2 = 0,178 \text{ kg/cm}^2 ; \sigma_{\max} < 2,66 \text{ kg/cm}^2$
 $-\sqrt{\sigma}(L/4) = 1,483 \text{ kg/cm}^2 \Rightarrow q' = 37,07 \text{ t/ml}$
- $M_t = 63,019 \text{ t.m} ; M_a = 29,66 \text{ t.m} .$
- Ferraillage travée $A = 20 \text{ T } 16 = 40,20 \text{ cm}^2$
Appui $A = 10 \text{ T } 16 = 20,10 \text{ cm}^2$
- Armatures transversales des barres T 12 , $t = 15 \text{ cm} .$

c - Semelle sous poteaux portant cabine de projection

$$N = 30 \text{ t} ; b_x = 30 \text{ cm} ; b_y = 30 \text{ cm} ; h = 40 \text{ cm}$$

$$B_x = B_y = 150 \text{ cm} ; F_x = F_y = 11250 \text{ kg} ; A_x = A_y = 8 \text{ T } 16 = 16,08 \text{ cm}^2$$

d - Semelle sous poteau de rive (C.S)

$$N = 36,35 \text{ t} ; M = 8,56 \text{ t.m} ; b_x = b_y = 30 \text{ cm} ; B_x = B_y = B$$

$$\sigma_s = \sigma(B/4) \geq N/S + M.y/I ; S = B^2 ; I = B^4/12 ; y = B/4$$

$$B = 150 \text{ cm} ; \sigma_1 = 3,137 \text{ kg/cm}^2 ; \sigma_2 = 0 \Rightarrow \sqrt{\sigma}(B/4) = 2,353 \text{ kg/cm}^2$$

$$N' = \sigma(B/4) \cdot B^2 = 2,353 \cdot \frac{150^2}{150^2} = 52942,5 \text{ kg} .$$

$$A_x = A_y = N' \cdot (B - b)/8.h.\sigma_a = 7,1 \text{ cm}^2 ; \text{ soit } 6 \text{ T } 14 = 9,23 \text{ cm}^2$$

e - Semelle sous poteau central (T.G.M)

$$N = 30 \text{ t} ; b_x = b_y = 30 \text{ cm} ; h = 40 \text{ cm} ; B_x = B_y = 150 \text{ cm}$$

$$F_x = F_y = 11250 \text{ kg} ; A_x = A_y = 8 \text{ T } 16 = 16,08 \text{ cm}^2 .$$

f - Semelle sous poteau de rive (T.G.M)

$$N = 13 \text{ t} ; b_x = b_y = 30 \text{ cm} ; B_x = B_y = 90 \text{ cm} ; h = 20 \text{ cm}$$

$$F_x = F_y = 13 \cdot (90 - 30)/8.20 = 4,89 \text{ t} ; A_x = A_y = 1,75 \text{ cm}^2$$

$$\text{soit } 6 \text{ T } 8 (3,01 \text{ cm}^2)$$

B - TOUR

1°) Introduction

- Dans notre cas, le poids du bâtiment est important, les semelles se seraient chevochées: (les dimensions de la semelle centrale atteignent : 5 m).

- Alors la seul solution sera d'adopter un radier général, il y a donc une grande risque d'inclinaison importantes du radier : donc il sera préférable d'adopter le système de fondation (atteinte de bon sol) par pieux .

- Il y a aussi bien de prendre garde de la présence possible des points durs sous le radier qui provoquent des tassements capables de rompre le radier .

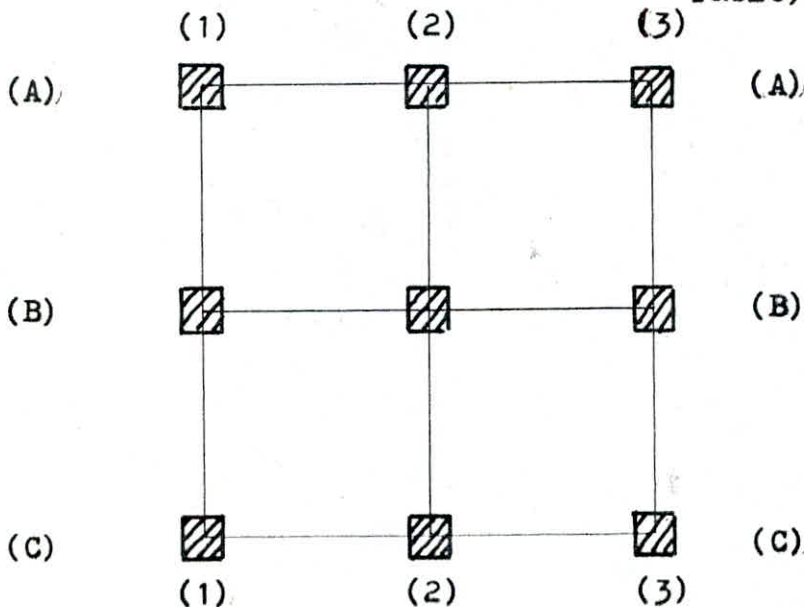
- Lorsque la surface au sol du bâtiment n'est pas suffisante, on prévoit un radier débordant, cette solution est rarement intéressante, car les réactions du sol sur les débords interviennent alors dans l'équilibrage des points porteurs centraux, ce qui correspond à des efforts internes considérables, cette solution n'est pas habituellement retenue que lorsqu'il est possible d'organiser les structures de plusieurs niveaux de façon à favoriser l'épanissement naturel des charges : les tours de grande hauteur à noyau central (notre cas) .

- La difficulté de l'étude d'un radier réside dans la détermination du diagramme (approché ou exact) des réactions du terrain car cela dépend des coefficients d'élasticité relative de la structure du radier et du sol, on pourrait envisager d'utiliser la théorie des plaques sur un sol élastique en supposant que l'on connaisse le coefficient K de l'équation de LAGRANGE $\Delta W = KW/EI$, mais il faudrait alors pouvoir écrire les conditions aux limites et à l'aplomb des points porteurs, une telle façon de procéder est, en général, tellement laborieuse qu'on a presque toujours calculé les radiers en choisissant à priori un diagramme de réaction associés à ce diagramme redonnent bien, à l'aplomb de chaque point porteur, une réaction d'intensité égale et de sens opposé à la charge provenant de la superstructure .

- Ainsi, si nous supposons sous un radier, qui équilibre principalement des planchers, une réaction uniforme de terrain et si nous adoptons des moments de continuité, déduits des moments isostatiques par les mêmes rapports que ceux qui ont été utilisés pour les planchers nous savons que l'équilibre sera réalisé au niveau de tous les points porteurs . Ceci explique pourquoi on calcule en planchers renversés un grand nombre des radiers .

- La vérification de la condition de non poinçement nous permettre de dimensionner l'épaisseur du radier dans le cas où celui-ci est considéré comme pleine .

2°) Charges transmises par les poteaux (SP2 est la plus défavorable)



Portique B-B

$$B_1 : N = 232,6 \text{ t} ; M = 28,35 \text{ t.m}$$

$$B_2 : N = 471,3 \text{ t} ; M = 33,40 \text{ t.m}$$

$$B_3 : N = -108,5 \text{ t} ; M = -25,40 \text{ t.m}$$

3°) Prédimensionnement

Le prédimensionnement de la hauteur du radier se fera par la condition de non-poinçement

$$1,5 \cdot Q / P_c \cdot h_t \leq 1,2 \bar{\sigma}_b$$

Q = valeur de la charge localisée maximale .

h_t = épaisseur totale du radier .

P_c = périmètre du contour à considérer, situé à une distance $h_t / 2$ après une diffusion à 45° .

$Q_{\max} = 471,3 \text{ t}$ pour le poteau B_2

$$1,5 \cdot 471,3 \cdot 10^3 / 4(60 + h_t) \cdot h_t \leq 1,2 \cdot 1,5 \cdot 5,9$$

$$\Rightarrow h_t^2 + 60 h_t - 16666,67 \geq 0 \Rightarrow h_t \geq 102,55 \text{ cm soit } 120 \text{ cm}$$

$$\underline{h_t = 120 \text{ cm}}$$

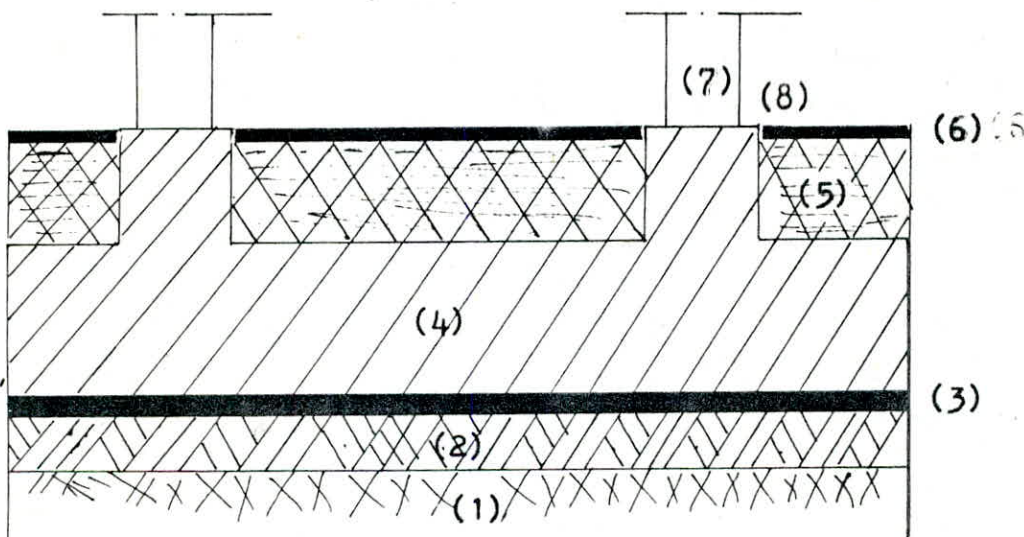
- Alors un radier épais de 120 cm, reviendrait excessivement cher . Pour une raison économique nous choisirons donc un radier nervuré, les nervures (poutres) seront disposées sous les différents files des poteaux, ces nervures se reposent sur une dalle qui reposera sur le sol .

Sous les différents poteaux, la hauteur de la nervure est l'épaisseur de la dalle (table de compression des nervures) représentera l'épaisseur nécessaire de béton pour éviter le poinçonnement .

Pour la largeur des nervures, la condition visant à avoir une contrainte de cisaillement au maximum égale à $50b$, nous conduit à prendre une largeur de nervure de 120 cm .

Pour l'épaisseur de la dalle on doit avoir e comprise entre $1/10$ et $1/20$; l'étant la plus grande portée des panneaux constituant la dalle : $e = 40$ cm ; pour essayer d'éviter les armatures comprimées

SCHEMA DU RADIER



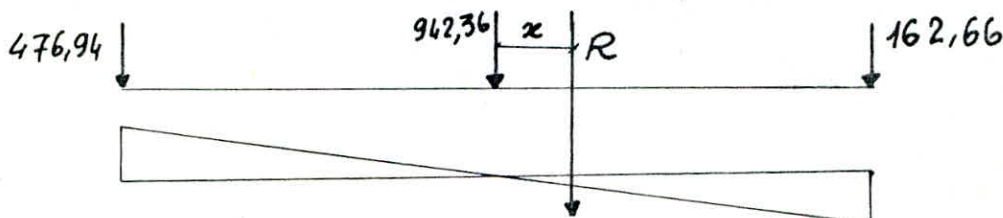
(1) ; bon sol ; (2) : béton de propreté ; (3) : couche d'étanchéité.

(4) : dalle en B.A. ; (5) remplissage mâche fer, gravier, sable .

(6) : dalette en B.A. ; (7) : poteau ; (8) : joint .

4°) Détermination des contraintes sous le radier

Pour déterminer les contraintes les plus défavorables, nous considérons le radier dans le sens B-B où 2-2



$$R = 1256,64 \text{ t} ; M = 261,3 \text{ t.m} ; x = 1,523 \text{ m}$$

$$\sigma_{1,2} = N/S \pm M.r/I ; N = 1256,64 \text{ t} ; S = 600 \cdot 600$$

$$M = 1256,64 \cdot x + 261,3$$

$$r = 600/2 ; I = \frac{600^4}{12}$$

$$\sigma_1 = 9,55 \text{ kg/cm}^2 ; \sigma_2 = -2,565 \text{ kg/cm}^2$$

$$\sigma_{(1/4)} = 7,1625 > \bar{\sigma}_s = 1,33 \cdot \bar{\sigma}_{s1} = 2,66 \text{ kg/cm}^2$$

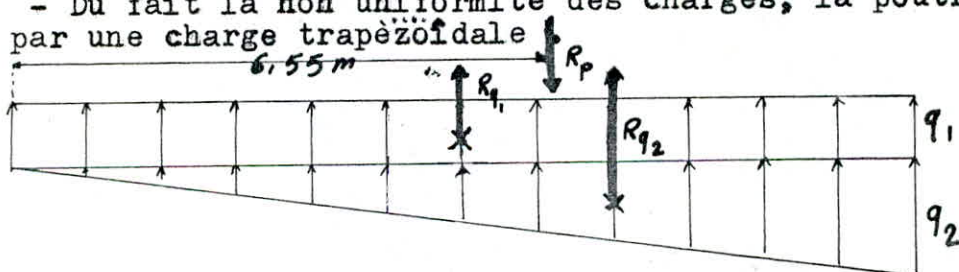
\Rightarrow fondation non stable \Rightarrow redimensionner la de telle façon avoir $\sigma_{(1/4)} < \bar{\sigma}_s = 2,66 \text{ kg/cm}^2$

Alors nous aurons comme dimensions 10 m . 10 m

$$\sigma_1 = 0 ; \sigma_2 = 2,56 ; \sigma_{(1/4)} = 1,92 \text{ kg/cm}^2 \text{ diminué de son poids propre.}$$

5°) Effets sollicitant les poutres (nervures)

- La poutre la plus défavorable est celle sous (B-B) ou (2-2)
- Les nervures sont chargées par le bas par l'effet de la sous pression du sol et sont considérées comme appuyées sur les poteaux
- Du fait la non uniformité des charges, la poutre sera chargée par une charge trapézoïdale.

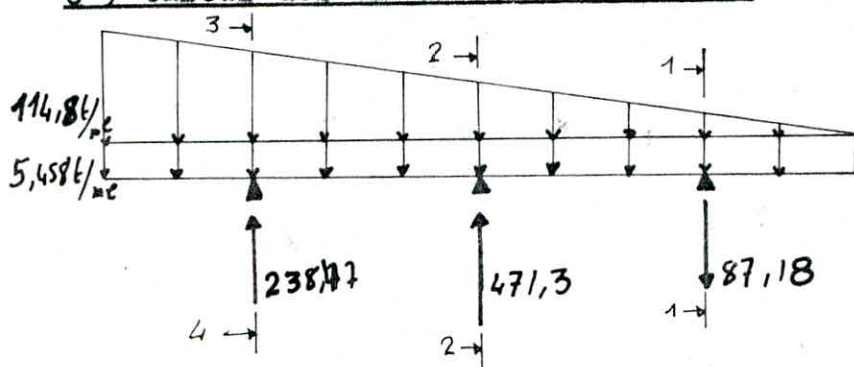


$$R_p = 616,73 \text{ t} \text{ (efforts dus aux poteaux)}$$

$$R_{q1} = 10 \cdot q_1 ; R_{q2} = 5 \cdot q_2 ; q_1 = 5,458 \text{ t/ml} ; q_2 = 114,8 \text{ t/ml}$$

La poutre est appuyée sur les poteaux, elle sera calculée comme une poutre continue, les efforts transmis par les poteaux représentent les réactions d'appui de la partie chargée par q_1 et q_2 .

6°) Calcul des éléments de réduction



7^e) - Ferraillage des poutres

- La poutre la plus défavorable est (B-B)

Section 1-1 : $M = 26,2 \text{ t.m}$; $A = 16 \text{ T } 25 = 78,5 \text{ cm}^2$

Section 2-2 : $M = 589,15 \text{ t.m}$; $A = 40 \text{ T } 25 = 196,35 \text{ cm}^2$
 $A' = 20 \text{ T } 16 = 40,2 \text{ cm}^2$

Section 2-3 | : $M = 229,06 \text{ t.m}$; $A = 16 \text{ T } 25 = 78,5 \text{ cm}^2$
Section 3-3

Sur toute la largeur de la poutre nous adoptons : $A = 40 \text{ T } 25$
(une tour à noyau central)

- Vérifications des contraintes

Section 2-2 : $M = 589,15 \text{ t.m}$, $A = 196,35 \text{ cm}^2$; $A' = 40,2 \text{ cm}^2$

(Méthode de P.CHARRON) : $D = 29,57$; $E = 5500,125$;

$$y_1 = 50,27 \quad ; \quad K = 3,556 \quad ; \quad \sigma_b = 178,76 \text{ kg/cm}^2$$

$$\sigma_a = 2144,3 \text{ kg/cm}^2 \quad ; \quad \sigma_a = 3186,1 \text{ kg/cm}^2$$

- Verification à la fissuration

$$\bar{\sigma}_a < \max(\bar{\sigma}_1, \bar{\sigma}_2) = 4320 \text{ kg/cm}^2$$

- Condition de non fragilité

$$A > 0,69 \cdot b \cdot h \cdot \bar{\sigma}_b / \sigma_{en} = 19 \text{ cm}^2 \quad (\text{Vérifiée})$$

- Condition de non entraînement

$$\bar{\sigma}_d = 2 \cdot \psi_d \cdot \bar{\sigma}_b = 26,55 \text{ kg/cm}^2$$

$$T_{\max} = 252,23 \text{ t} \quad ; \quad \bar{\sigma}_d = T_{\max} / npz = \frac{252,23 \cdot 10^3 \cdot 8}{40 \cdot (\pi + 2) \cdot 2,5 \cdot 7 \cdot 110} =$$

$$\bar{\sigma}_d = 6 \text{ kg/cm}^2$$

- Condition de la flèche

$$A/b \cdot h = 0,014 > 43/\sigma_{en} \quad \text{une vérification à la flèche est nécessaire.}$$

Pour des charges de courte durée d'application

$$\lambda_i = 5,9 / 72 (2 + 3) \cdot 0,0148 = 1,1$$

Pour des charges de longue durée d'application

$$\lambda_G = 5,9 / 180(2 + 3) \cdot 0,0148 = 0,4429$$

$$\text{Calcul de } \zeta: \quad \zeta = 1 - 5 \bar{\sigma}_b / (4 \omega \bar{\sigma}_a + 3 \bar{\sigma}_b)$$

$$\zeta_g = 0,158 \quad ; \quad \zeta_q = 0$$

$$f_{g_0} = 0,00489 \quad ; \quad f_{g_0} = 0,00187 \quad ; \quad f_{q_0} = 0,0033 \quad ; \quad f_{j_0} = 0,0024$$

$$f_T = f_{g_0} + f_{q_0} - f_{g_0} - f_{j_0} \Rightarrow \Delta f_T = 0,0039 \text{ cm}$$

$$\bar{f}_T = 0,6 \text{ cm} \Rightarrow \Delta f_T < \bar{f}_T$$

Armatures transversales

$$T_{\max} = 252,23 \text{ t} \Rightarrow T/bz = 252,23 \cdot 10^3 / 120 \cdot 110 \cdot 7 = 21,84$$

$$> (4,5 - \bar{\sigma}'_b / \bar{\sigma}'_{b_0}) \bar{\sigma}'_b = 16,73 \text{ kg/cm}^2$$

nous disposons alors des armatures droites, obliques

$$\max \bar{\sigma}_b = 21,84 \text{ kg/cm}^2 < 5 \bar{\sigma}_b = 44,25 \text{ kg/cm}^2$$

on prendra des armatures inclinées à 45°

- Espacement maximal admissible des armatures transversales

Pour un système mixte

$$\text{armatures inclinées} \quad \bar{t}_r \leq K_r \cdot h$$

$$\text{armatures droites} \quad \bar{t}_a \leq K_a \cdot h$$

Détermination de K_r et K_a

$$\bar{\sigma}_{b\max} = 21,84 \text{ kg/cm}^2 ; \bar{\sigma}_b = 8,85 \text{ kg/cm}^2 ; \bar{\sigma}_b / \bar{\sigma}_b = 2,47$$

$$K_r = K_a = 0,83 \Rightarrow \bar{t}_r \leq 0,83 \cdot h = 91,3 ; \bar{t}_a = 91,3 \text{ cm}$$

nous prenons pour les barres inclinées $t = 50 \text{ cm}$

l'effort tranchant T_r repris par les armatures inclinées est
 $T_r = A_r \cdot z \cdot a\sqrt{2}/t_r = 15,39 \cdot (7/8) \cdot 110 \cdot 4200 \cdot \sqrt{2}/50 = 175,96 \text{ t}$

$T_r = 175,96 > T/2 = 126,115 \text{ t}$; T ne peut être supérieur à $T/2$
 les étriers perpendiculaires à la ligne moyenne devront équilibrer

$$T_r = T - T_k \Rightarrow T_r = T - T/2 = 126,115 \text{ t}$$

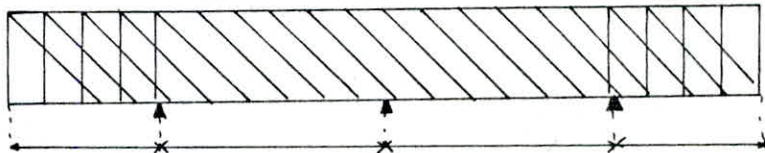
alors pour les barres droites nous choisissons 10 T 12 ($11,31 \text{ cm}^2$)

$$t = \frac{11,31 \cdot 7 \cdot 110 \cdot 4200}{8 \cdot 126,115 \cdot 1000} = 36,25 \text{ cm} .$$

$$\bar{t} = \max \left| \begin{array}{l} (1 - 0,32 \bar{\sigma}_b / \bar{\sigma}_b) \cdot h = 28 \text{ cm} \\ 0,2 \cdot h = 22 \text{ cm} \end{array} \right| \Rightarrow \text{alors } t = 20 \text{ cm} \text{ pour armatures droites}$$

- Longueur de poutre sur la quelle on maintient des barres inclinées

d'après l'équation de l'effort tranchant: sur toute la longueur de la poutre .



Vérifications aux appuis

- appui intermédiaire : $M = 589,15 \text{ t.m} ; T = 252,23 \text{ t}$

$A. \Gamma_a > T + M/z = 252,23 \cdot 10^3 - 589,15 \cdot 10^5 / 96,25 < 0$
On maintient $A = 1,96,35 \text{ cm}^2$ sur toute la longueur de la poutre.

- lit supérieur $A = 40 \text{ T } 25 = 196,35 \text{ cm}^2$

- lit inférieur $A = 20 \text{ T } 16 = 40,20 \text{ cm}^2$

REMARQUE : vu la hauteur de la poutre nous prévoyons des armatures de peau 2 T 14 tous les 20 cm .

Ferraillage de la dalle du radier

3	2	2	3	Pour le calcul de la dalle nous dimensionnerons de la contrainte moyenne du sol agissant sur la dalle, le poids propre de celle ci . Poids propre = $0,4 \cdot 2,5 = 1 \text{ t/m}^2$
2	1	1	2	- Le calcul sera fait : une charge uniformément répartie agissante sur la dalle: $q = 26,6 - 1 = 25,6 \text{ t/m}^2$
2	1	1	2	- Le calcul des éléments de réduction sera fait selon la méthode exposée à
3	2	2	3	(CCBA 68 Annexe A . art A 21-22).

Nous exposons seulement les résultats (la méthode déjà exposée dans le calcul des dalles au début).

Pan	M_{tx}	M_{ty}	M_{aix}	M_{aiy}	M_{rax}	M_{ray}	$T_x(l_y/2)$	$T_y(l_x/2)$
1	4,97	4,97	3,106	3,106	1,86	1,86	20,40	20,40
2	4,02	2,36	2,68	1,47	-	-	16,00	14,45
3	36,85	36,85	36,85	36,85	-	-	43,35	43,35

Tableau des armatures et de vérification

panneau		A _{ad}	σ _{a'}	σ _{b'}	Z _b	non fragilité	flèche
1	tra _{ly} lx	5T20	978,0	28,26	6,5	A _x 2,61	vérifiée
	ap inter rive	5T16	964,5	21,82		A _y 3,38	
2	tra _{ly} lx	5T20	823 465	23,8 14,0	4,6	A _x 3,38	vérifiée
	ap rive	5T16	832,0 456,5	18,82 10,33		A _y 2,23	
3	tra _{ly} lx	7T25	3450 3450	159,74 159,74	$A_t = 13,76$ $S=10$ $S'=15$	A 3,54	vérifiée
	ap	7T25	3555	162,3			

Remarque : Pour éviter la fissuration due au retrait du béton lors de son durcissement on doit avoir pour des aciers de haute adhérence .

$$\begin{aligned} A_x / A_b &= 1,2 / (\text{Ten} - 2200) \\ A_y / A_b &= 1,2 / (\text{Ten} - 2200) \end{aligned} \quad \Rightarrow A_x, A_y = 3 \text{ cm}^2$$

- Pour la flèche

Panneaux (1), (2) $h_0/l_x \geq M_t / 20 M_x$; $A/bh < 20/\text{Ten}$

sont vérifiées \Rightarrow utiles de vérifier la flèche

Panneaux (3) $A/bh < 20/\text{Ten}$ n'est pas vérifiée , nous procédons selon la même méthode qu'ailleurs (CCBA 68 art61,1)

$$A = 34,36 \text{ cm}^2; h_t = 40 \text{ cm}, d = 4 \text{ cm}; y_G = 18,17 \text{ cm}$$

$$I_t = 650215,53 \text{ cm}^4; \omega = A/bh = 0,0095$$

$$\text{charge courte durée } \lambda_c = 1,72 \quad \Rightarrow \quad f_t = 0,196 \quad \Rightarrow \quad f_{0t} = 0,03 \text{ cm}$$

$$\text{charge long durée } \lambda_v = 0,69 \quad \Rightarrow \quad f_t = 0 \quad \Rightarrow \quad f_{00t} = 0,12 \text{ cm}$$

$$\Delta f_t = 0,15 < \bar{f}_t = 0,85 \text{ cm}$$

9°) Ferrailage des dalettes : Elles seront sollicitées du haut vers le bas par les surcharges du plancher et du bas vers le haut par la réaction du remblai. De ce fait elles seront entièrement comprimées. L'épaisseur des dalettes est de 15 cm ferrailage avec des barres 14mm soit Ø10 nous disposons forfaitairement des traillis soudés espaces de 20 cm

C - Voiles périphériques

a) - Pour tous les blocs exceptés la tour , la hauteur du voile est de 1,5 m , épaisseur 15 cm .

- Le ferrailage sera avec pourcentage minimal imposé par le règlement soit(4 T 12) par face , les armatures longitudinales de peau auront(5 T 8) par ml comme section .

b) - Pour la tour, la hauteur du voile est de 2,5 m , épaisseur 30 cm , le ferrailage : (16 T 12) par surface, les armatures longitudinales de peau auront(5 T 8)/ml comme section .

D - Longrines

Elles doivent équilibrer une force axiale de 10 % de la plus grande charge verticale .

Bloc S.P

Sous portiques de la cabine de projection .

$$N = 30 \text{ t} , b = 30 \text{ cm} , h = 40 \text{ cm}$$

$$A' = (N - B. b_0) / 15 \quad b = 0$$

$$A = N / a ; A = 4 \text{ T } 20 = 12,56 \text{ cm}^2 .$$

Bloc T.G.M

$$N = 31 \text{ t} , b = 30 \text{ cm} , h = 40 \text{ cm} .$$

$$A' = 0 ; A = 4 \text{ T } 20 = 12,56 \text{ cm}^2$$

Bloc C.S

$$N = 36,4 \text{ t} ; b = 30 \text{ cm} ; h = 40 \text{ cm} .$$

$$A' = 0 ; A = 4 \text{ T } 20 = 12,56 \text{ cm}^2$$

..... B I B L I O G R A P H I E

- RESISTANCE DES MATERIAUX APPLIQUEE A. COIN & M. ALBAGES
EYROLLES 1980
- CALCUL DYNAMIQUE DES STRUCTURES EN ZONE SISMIQUE A. CAPRA
& V. DAVIDOVICI EYROLLES 1980
- LE CALCUL ET LA VERIFICATION DES OUVRAGES EN BETON ARME
P. CHARRON EYROLLES 1981
- LES PARABOLOIDES ELLIPTIQUE DANS LES CONSTRUCTIONS
A.A. BELES & M. SOARE DUNOD 1967
- TRAITE DE BETON ARME R. LACROIX & A. FUENTES & H. THONIER
EYROLLES 1982
- TRAITE DE BETON ARME A. GUERRIN TOMES I, IV, V DUNOD
- LA METHODE DE CROSS P. CHARRON EYROLLES 1979
- OSSATURE DE BATIMENT A. COIN EYROLLES 1977
- CALCUL DES OSSATURES A. FUENTES EYROLLES 1973
- DALLES D'EPATTEUR VARIABLE H. HOMBERG DUNOD 1972
- FORMULAIRE DU B.A.M. COURTAND & P. LEBELLE UTI-ITBTP
EYROLLES 1976
- LE CISAILLEMENT DANS LE BETON ARME T. GODYCKY-CWIRKO
DUNOD 1972
- DESING OF REINCED CONCRETE HALLS CAIRO UNIVERSITY. GIZA
- STRUCTURAL STEEL, DESING & CONSTRUCTION, M. SWELEM ,
ALEXANDRIA, EGYPT, 1978
- GUIDE PRATIQUE DE CHARPENTE METALIQUE DAUSTIN DTU
EYROLLES
- CHARPENTE METALIQUE GUSTIN EYROLLES
- COURS DE BETON III Mr BELAZOUGUI
- COURS DE C.M II Mr M.H. CHENAF
- REGLES PARASISMHIQUES ALGERIENNES C.T.C et ANNEXE 1981
- REGLES C.C.B.A 68
- REGLES N.V 65
- REGLES P.S 69
- REGLES C.M 66
- AIDE-MEMOIRE R.D.M
- AIDE-MEMOIRE B.A
- HIGH WAY ENGINEERING, TOUFIC SALEM , B.U.A BEYROUTH 1983

